

# Outils Mathématiques pour l'Ingénieur

...

## Traitement du Signal

Benoît Marx

Centre de Recherche en Automatique de Nancy (CRAN)  
Ecole Nationale Supérieure de Géologie (ENSG)

disponible à l'adresse : <http://www.cran.univ-lorraine.fr/benoit.marx>

## Présentation du cours :

- 5 cours en amphi
- 4 TD (1 papier et 3 Matlab)
- évaluation : quizz et examen final

## Supports :

- polycopié
- présentations (Arche / site perso)

## Objectifs de l'AF4 :

- approche système
- fonction de transfert
- filtrage analogique fréquentiel
- signaux et systèmes à temps discret

# Plan du cours

# 1.1 Signaux et systèmes

**Qu'est ce qu'un système (physique, chimique, ...) ?**



- un objet défini par une frontière, des variables d'entrée et de sortie
- un ensemble d'éléments reliés par des liens fonctionnels

Qu'est ce qu'un système (physique, chimique, ...) ?



- un objet défini par une frontière, des variables d'entrée et de sortie
- un ensemble d'éléments reliés par des liens fonctionnels

**On représente un système par un modèle**

- un ensemble de relations mathématiques entre des grandeurs physiques,
- **approchant** le comportement réel du système,
- dont la complexité dépend de l'utilisation.

# 1.1 Signaux et systèmes

## Signal

Grandeur physique mesurable porteuse d'une information

→ position, vitesse, température, ...

## Signal

Grandeur physique mesurable porteuse d'une information

→ position, vitesse, température, ...

### Quelques caractéristiques de signaux :

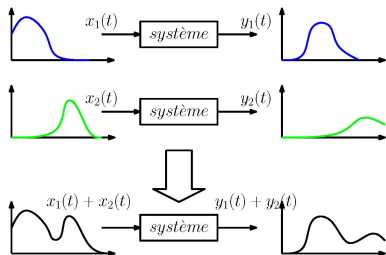
- monodimensionnel / vecteur
- entrée / sortie du système
- mesuré / non mesuré
- contrôlable / incontrôlable
- dépendant du temps, de l'espace, de la fréquence, ...
- temps continu ( $t \in \mathbb{R}$ ) / temps discret ( $t = kT, k \in \mathbb{N}$ )

## 1.2 Systèmes linéaires (à une entrée)

### Système linéaire

Le système  $\Sigma$  est linéaire si, pour toutes constantes  $\alpha$  et  $\beta$ , et tous signaux d'entrée  $x_1(t)$  et  $x_2(t)$ , on a la propriété suivante :

- si le signal  $x_1(t)$  appliqué au système  $\Sigma$  provoque la sortie  $y_1(t)$
- si le signal  $x_2(t)$  appliqué au système  $\Sigma$  provoque la sortie  $y_2(t)$
- alors le signal  $x(t) = \alpha x_1(t) + \beta x_2(t)$  appliqué au système  $\Sigma$  provoque la sortie  $y(t) = \alpha y_1(t) + \beta y_2(t)$

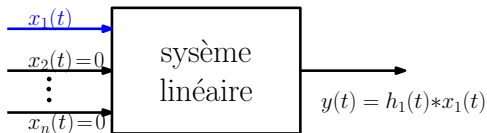




## 1.2 Systèmes linéaires (à plusieurs entrées)

### Principe de superposition

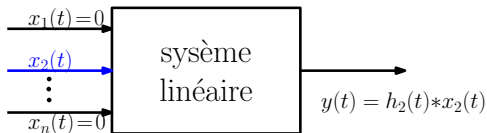
Si un système linéaire a plusieurs entrées, la réponse à toutes les entrées est la somme des réponses à chaque entrée, où la réponse à une entrée est obtenue en annulant les autres entrées.



## 1.2 Systèmes linéaires (à plusieurs entrées)

### Principe de superposition

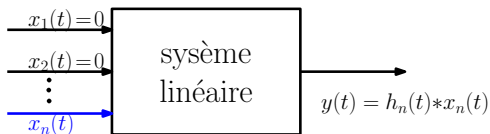
Si un système linéaire a plusieurs entrées, la réponse à toutes les entrées est la somme des réponses à chaque entrée, où la réponse à une entrée est obtenue en annulant les autres entrées.



## 1.2 Systèmes linéaires (à plusieurs entrées)

### Principe de superposition

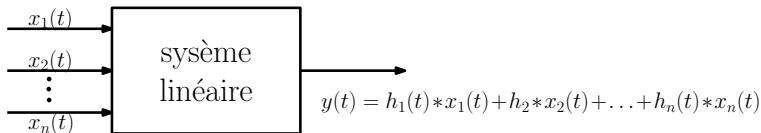
Si un système linéaire a plusieurs entrées, la réponse à toutes les entrées est la somme des réponses à chaque entrée, où la réponse à une entrée est obtenue en annulant les autres entrées.



## 1.2 Systèmes linéaires (à plusieurs entrées)

### Principe de superposition

Si un système linéaire a plusieurs entrées, la réponse à toutes les entrées est la somme des réponses à chaque entrée, où la réponse à une entrée est obtenue en annulant les autres entrées.

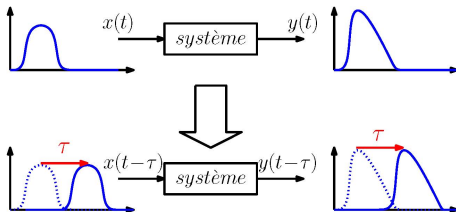


## 1.2 Systèmes invariants dans le temps

### Système invariant dans le temps

Le système  $\Sigma$  est invariant dans le temps si :

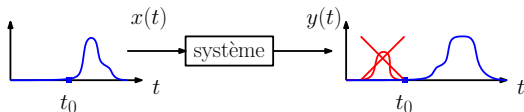
- le signal  $x(t)$  appliqué au système  $\Sigma$  provoque la sortie  $y(t)$
- le signal  $x(t - \tau)$  appliqué au système  $\Sigma$  provoque la sortie  $y(t - \tau)$ , pour tout  $\tau$



## 1.2 Systèmes causaux

### Système causal

L'effet (variation de la sortie) suit la cause (variation de l'entrée) dans le temps



Globalement, l'entrée doit être dérivée moins de fois que la sortie car :

- $\int_0^t x(\tau) d\tau$  dépend du passé
- $\dot{x}(t)$  dépend de l'avenir

## 1.2 Systèmes linéaires, invariants dans le temps et causaux

Eq. diff. linéaire à coeff. constants  $\leftrightarrow$  syst. linéaire invariant

Une équation différentielle linéaire à coefficients constants avec  $n \geq m$  :

$$a_n \frac{d^n y(t)}{dt^n} + \dots + a_1 \frac{dy(t)}{dt} + a_0 y(t) = b_m \frac{d^m x(t)}{dt^m} + \dots + b_1 \frac{dx(t)}{dt} + b_0 x(t)$$

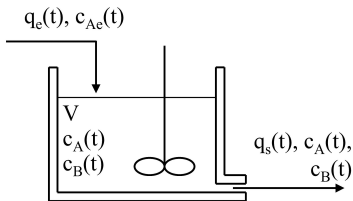
décrit un système :

- d'entrée  $x(t)$  et de sortie  $y(t)$
- **linéaire**
- **invariant dans le temps**
- **causal**

## 1.2 Exemple : un réacteur chimique

On considère un réacteur chimique :

- réaction  $A \rightarrow B$
- vitesse de réaction :  $k = k_0 e^{-\frac{E_a}{RT}}$
- volume  $V$  constant



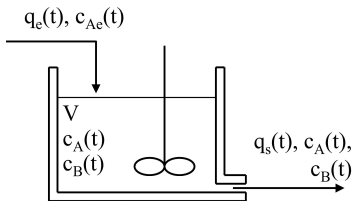
- Mettre en équation le système
  
  
  
  
  
  
  
  
  
  
- Quelle(s) hypothèse(s) faire pour avoir un modèle linéaire, invariant et causal ?



## 1.2 Exemple : un réacteur chimique

On considère un réacteur chimique :

- réaction  $A \rightarrow B$
- vitesse de réaction :  $k = k_0 e^{-\frac{E_a}{RT}}$
- volume  $V$  constant



- Mettre en équation le système

$$V\dot{c}_A(t) = q_e(t)c_{Ae}(t) - (q_s(t) + Vk)c_A(t)$$

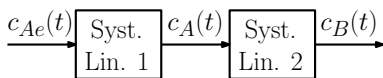
$$V\dot{c}_B(t) = -q_s(t)c_B(t) + Vkc_A(t)$$

- Quelle(s) hypothèse(s) faire pour avoir un modèle linéaire, invariant et causal ?

## 1.2 Exemple : un réacteur chimique

On considère un réacteur chimique :

- réaction  $A \rightarrow B$
- vitesse de réaction :  $k = k_0 e^{-\frac{E_a}{RT}}$
- volume  $V$  constant



- Mettre en équation le système

$$V\dot{c}_A(t) = q_e(t)c_{Ae}(t) - (q_s(t) + Vk)c_A(t)$$

$$V\dot{c}_B(t) = -q_s(t)c_B(t) + Vkc_A(t)$$

- Quelle(s) hypothèse(s) faire pour avoir un modèle linéaire, invariant et causal ?

Pour  $V$ ,  $q_e$  et  $q_s$  constants

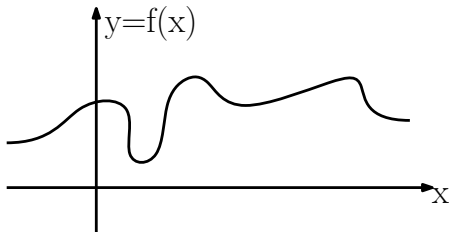
$$V\dot{c}_A(t) + (q_s + Vk)c_A(t) = q_e c_{Ae}(t)$$

$$V\dot{c}_B(t) + q_s c_B(t) = Vkc_A(t)$$

## 1.2 Linéarisation de systèmes dynamiques

Malheureusement ...

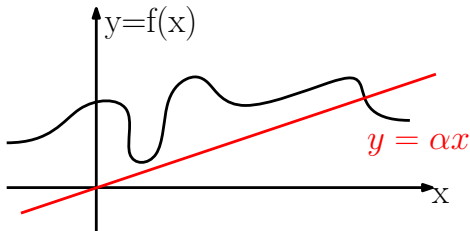
... aucun système n'est réellement linéaire



## 1.2 Linéarisation de systèmes dynamiques

Malheureusement ...

... aucun système n'est réellement linéaire



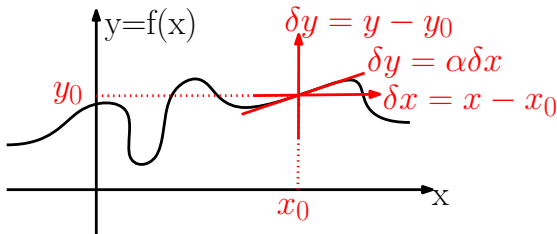
Un modèle linéaire d'un système non linéaire :

- est globalement faux

## 1.2 Linéarisation de systèmes dynamiques

Malheureusement ...

... aucun système n'est réellement linéaire



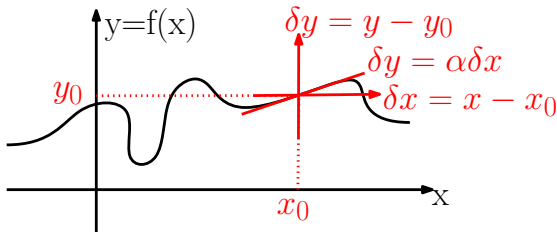
Un modèle linéaire d'un système non linéaire :

- est globalement faux
- est une approximation **valable localement** autour d'un point de fonctionnement  $(x_0, y_0)$

## 1.2 Linéarisation de systèmes dynamiques

Malheureusement ...

... aucun système n'est réellement linéaire



Un modèle linéaire d'un système non linéaire :

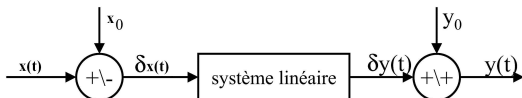
- est globalement faux
- est une approximation **valable localement** autour d'un point de fonctionnement  $(x_0, y_0)$
- peut se déduire par linéarisation (developpement de Taylor)

$$y(x) = y(x_0) + \frac{dy(x_0)}{dx}(x - x_0) + o(x - x_0)$$

## 1.2 Linéarisation de systèmes dynamiques

Malheureusement ...

... aucun système n'est réellement linéaire



Un modèle linéaire d'un système non linéaire :

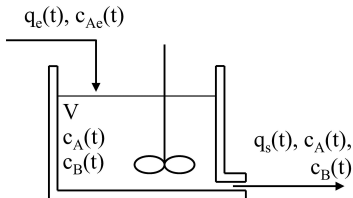
- est globalement faux
- est une approximation **valable localement** autour d'un point de fonctionnement  $(x_0, y_0)$
- peut se déduire par linéarisation (developpement de Taylor)

$$\delta y \approx \left( \frac{df}{dx}(x) \right)_{x=x_0} \delta x$$

## 1.2 Exemple : un réacteur chimique (suite)

On considère un réacteur chimique :

- réaction  $A \rightarrow B$
- vitesse de réaction :  $k = k_0 e^{-\frac{E_a}{RT}}$
- volume  $V$  constant
- $q_e(t) = q_s(t)$



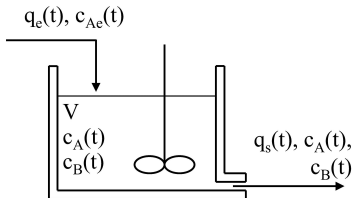
Comment obtenir un modèle linéaire dans le cas où  $q_s(t) = q_e(t)$  ?



## 1.2 Exemple : un réacteur chimique (suite)

On considère un réacteur chimique :

- réaction  $A \rightarrow B$
- vitesse de réaction :  $k = k_0 e^{-\frac{E_a}{RT}}$
- volume  $V$  constant
- $q_e(t) = q_s(t)$



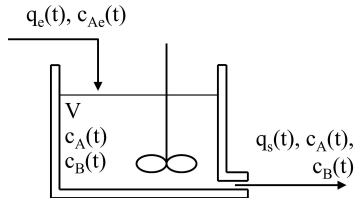
Comment obtenir un modèle linéaire dans le cas où  $q_s(t) = q_e(t)$  ?

• On suppose : 
$$\begin{cases} q_e(t) \approx q_{e0} \\ c_{Ae}(t) \approx c_{Ae0} \end{cases} \Rightarrow \begin{cases} c_A(t) \approx \frac{q_{e0}}{q_{e0} + kV} c_{Ae0} \\ c_B(t) \approx \frac{kV}{q_{e0} + kV} c_{Ae0} \end{cases}$$

## 1.2 Exemple : un réacteur chimique (suite)

On considère un réacteur chimique :

- réaction  $A \rightarrow B$
- vitesse de réaction :  $k = k_0 e^{-\frac{E_a}{RT}}$
- volume  $V$  constant
- $q_e(t) = q_s(t)$



Comment obtenir un modèle linéaire dans le cas où  $q_s(t) = q_e(t)$  ?

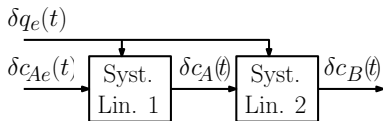
- On suppose : 
$$\begin{cases} q_e(t) \approx q_{e0} \\ c_{Ae}(t) \approx c_{Ae0} \end{cases} \Rightarrow \begin{cases} c_A(t) \approx \frac{q_{e0}}{q_{e0} + kV} c_{Ae0} \\ c_B(t) \approx \frac{kV}{q_{e0} + kV} c_{Ae0} \end{cases}$$
- Faire le développement de Taylor autour de  $c_{Ae}(t) \approx c_{Ae0}$ ,  $q_e(t) \approx q_{e0}$ ,  $c_A(t) \approx c_{A0}$  et  $c_B(t) \approx c_{B0}$  de :

$$\begin{cases} \dot{c}_A(t) = \frac{q_e(t)}{V} (c_{Ae}(t) - c_A(t)) - k c_A(t) \\ \dot{c}_B(t) = \frac{-q_e(t) c_B(t)}{V} + k c_A(t) \end{cases}$$

## 1.2 Exemple : un réacteur chimique (suite)

On considère un réacteur chimique :

- réaction  $A \rightarrow B$
- vitesse de réaction :  $k = k_0 e^{-\frac{E_a}{RT}}$
- volume  $V$  constant
- $q_e(t) = q_s(t)$



Comment obtenir un modèle linéaire dans le cas où  $q_s(t) = q_e(t)$  ?

- On suppose : 
$$\begin{cases} q_e(t) \approx q_{e0} \\ c_{Ae}(t) \approx c_{Ae0} \end{cases} \Rightarrow \begin{cases} c_A(t) \approx \frac{q_{e0}}{q_{e0} + kV} c_{Ae0} \\ c_B(t) \approx \frac{kV}{q_{e0} + kV} c_{Ae0} \end{cases}$$
- Faire le développement de Taylor autour de  $c_{Ae}(t) \approx c_{Ae0}$ ,  $q_e(t) \approx q_{e0}$ ,  $c_A(t) \approx c_{A0}$  et  $c_B(t) \approx c_{B0}$  de :

$$\begin{cases} \dot{c}_A(t) = \frac{q_e(t)}{V} (c_{Ae}(t) - c_A(t)) - k c_A(t) \\ \dot{c}_B(t) = \frac{-q_e(t) c_B(t)}{V} + k c_A(t) \end{cases}$$

- Pour avoir :

$$\begin{cases} \dot{\delta c}_A(t) = \frac{c_{Ae0} - c_{A0}}{V} \delta q_e(t) + \frac{q_{e0}}{V} \delta c_{Ae}(t) - \left( \frac{q_{e0}}{V} + k \right) \delta c_A(t) \\ \dot{\delta c}_B(t) = \frac{-c_{B0}}{V} \delta q_e(t) - \frac{q_{e0}}{V} \delta c_B(t) + k \delta c_A(t) \end{cases}$$

# 1.3 Transformation de Laplace (rappels AF1)

## Définition et propriétés essentielles de la transformation de Laplace:

- définition :  $\mathcal{L}(x(t)) = X(p) = \int_0^{+\infty} x(t)e^{-pt} dt, p \in \mathbb{C}$
- linéarité :  $\mathcal{L}(x_1(t) + x_2(t)) = X_1(p) + X_2(p)$
- dérivation :  $\mathcal{L}(x'(t)) = pX(p) - x(0)$
- intégration :  $\mathcal{L}\left(\int_0^t x(u)du\right) = \frac{1}{p}X(p)$
- convolution :  $\mathcal{L}(x(t) \star y(t)) = X(p)Y(p)$
- valeur initiale :  $\lim_{t \rightarrow 0} x(t) = \lim_{p \rightarrow \infty} pX(p)$
- valeur finale :  $\lim_{t \rightarrow \infty} x(t) = \lim_{p \rightarrow 0} pX(p)$

# 1.3 Transformation de Laplace (rappels AF1)

## Définition et propriétés essentielles de la transformation de Laplace:

- définition :  $\mathcal{L}(x(t)) = X(p) = \int_0^{+\infty} x(t)e^{-pt} dt, p \in \mathbb{C}$
- linéarité :  $\mathcal{L}(x_1(t) + x_2(t)) = X_1(p) + X_2(p)$
- dérivation :  $\mathcal{L}(x'(t)) = pX(p) - x(0)$
- intégration :  $\mathcal{L}\left(\int_0^t x(u)du\right) = \frac{1}{p}X(p)$
- convolution :  $\mathcal{L}(x(t) \star y(t)) = X(p)Y(p)$
- valeur initiale :  $\lim_{t \rightarrow 0} x(t) = \lim_{p \rightarrow \infty} pX(p)$
- valeur finale :  $\lim_{t \rightarrow \infty} x(t) = \lim_{p \rightarrow 0} pX(p)$

### principal intérêt

La transformation de Laplace convertit une eq. diff. linéaire à coefficients constants en une équation polynômiale en  $p$ .

## 1.3 Transformation de Laplace (suite des rappels)

### Quelques transformées utiles :

- dirac :  $\mathcal{L}(\delta(t)) = 1$
- échelon :  $\mathcal{L}(\Gamma(t)) = \frac{1}{p}$
- exponentielle :  $\mathcal{L}(e^{-at}) = \frac{1}{p+a}$
- puissance :  $\mathcal{L}(t^n) = \frac{n!}{p^{n+1}}$
- exp \* puissance :  $\mathcal{L}(t^n e^{-at}) = \frac{n!}{(p+a)^{n+1}}$
- cosinus :  $\mathcal{L}(\cos(\omega t)) = \frac{p}{p^2+\omega^2}$
- sinus :  $\mathcal{L}(\sin(\omega t)) = \frac{\omega}{p^2+\omega^2}$

## 1.3 Exemple : un réacteur chimique (suite)

Pour  $V$  et  $q_e = q_s$  constants

- Equations différentielles

$$\begin{cases} V\dot{c}_A(t) + (q_s + Vk)c_A(t) = q_e c_{Ae}(t) \\ V\dot{c}_B(t) + q_s c_B(t) = Vk c_A(t) \end{cases}$$

## 1.3 Exemple : un réacteur chimique (suite)

Pour  $V$  et  $q_e = q_s$  constants

- Equations différentielles

$$\begin{cases} V\dot{c}_A(t) + (q_s + Vk)c_A(t) = q_e c_{Ae}(t) \\ V\dot{c}_B(t) + q_s c_B(t) = Vk c_A(t) \end{cases}$$

- Transformée de Laplace

$$\begin{cases} C_A(p) = \frac{q_e}{Vp + (q_e + kV)} C_{Ae}(p) + \frac{Vc_A(0)}{Vp + q_e + kV} \\ C_B(p) = \frac{kV}{Vp + q_s} C_A(p) + \frac{Vc_B(0)}{Vp + q_s} \end{cases}$$



## 1.3 Exemple : un réacteur chimique (suite)

Pour  $V$  et  $q_e = q_s$  constants

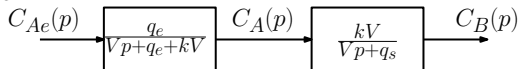
- Equations différentielles

$$\begin{cases} V\dot{c}_A(t) + (q_s + Vk)c_A(t) = q_e c_{Ae}(t) \\ V\dot{c}_B(t) + q_s c_B(t) = Vkc_A(t) \end{cases}$$

- Transformée de Laplace

$$\begin{cases} C_A(p) = \frac{q_e}{Vp + (q_e + kV)} C_{Ae}(p) + \frac{Vc_A(0)}{Vp + q_e + kV} \\ C_B(p) = \frac{kV}{Vp + q_s} C_A(p) + \frac{Vc_B(0)}{Vp + q_s} \end{cases}$$

- Schéma bloc



## 1.3 Exemple : un réacteur chimique (suite)

Pour  $V$  constant et  $q_e(t) = q_s(t)$

- Equations différentielles

$$\begin{cases} \dot{\delta c}_A(t) = \frac{c_{Ae0} - c_{A0}}{V} \delta q_e(t) + \frac{q_{e0}}{V} \delta c_{Ae}(t) - \left( \frac{q_{e0}}{V} + k \right) \delta c_A(t) \\ \dot{\delta c}_B(t) = \frac{-c_{B0}}{V} \delta q_e(t) - \frac{q_{e0}}{V} \delta c_B(t) + k \delta c_A(t) \end{cases}$$

## 1.3 Exemple : un réacteur chimique (suite)

Pour  $V$  constant et  $q_e(t) = q_s(t)$

- Equations différentielles

$$\begin{cases} \delta \dot{C}_A(t) = \frac{C_{Ae0} - C_{A0}}{V} \delta q_e(t) + \frac{q_{e0}}{V} \delta C_{Ae}(t) - \left( \frac{q_{e0}}{V} + k \right) \delta C_A(t) \\ \delta \dot{C}_B(t) = \frac{-C_{B0}}{V} \delta q_e(t) - \frac{q_{e0}}{V} \delta C_B(t) + k \delta C_A(t) \end{cases}$$

- Transformée de Laplace

$$\begin{cases} \Delta C_A(p) = \left( \frac{C_{Ae0} - C_{A0}}{Vp + q_{e0} + kV} \right) \Delta Q_e(p) + \left( \frac{q_{e0}}{Vp + q_{e0} + kV} \right) \Delta C_{Ae}(p) \\ \Delta C_B(p) = \left( \frac{-C_{B0}}{Vp + q_{e0}} \right) \Delta Q_e(p) + \left( \frac{kV}{Vp + q_{e0}} \right) \Delta C_A(p) \end{cases}$$

# 1.3 Exemple : un réacteur chimique (suite)

Pour  $V$  constant et  $q_e(t) = q_s(t)$

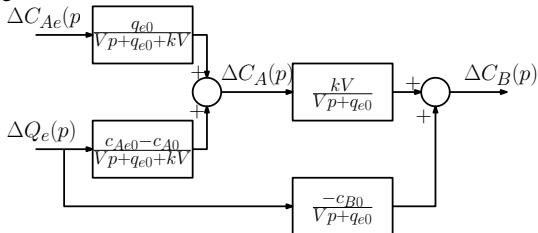
- Equations différentielles

$$\begin{cases} \dot{\delta c}_A(t) = \frac{c_{Ae0} - c_{A0}}{V} \delta q_e(t) + \frac{q_{e0}}{V} \delta c_{Ae}(t) - \left( \frac{q_{e0}}{V} + k \right) \delta c_A(t) \\ \dot{\delta c}_B(t) = \frac{-c_{B0}}{V} \delta q_e(t) - \frac{q_{e0}}{V} \delta c_B(t) + k \delta c_A(t) \end{cases}$$

- Transformée de Laplace

$$\begin{cases} \Delta C_A(p) = \left( \frac{c_{Ae0} - c_{A0}}{Vp + q_{e0} + kV} \right) \Delta Q_e(p) + \left( \frac{q_{e0}}{Vp + q_{e0} + kV} \right) \Delta C_{Ae}(p) \\ \Delta C_B(p) = \left( \frac{-c_{B0}}{Vp + q_{e0}} \right) \Delta Q_e(p) + \left( \frac{kV}{Vp + q_{e0}} \right) \Delta C_A(p) \end{cases}$$

- Schéma bloc



## 1.4 Fonction de transfert

Dans l'exemple précédent :

$$C_A(p) = \underbrace{\left( \frac{q_e}{Vp + q_e + kV} \right)}_{\text{entrée/sortie}} C_{Ae}(p) + \underbrace{\left( \frac{Vc_A(0)}{Vp + q_e + kV} \right)}_{\text{conditions initiales}}$$

Plus généralement:

### La fonction de transfert...

- est le lien entrée / sortie, sans les conditions initiales
- est une fraction rationnelle en  $p$
- s'obtient à partir de l'équation différentielle
- est définie par la T.L. de la réponse impulsionnelle : quand  $x(t) = \delta(t)$

## 1.4 Fonction de transfert

- La fonction de transfert s'obtient à partir de l'éq. diff. entrée/sortie :

$$\sum_{i=0}^n a_i \frac{d^i y(t)}{dt^i} = \sum_{j=0}^m b_j \frac{d^j x(t)}{dt^j}$$

# 1.4 Fonction de transfert

- La fonction de transfert s'obtient à partir de l'éq. diff. entrée/sortie :

$$\sum_{i=0}^n a_i \frac{d^i y(t)}{dt^i} = \sum_{j=0}^m b_j \frac{d^j x(t)}{dt^j}$$

- après transformation de Laplace, on obtient :

$$\sum_{i=0}^n a_i \left( p^i Y(p) - \sum_{k=0}^{i-1} p^{i-1-k} y^{(k)}(0^+) \right) = \sum_{j=0}^m b_j \left( p^j X(p) - \sum_{k=0}^{j-1} p^{j-1-k} x^{(k)}(0^+) \right)$$

# 1.4 Fonction de transfert

- La fonction de transfert s'obtient à partir de l'éq. diff. entrée/sortie :

$$\sum_{i=0}^n a_i \frac{d^i y(t)}{dt^i} = \sum_{j=0}^m b_j \frac{d^j x(t)}{dt^j}$$

- après transformation de Laplace, on obtient :

$$\sum_{i=0}^n a_i \left( p^i Y(p) - \sum_{k=0}^{i-1} p^{i-1-k} y^{(k)}(0^+) \right) = \sum_{j=0}^m b_j \left( p^j X(p) - \sum_{k=0}^{j-1} p^{j-1-k} x^{(k)}(0^+) \right)$$

- autrement dit :

$$Y(p) = \underbrace{\frac{\sum_{j=0}^m b_j p^j}{\sum_{i=0}^n a_i p^i}}_{H(p)} X(p) + \underbrace{\frac{\sum_{i=0}^n \sum_{k=0}^{i-1} a_i p^{i-1-k} y^{(k)}(0^+)}{\sum_{i=0}^n a_i p^i} - \frac{\sum_{j=0}^m \sum_{k=0}^{j-1} b_j p^{j-1-k} x^{(k)}(0^+)}{\sum_{i=0}^n a_i p^i}}_{C.I. \text{ sur } y(t) \text{ et } x(t)}$$



# 1.4 Fonction de transfert

- La fonction de transfert s'obtient à partir de l'éq. diff. entrée/sortie :

$$\sum_{i=0}^n a_i \frac{d^i y(t)}{dt^i} = \sum_{j=0}^m b_j \frac{d^j x(t)}{dt^j}$$

- après transformation de Laplace, on obtient :

$$\sum_{i=0}^n a_i \left( p^i Y(p) - \sum_{k=0}^{i-1} p^{i-1-k} y^{(k)}(0^+) \right) = \sum_{j=0}^m b_j \left( p^j X(p) - \sum_{k=0}^{j-1} p^{j-1-k} x^{(k)}(0^+) \right)$$

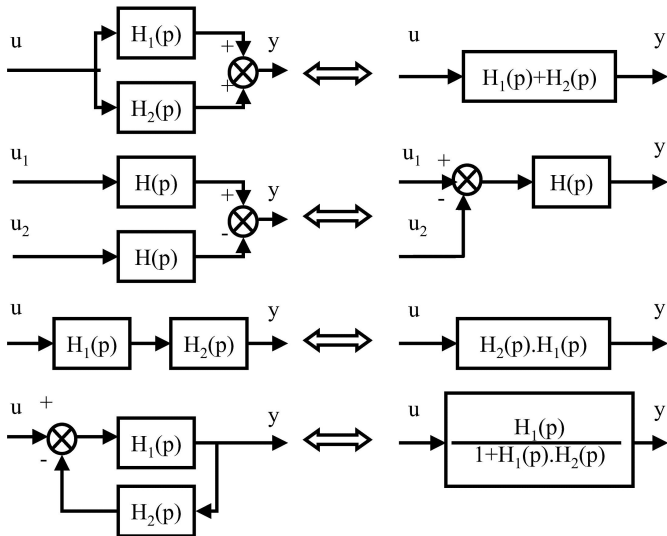
- autrement dit :

$$Y(p) = \underbrace{\frac{\sum_{j=0}^m b_j p^j}{\sum_{i=0}^n a_i p^i}}_{H(p)} X(p) + \underbrace{\frac{\sum_{i=0}^n \sum_{k=0}^{i-1} a_i p^{i-1-k} y^{(k)}(0^+)}{\sum_{i=0}^n a_i p^i} - \frac{\sum_{j=0}^m \sum_{k=0}^{j-1} b_j p^{j-1-k} x^{(k)}(0^+)}{\sum_{i=0}^n a_i p^i}}_{C.I. \text{ sur } y(t) \text{ et } x(t)}$$

- pour des conditions initiales nulles, il vient :

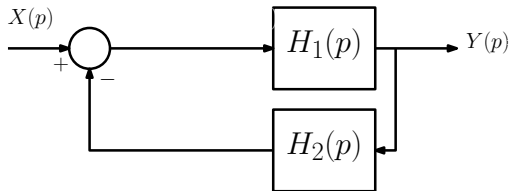
$$Y(p) = H(p)X(p) \quad \text{avec} \quad H(p) = \frac{b_m p^m + \dots + b_1 p + b_0}{a_n p^n + \dots + a_1 p + a_0}$$

# 1.4 Fonction de transfert et algèbre des blocs



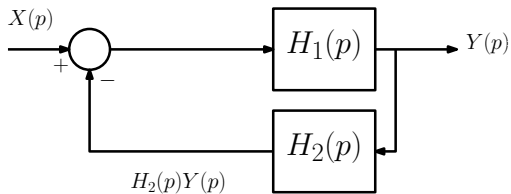
# 1.4 Fonction de transfert et algèbre des blocs

Fonction de transfert en boucle fermée :



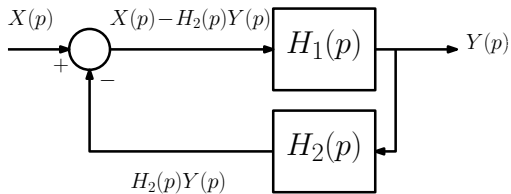
## 1.4 Fonction de transfert et algèbre des blocs

Fonction de transfert en boucle fermée :



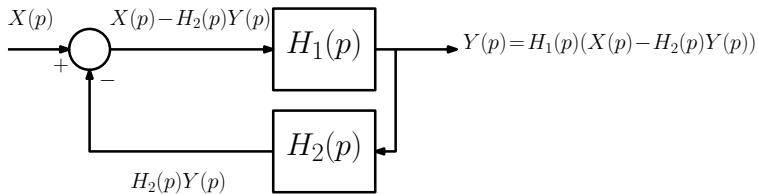
## 1.4 Fonction de transfert et algèbre des blocs

Fonction de transfert en boucle fermée :



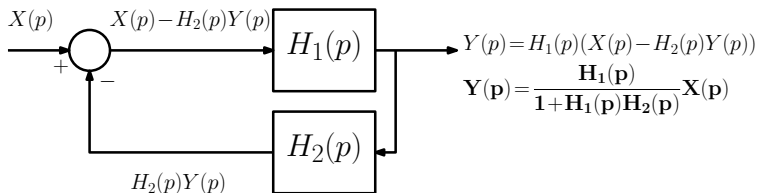
## 1.4 Fonction de transfert et algèbre des blocs

Fonction de transfert en boucle fermée :



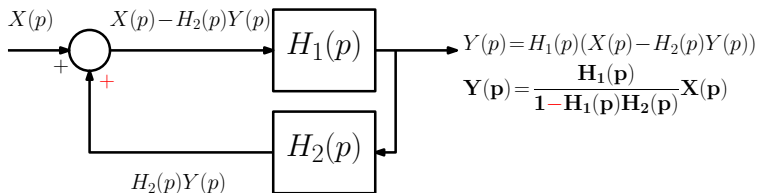
# 1.4 Fonction de transfert et algèbre des blocs

Fonction de transfert en boucle fermée :



# 1.4 Fonction de transfert et algèbre des blocs

Fonction de transfert en boucle fermée :





## 1.5 Réponse temporelle d'un système linéaire

**La sortie d'un système linéaire peut s'écrire :**

$$Y(p) = H(p)X(p) + \sum_{k=0}^{n-1} \frac{Num_{k1}(p)}{Den(p)} y^{(k)}(0) + \sum_{k=0}^{m-1} \frac{Num_{k2}(p)}{Den(p)} x^{(k)}(0)$$

## 1.5 Réponse temporelle d'un système linéaire

**La sortie d'un système linéaire peut s'écrire :**

$$Y(p) = \frac{Num(p)}{Den(p)}$$

## 1.5 Réponse temporelle d'un système linéaire

**La sortie d'un système linéaire peut s'écrire :**

$$Y(p) = \frac{Num(p)}{Den(p)}$$

**Après décomposition en éléments simples, trois cas sont à distinguer :**

## 1.5 Réponse temporelle d'un système linéaire

**La sortie d'un système linéaire peut s'écrire :**

$$Y(p) = \frac{Num(p)}{Den(p)}$$

**Après décomposition en éléments simples, trois cas sont à distinguer :**

- pôle simple réel distinct :  $Y(p) = \frac{1}{p-p_0} + \dots$ 
  - réponse en exponentielle :  $y(t) = e^{p_0 t} + \dots$
  - convergent si le pôle est négatif

# 1.5 Réponse temporelle d'un système linéaire

La sortie d'un système linéaire peut s'écrire :

$$Y(p) = \frac{Num(p)}{Den(p)}$$

Après décomposition en éléments simples, trois cas sont à distinguer :

- pôle simple réel distinct :  $Y(p) = \frac{1}{p-p_0} + \dots$ 
  - réponse en exponentielle :  $y(t) = e^{p_0 t} + \dots$
  - convergent si le pôle est négatif
- pôle réel multiple :  $Y(p) = \frac{1}{(p-p_0)^k} + \dots$ 
  - réponse en exponentielle \* puissance de  $t$  :  $y(t) = \frac{1}{(k-1)!} t^{k-1} e^{p_0 t} + \dots$
  - convergent si le pôle est négatif

# 1.5 Réponse temporelle d'un système linéaire

La sortie d'un système linéaire peut s'écrire :

$$Y(p) = \frac{Num(p)}{Den(p)}$$

Après décomposition en éléments simples, trois cas sont à distinguer :

- pôle simple réel distinct :  $Y(p) = \frac{1}{p-p_0} + \dots$ 
  - réponse en exponentielle :  $y(t) = e^{p_0 t} + \dots$
  - convergent si le pôle est négatif
- pôle réel multiple :  $Y(p) = \frac{1}{(p-p_0)^k} + \dots$ 
  - réponse en exponentielle \* puissance de  $t$  :  $y(t) = \frac{1}{(k-1)!} t^{k-1} e^{p_0 t} + \dots$
  - convergent si le pôle est négatif
- pôles complexes conjugués :  $Y(p) = \frac{z}{p-p_0} + \frac{\bar{z}}{p-\bar{p}_0} + \dots$  (où  $p_0 = \alpha + i\beta$ )
  - réponse sinusoïdale \* exponentielle :  $y(t) = 2|z| e^{\alpha t} \cos(\arg(z) + \beta t) + \dots$
  - convergent si le pôle est à partie réelle négative

## 2.1 Définition et intérêt des syst. du 1<sup>er</sup> ordre

### Définition

Un système du 1<sup>er</sup> ordre est décrit par l'équation différentielle :

$$T \frac{dy(t)}{dt} + y(t) = Kx(t)$$

sa fonction de transfert est :  $H(p) = \frac{K}{1+Tp}$

## 2.1 Définition et intérêt des syst. du 1<sup>er</sup> ordre

### Définition

Un système du 1<sup>er</sup> ordre est décrit par l'équation différentielle :

$$T \frac{dy(t)}{dt} + y(t) = Kx(t)$$

sa fonction de transfert est :  $H(p) = \frac{K}{1+Tp}$

### Vocabulaire :

- $T$  est appelé *constante de temps* (unité : s)
- $K$  est appelé *gain statique*, (unité : ça dépend)



## 2.1 Définition et intérêt des syst. du 1<sup>er</sup> ordre

### Définition

Un système du 1<sup>er</sup> ordre est décrit par l'équation différentielle :

$$T \frac{dy(t)}{dt} + y(t) = Kx(t)$$

sa fonction de transfert est :  $H(p) = \frac{K}{1+Tp}$

### Vocabulaire :

- $T$  est appelé *constante de temps* (unité : s)
- $K$  est appelé *gain statique*, (unité : ça dépend)

### Permet de modéliser un système dont la sortie :

- ... suit l'entrée avec un temps de réponse, quantifié par  $T$
- ... amplifie l'entrée en régime permanent ( $K = y(\infty)/x(\infty)$ )

## 2.1 Définition et intérêt des syst. du 1<sup>er</sup> ordre

### Définition

Un système du 1<sup>er</sup> ordre est décrit par l'équation différentielle :

$$T \frac{dy(t)}{dt} + y(t) = Kx(t)$$

sa fonction de transfert est :  $H(p) = \frac{K}{1+Tp}$

### Vocabulaire :

- $T$  est appelé *constante de temps* (unité : s)
- $K$  est appelé *gain statique*, (unité : ça dépend)

### Permet de modéliser un système dont la sortie :

- ... suit l'entrée avec un temps de réponse, quantifié par  $T$
- ... amplifie l'entrée en régime permanent ( $K = y(\infty)/x(\infty)$ )

**Exemple :** réaction  $A \rightarrow B$

## 2.2 Réponses temporelles

**Quelle est la sortie  $y(t)$  lorsque :**

- $x(t)$  est une impulsion? ( $X(p) = 1$ ) (réponse impulsionnelle)
- $x(t)$  est un échelon? ( $X(p) = \frac{1}{p}$ ) (réponse indicielle)
- $x(t)$  est une sinusoïde? ( $X(p) = \frac{\omega}{p^2 + \omega^2}$ ) (réponse fréquentielle)

## 2.2 Réponses temporelles

**Quelle est la sortie  $y(t)$  lorsque :**

- $x(t)$  est une impulsion? ( $X(p) = 1$ ) (réponse impulsionnelle)
- $x(t)$  est un échelon? ( $X(p) = \frac{1}{p}$ ) (réponse indicielle)
- $x(t)$  est une sinusoïde? ( $X(p) = \frac{\omega}{p^2 + \omega^2}$ ) (réponse fréquentielle)

**Méthode :**

Calculs de  $y(t) = \mathcal{L}^{-1} \left( \frac{K}{1+Tp} X(p) \right)$  pour les différentes entrées possibles.

## 2.2 Réponse impulsionnelle d'un syst. du 1<sup>er</sup> ordre

**On considère une entrée impulsionnelle :  $x(t) = \delta(t)$**

- Pour  $y(0^-) = 0$ , la T.L. de la sortie est donnée par :

$$Y(p) = \frac{K}{1 + Tp} 1 = \frac{K/T}{p + 1/T}$$

## 2.2 Réponse impulsionnelle d'un syst. du 1<sup>er</sup> ordre

**On considère une entrée impulsionnelle :**  $x(t) = \delta(t)$

- Pour  $y(0^-) = 0$ , la T.L. de la sortie est donnée par :

$$Y(p) = \frac{K}{1 + Tp} 1 = \frac{K/T}{p + 1/T}$$

- La réponse temporelle est donc :

$$y(t) = \frac{K}{T} e^{-t/T}$$

## 2.2 Réponse impulsionnelle d'un syst. du 1<sup>er</sup> ordre

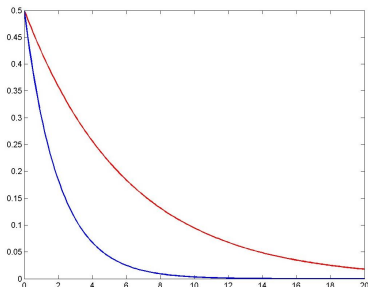
On considère une entrée impulsionnelle :  $x(t) = \delta(t)$

- Pour  $y(0^-) = 0$ , la T.L. de la sortie est donnée par :

$$Y(p) = \frac{K}{1 + Tp} \mathbf{1} = \frac{K/T}{p + 1/T}$$

- La réponse temporelle est donc :

$$y(t) = \frac{K}{T} e^{-t/T}$$



en rouge :  $K = 3$ ,  $T = 6$

en bleu :  $K = 1$ ,  $T = 2$

## 2.2 Réponse impulsionnelle d'un syst. du 1<sup>er</sup> ordre

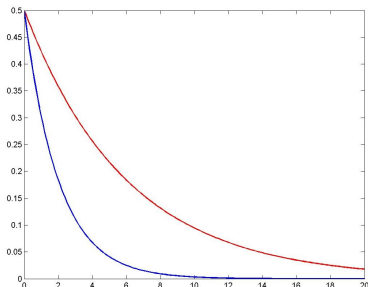
On considère une entrée impulsionnelle :  $x(t) = \delta(t)$

- Pour  $y(0^-) = 0$ , la T.L. de la sortie est donnée par :

$$Y(p) = \frac{K}{1 + Tp} \mathbf{1} = \frac{K/T}{p + 1/T}$$

- La réponse temporelle est donc :

$$y(t) = \frac{K}{T} e^{-t/T}$$



en rouge :  $K = 3$ ,  $T = 6$

en bleu :  $K = 1$ ,  $T = 2$

À noter :

- discontinuité en  $t = 0$  ( $\lim_{t \rightarrow 0^-} = 0 \neq \lim_{t \rightarrow 0^+} = K/T$ )
- $T$  petit  $\Rightarrow$  réponse rapide



## 2.2 Réponse indicielle d'un syst. du 1<sup>er</sup> ordre

**On considère une entrée échelon unitaire :  $x(t) = \Gamma(t)$**

- Pour  $y(0) = 0$ , la T.L. de la sortie est donnée par :

$$Y(p) = \frac{K}{(1 + Tp)p} = K \left( \frac{1}{p} - \frac{1}{p + 1/T} \right)$$

## 2.2 Réponse indicielle d'un syst. du 1<sup>er</sup> ordre

On considère une entrée échelon unitaire :  $x(t) = \Gamma(t)$

- Pour  $y(0) = 0$ , la T.L. de la sortie est donnée par :

$$Y(p) = \frac{K}{(1 + Tp)p} = K \left( \frac{1}{p} - \frac{1}{p + 1/T} \right)$$

La réponse indicielle d'un syst. du 1<sup>er</sup> ordre est :

$$y(t) = K \left( 1 - e^{-t/T} \right)$$

## 2.2 Réponse indicielle d'un syst. du 1<sup>er</sup> ordre

On considère une entrée échelon unitaire :  $x(t) = \Gamma(t)$

- Pour  $y(0) = 0$ , la T.L. de la sortie est donnée par :

$$Y(p) = \frac{K}{(1 + Tp)p} = K \left( \frac{1}{p} - \frac{1}{p + 1/T} \right)$$

La réponse indicielle d'un syst. du 1<sup>er</sup> ordre est :

$$y(t) = K \left( 1 - e^{-t/T} \right)$$

- $K$  donne le gain statique (rapport des signaux en régime permanent)

## 2.2 Réponse indicielle d'un syst. du 1<sup>er</sup> ordre

On considère une entrée échelon unitaire :  $x(t) = \Gamma(t)$

- Pour  $y(0) = 0$ , la T.L. de la sortie est donnée par :

$$Y(p) = \frac{K}{(1 + Tp)p} = K \left( \frac{1}{p} - \frac{1}{p + 1/T} \right)$$

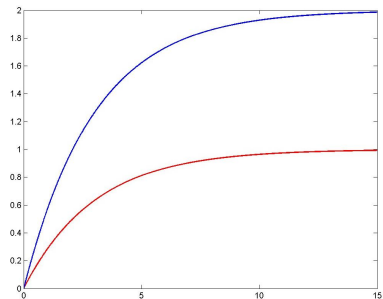
La réponse indicielle d'un syst. du 1<sup>er</sup> ordre est :

$$y(t) = K \left( 1 - e^{-t/T} \right)$$

- $K$  donne le gain statique (rapport des signaux en régime permanent)
- $T$  petit  $\Rightarrow$  réponse rapide

## 2.2 Réponse indicielle d'un syst. du 1<sup>er</sup> ordre

### Influence du gain statique $K$

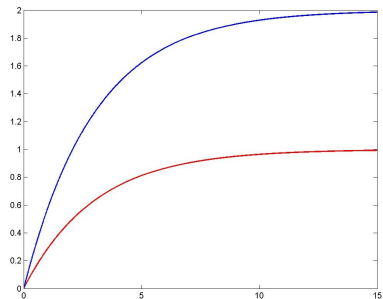


en rouge :  $K = 1$ ,  $T = 3$

en bleu :  $K = 2$ ,  $T = 3$

## 2.2 Réponse indicielle d'un syst. du 1<sup>er</sup> ordre

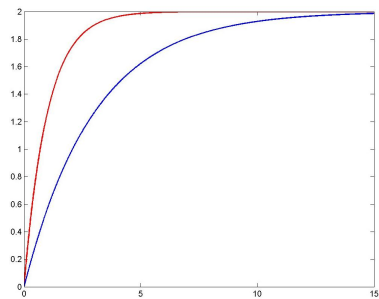
### Influence du gain statique $K$



en rouge :  $K = 1$ ,  $T = 3$

en bleu :  $K = 2$ ,  $T = 3$

### Influence du temps de réponse $T$



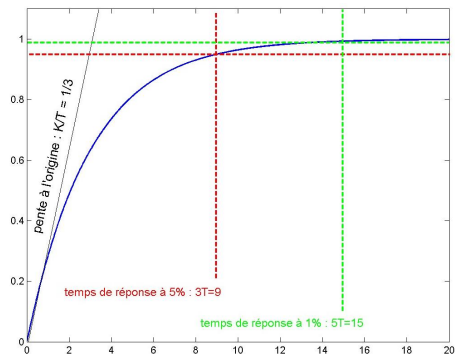
en rouge :  $K = 2$ ,  $T = 1$

en bleu :  $K = 2$ ,  $T = 3$

## 2.2 Réponse indicielle d'un syst. du 1<sup>er</sup> ordre

Quelques données à retenir :

- valeur finale pour  $x(t) = \Gamma(t)$  :  
 $\lim_{t \rightarrow \infty} y(t) = K$

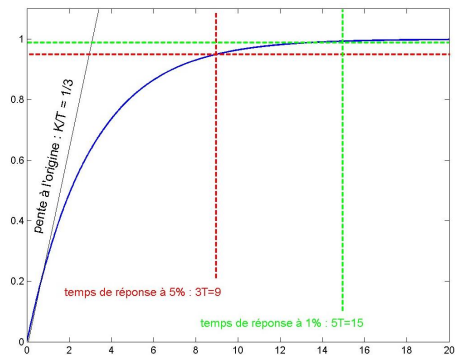


exemple pour  $K = 1$  et  $T = 3$

## 2.2 Réponse indicielle d'un syst. du 1<sup>er</sup> ordre

Quelques données à retenir :

- valeur finale pour  $x(t) = \Gamma(t)$  :  
 $\lim_{t \rightarrow \infty} y(t) = K$
- valeur initiale de la pente :  
 $\dot{y}(0) = K/T$



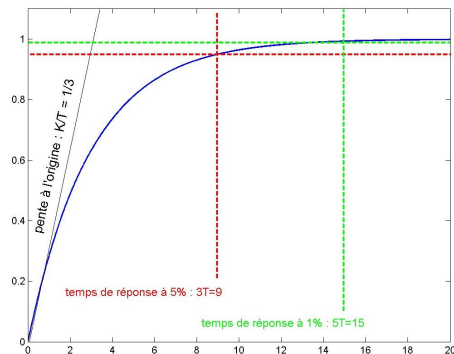
exemple pour  $K = 1$  et  $T = 3$



## 2.2 Réponse indicielle d'un syst. du 1<sup>er</sup> ordre

Quelques données à retenir :

- valeur finale pour  $x(t) = \Gamma(t)$  :  
 $\lim_{t \rightarrow \infty} y(t) = K$
- valeur initiale de la pente :  
 $\dot{y}(0) = K/T$



exemple pour  $K = 1$  et  $T = 3$

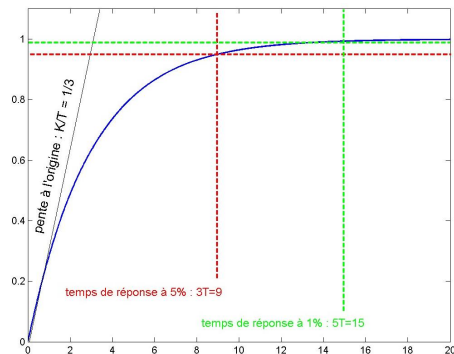
Temps de réponse à  $x\%$  : instant  $t_{x\%}$  tel que, pour tout  $t \geq t_{x\%}$  :

$$y(\infty)\left(1 - \frac{x}{100}\right) \leq y(t) \leq y(\infty)\left(1 + \frac{x}{100}\right)$$

## 2.2 Réponse indicielle d'un syst. du 1<sup>er</sup> ordre

### Quelques données à retenir :

- valeur finale pour  $x(t) = \Gamma(t)$  :  
 $\lim_{t \rightarrow \infty} y(t) = K$
- valeur initiale de la pente :  
 $\dot{y}(0) = K/T$
- temps de réponse à 5% :  
 $t_{5\%} \approx 3T$
- temps de réponse à 2% :  
 $t_{2\%} \approx 4T$
- temps de réponse à 1% :  
 $t_{1\%} \approx 4.6T$



exemple pour  $K = 1$  et  $T = 3$

Temps de réponse à  $x\%$  : instant  $t_{x\%}$  tel que, pour tout  $t \geq t_{x\%}$  :

$$y(\infty)\left(1 - \frac{x}{100}\right) \leq y(t) \leq y(\infty)\left(1 + \frac{x}{100}\right)$$

## 2.2 Réponse sinusoïdale d'un syst. du 1<sup>er</sup> ordre

On considère une entrée sinusoïdale :  $x(t) = \sin(\omega t)$

- Pour  $y(0) = 0$ , la T.L. de la sortie est donnée par :

$$\begin{aligned} Y(p) &= \frac{K}{1 + Tp} \left( \frac{\omega}{p^2 + \omega^2} \right) \\ &= \frac{K}{1 + T^2\omega^2} \left( \frac{T\omega}{p + 1/T} + \underbrace{\frac{\omega}{p^2 + \omega^2}}_{\text{sinus}} - \underbrace{\frac{T\omega p}{p^2 + \omega^2}}_{\text{cosinus}} \right) \end{aligned}$$

## 2.2 Réponse sinusoïdale d'un syst. du 1<sup>er</sup> ordre

On considère une entrée sinusoïdale :  $x(t) = \sin(\omega t)$

- Pour  $y(0) = 0$ , la T.L. de la sortie est donnée par :

$$\begin{aligned} Y(p) &= \frac{K}{1 + Tp} \left( \frac{\omega}{p^2 + \omega^2} \right) \\ &= \frac{K}{1 + T^2\omega^2} \left( \frac{T\omega}{p + 1/T} + \underbrace{\frac{\omega}{p^2 + \omega^2}}_{\text{sinus}} - \underbrace{\frac{T\omega p}{p^2 + \omega^2}}_{\text{cosinus}} \right) \end{aligned}$$

La réponse sinusoïdale d'un syst. du 1<sup>er</sup> ordre est :

$$y(t) = \underbrace{\frac{\omega KT}{1 + T^2\omega^2} e^{-t/T}}_{\text{transitoire}} + \underbrace{\frac{K}{\sqrt{1 + T^2\omega^2}} \sin(\omega t - A \tan(\omega T))}_{\text{permanent}}$$

## 2.2 Réponse sinusoïdale d'un syst. du 1<sup>er</sup> ordre

On considère une entrée sinusoïdale :  $x(t) = \sin(\omega t)$

- Pour  $y(0) = 0$ , la T.L. de la sortie est donnée par :

$$\begin{aligned} Y(p) &= \frac{K}{1 + Tp} \left( \frac{\omega}{p^2 + \omega^2} \right) \\ &= \frac{K}{1 + T^2\omega^2} \left( \frac{T\omega}{p + 1/T} + \underbrace{\frac{\omega}{p^2 + \omega^2}}_{\text{sinus}} - \underbrace{\frac{T\omega p}{p^2 + \omega^2}}_{\text{cosinus}} \right) \end{aligned}$$

La réponse sinusoïdale d'un syst. du 1<sup>er</sup> ordre est :

$$y(t) = \underbrace{\frac{\omega KT}{1 + T^2\omega^2} e^{-t/T}}_{\text{transitoire}} + \underbrace{\frac{K}{\sqrt{1 + T^2\omega^2}} \sin(\omega t - A \tan(\omega T))}_{\text{permanent}}$$

- la sortie oscille à la même fréquence  $\omega$  que l'entrée

## 2.2 Réponse sinusoïdale d'un syst. du 1<sup>er</sup> ordre

On considère une entrée sinusoïdale :  $x(t) = \sin(\omega t)$

- Pour  $y(0) = 0$ , la T.L. de la sortie est donnée par :

$$\begin{aligned} Y(p) &= \frac{K}{1 + Tp} \left( \frac{\omega}{p^2 + \omega^2} \right) \\ &= \frac{K}{1 + T^2\omega^2} \left( \frac{T\omega}{p + 1/T} + \underbrace{\frac{\omega}{p^2 + \omega^2}}_{\text{sinus}} - \underbrace{\frac{T\omega p}{p^2 + \omega^2}}_{\text{cosinus}} \right) \end{aligned}$$

La réponse sinusoïdale d'un syst. du 1<sup>er</sup> ordre est :

$$y(t) = \underbrace{\frac{\omega KT}{1 + T^2\omega^2} e^{-t/T}}_{\text{transitoire}} + \underbrace{\frac{K}{\sqrt{1 + T^2\omega^2}} \sin(\omega t - A \tan(\omega T))}_{\text{permanent}}$$

- la sortie oscille à la même fréquence  $\omega$  que l'entrée
- le signal d'entrée est amplifié de  $|H(j\omega)| = \frac{K}{\sqrt{1 + T^2\omega^2}}$

## 2.2 Réponse sinusoïdale d'un syst. du 1<sup>er</sup> ordre

On considère une entrée sinusoïdale :  $x(t) = \sin(\omega t)$

- Pour  $y(0) = 0$ , la T.L. de la sortie est donnée par :

$$\begin{aligned} Y(p) &= \frac{K}{1 + Tp} \left( \frac{\omega}{p^2 + \omega^2} \right) \\ &= \frac{K}{1 + T^2\omega^2} \left( \frac{T\omega}{p + 1/T} + \underbrace{\frac{\omega}{p^2 + \omega^2}}_{\text{sinus}} - \underbrace{\frac{T\omega p}{p^2 + \omega^2}}_{\text{cosinus}} \right) \end{aligned}$$

La réponse sinusoïdale d'un syst. du 1<sup>er</sup> ordre est :

$$y(t) = \underbrace{\frac{\omega KT}{1 + T^2\omega^2} e^{-t/T}}_{\text{transitoire}} + \underbrace{\frac{K}{\sqrt{1 + T^2\omega^2}} \sin(\omega t - A \tan(\omega T))}_{\text{permanent}}$$

- la sortie oscille à la même fréquence  $\omega$  que l'entrée
- le signal d'entrée est amplifié de  $|H(j\omega)| = \frac{K}{\sqrt{1 + T^2\omega^2}}$
- le signal d'entrée est déphasé de  $Arg(H(j\omega)) = -A \tan(\omega T)$

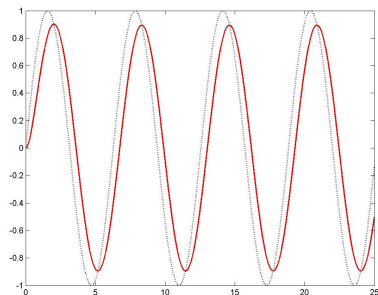
## 2.2 Exemples de réponses sinusoïdales d'un syst. du 1<sup>er</sup> ordre

On considère une entrée de la forme :  $u(t) = \sin(\omega t)$

Rappel :

$$y(t) = \frac{\omega KT}{1 + T^2\omega^2} e^{-t/T} + \frac{K}{\sqrt{1 + T^2\omega^2}} \sin(\omega t - A \tan(\omega T))$$

Réponse pour  $K=1$ ,  $T=0.5$  et  $\omega=1$



en noir : entrée

en rouge : sortie



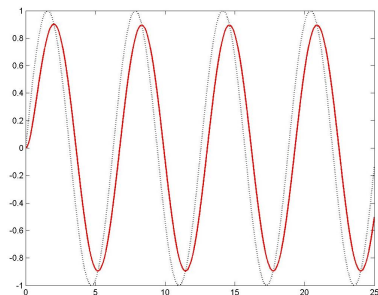
## 2.2 Exemples de réponses sinusoïdales d'un syst. du 1<sup>er</sup> ordre

On considère une entrée de la forme :  $u(t) = \sin(\omega t)$

Rappel :

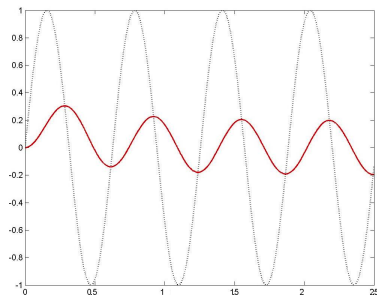
$$y(t) = \frac{\omega KT}{1 + T^2\omega^2} e^{-t/T} + \frac{K}{\sqrt{1 + T^2\omega^2}} \sin(\omega t - A \tan(\omega T))$$

Réponse pour  $K=1$ ,  $T=0.5$  et  $\omega=1$



en noir : entrée  
en rouge : sortie

Réponse pour  $K=1$ ,  $T=0.5$  et  $\omega=10$



en noir : entrée  
en rouge : sortie

## 2.3 Réponse fréquentielle

### Étude fréquentielle

Caractériser la réponse du système à une sinusoïde en fonction de la *fréquence* du signal d'entrée.

Réponse fréquentielle d'un système linéaire à  $x(t) = \sin(\omega t)$

$$y(t) = \underbrace{|H(j\omega)|}_{\text{gain : } G(\omega)} \sin(\omega t + \underbrace{\text{Arg}(H(j\omega))}_{\text{déphasage : } \phi(\omega)})$$

## 2.3 Réponse fréquentielle

### Étude fréquentielle

Caractériser la réponse du système à une sinusoïde en fonction de la *fréquence* du signal d'entrée.

Réponse fréquentielle d'un système linéaire à  $x(t) = \sin(\omega t)$

$$y(t) = \underbrace{|H(j\omega)|}_{\text{gain : } G(\omega)} \sin(\omega t + \underbrace{\text{Arg}(H(j\omega))}_{\text{déphasage : } \phi(\omega)})$$

### Justification :

- Tout signal peut se décomposer en somme pondérée de sinus (Fourier)
- Principe de superposition :  $y(\sum_i u_i(t)) = \sum_i y(u_i(t))$

## 2.3 Réponse fréquentielle

### Étude fréquentielle

Caractériser la réponse du système à une sinusoïde en fonction de la *fréquence* du signal d'entrée.

Réponse fréquentielle d'un système linéaire à  $x(t) = \sin(\omega t)$

$$y(t) = \underbrace{|H(j\omega)|}_{\text{gain : } G(\omega)} \sin(\omega t + \underbrace{\text{Arg}(H(j\omega))}_{\text{déphasage : } \phi(\omega)})$$

### Justification :

- Tout signal peut se décomposer en somme pondérée de sinus (Fourier)
- Principe de superposition :  $y(\sum_i u_i(t)) = \sum_i y(u_i(t))$

Dans le cas des systèmes du premier ordre :

$$G(\omega) = \frac{K}{\sqrt{1 + T^2\omega^2}}$$

$$\Phi(\omega) = -A \tan(\omega T)$$

## 2.3 Diagramme de Bode



Hendrik Wade ... (1905 - 1982)

## 2.3 Diagramme de Bode

### Construction d'un diagramme de Bode

- Tracé du gain en décibel en fonction de  $\omega$  :

$$G_{dB}(\omega) = 20 \log(G(\omega)) = 20 \log(|H(j\omega)|)$$

- Tracé de la phase en fonction de  $\omega$  :

$$\phi(\omega) = \text{Arg}(H(j\omega))$$

- Échelle logarithmique en  $\omega$  : 1 graduation  $\sim 10 \times \omega$  (décade)

## 2.3 Diagramme de Bode

### Construction d'un diagramme de Bode

- Tracé du gain en décibel en fonction de  $\omega$  :

$$G_{dB}(\omega) = 20\log(G(\omega)) = 20\log(|H(j\omega)|)$$

- Tracé de la phase en fonction de  $\omega$  :

$$\phi(\omega) = \text{Arg}(H(j\omega))$$

- Échelle logarithmique en  $\omega$  : 1 graduation  $\sim 10 \times \omega$  (décade)

### Intérêts du diagramme de Bode :

- synthétique (grande échelle de variation de  $\omega$ )
- lorsque des systèmes sont mis en série :
  - les gains en décibels s'ajoutent
  - les déphasages s'ajoutent

## 2.3 Diagramme de Bode d'un intégrateur pur

Fonction de transfert :

$$H(p) = \frac{K}{p}$$

Diagramme de Bode

- Gain en dB :  $G_{dB}(\omega) = 20 \log \left( \left| \frac{K}{j\omega} \right| \right) = 20 \log(K) - 20 \log(\omega)$
- Gain nul en dB pour :  $\omega = K$
- Pente du gain :  $-20$  dB/dec (car  $G_{dB}(10\omega) = G_{dB}(\omega) - 20$ )
- Déphasage constant :  $\phi(\omega) = -\frac{\pi}{2}$



## 2.3 Diagramme de Bode d'un intégrateur pur

Fonction de transfert :

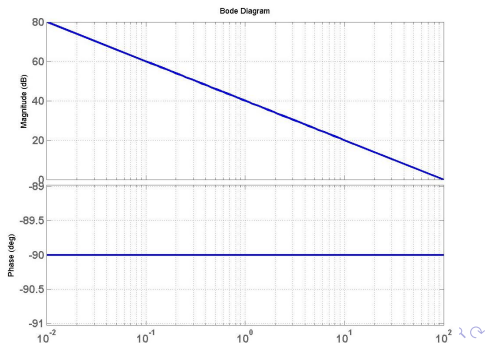
$$H(p) = \frac{K}{p}$$

Diagramme de Bode

- Gain en dB :  $G_{dB}(\omega) = 20 \log \left( \left| \frac{K}{j\omega} \right| \right) = 20 \log(K) - 20 \log(\omega)$
- Gain nul en dB pour :  $\omega = K$
- Pente du gain :  $-20$  dB/dec (car  $G_{dB}(10\omega) = G_{dB}(\omega) - 20$ )
- Déphasage constant :  $\phi(\omega) = -\frac{\pi}{2}$

Tracé asymptotique

- Pente du gain :  $-20$  dB/dec
- Gain nul en dB pour :  $\omega = 100$
- Déphasage constant :  $\phi(\omega) = -\frac{\pi}{2}$
- Exemple :  $H(p) = \frac{100}{p}$



## 2.3 Diagramme de Bode d'un 1<sup>er</sup> ordre

### Diagramme de Bode :

- gain en dB :  $G_{dB}(\omega) = 20 \log \left( \left| \frac{K}{1+jT\omega} \right| \right) = 20 \log(K) - 10 \log(1 + T^2\omega^2)$
- déphasage :  $\phi(\omega) = -A \tan(\omega T)$

## 2.3 Diagramme de Bode d'un 1<sup>er</sup> ordre

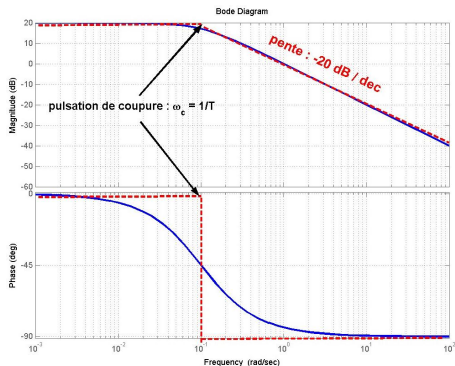
### Diagramme de Bode :

- gain en dB :  $G_{dB}(\omega) = 20 \log \left( \left| \frac{K}{1+jT\omega} \right| \right) = 20 \log(K) - 10 \log(1 + T^2\omega^2)$
- déphasage :  $\phi(\omega) = -A \tan(\omega T)$

### Tracé asymptotique

- Basses fréquences :  $H(j\omega) \approx K$

$$\Rightarrow \begin{cases} G_{dB}(\omega) \approx 20 \log K \\ \phi(\omega) \approx 0^\circ \end{cases}$$



## 2.3 Diagramme de Bode d'un 1<sup>er</sup> ordre

### Diagramme de Bode :

- gain en dB :  $G_{dB}(\omega) = 20 \log \left( \left| \frac{K}{1+jT\omega} \right| \right) = 20 \log(K) - 10 \log(1 + T^2\omega^2)$
- déphasage :  $\phi(\omega) = -A \tan(\omega T)$

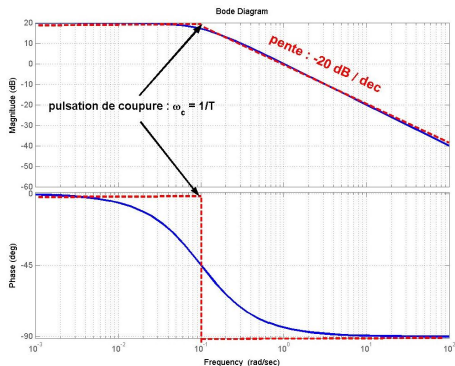
### Tracé asymptotique

- Basses fréquences :  $H(j\omega) \approx K$

$$\Rightarrow \begin{cases} G_{dB}(\omega) \approx 20 \log K \\ \phi(\omega) \approx 0^\circ \end{cases}$$

- Hautes fréquences :  $H(j\omega) \approx \frac{K}{j\omega T}$

$$\Rightarrow \begin{cases} G_{dB}(\omega) \approx 20 \log K - 20 \log(\omega T) \\ \phi(\omega) \approx -90^\circ \end{cases}$$



## 2.3 Diagramme de Bode d'un 1<sup>er</sup> ordre

### Diagramme de Bode :

- gain en dB :  $G_{dB}(\omega) = 20 \log \left( \left| \frac{K}{1+jT\omega} \right| \right) = 20 \log(K) - 10 \log(1 + T^2\omega^2)$
- déphasage :  $\phi(\omega) = -A \tan(\omega T)$

### Tracé asymptotique

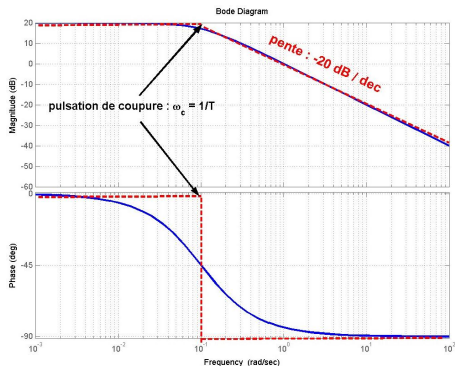
- Basses fréquences :  $H(j\omega) \approx K$

$$\Rightarrow \begin{cases} G_{dB}(\omega) \approx 20 \log K \\ \phi(\omega) \approx 0^\circ \end{cases}$$

- Hautes fréquences :  $H(j\omega) \approx \frac{K}{j\omega T}$

$$\Rightarrow \begin{cases} G_{dB}(\omega) \approx 20 \log K - 20 \log(\omega T) \\ \phi(\omega) \approx -90^\circ \end{cases}$$

- Intersection en  $\omega = 1/T$



## 2.3 Diagramme de Bode d'un 1<sup>er</sup> ordre

### Diagramme de Bode :

- gain en dB :  $G_{dB}(\omega) = 20 \log \left( \left| \frac{K}{1+jT\omega} \right| \right) = 20 \log(K) - 10 \log(1 + T^2\omega^2)$
- déphasage :  $\phi(\omega) = -A \tan(\omega T)$

### Tracé asymptotique

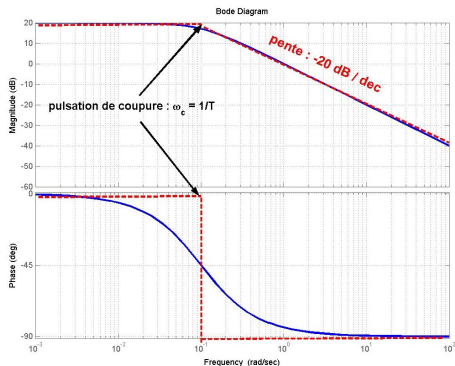
- Basses fréquences :  $H(j\omega) \approx K$

$$\Rightarrow \begin{cases} G_{dB}(\omega) \approx 20 \log K \\ \phi(\omega) \approx 0^\circ \end{cases}$$

- Hautes fréquences :  $H(j\omega) \approx \frac{K}{j\omega T}$

$$\Rightarrow \begin{cases} G_{dB}(\omega) \approx 20 \log K - 20 \log(\omega T) \\ \phi(\omega) \approx -90^\circ \end{cases}$$

- Intersection en  $\omega = 1/T$
- Bande passante à  $-3\text{dB}$  :  $\left[0 \frac{1}{T}\right]$



## 2.3 Diagramme de Bode d'un 1<sup>er</sup> ordre

### Diagramme de Bode :

- gain en dB :  $G_{dB}(\omega) = 20 \log \left( \left| \frac{K}{1+jT\omega} \right| \right) = 20 \log(K) - 10 \log(1 + T^2\omega^2)$
- déphasage :  $\phi(\omega) = -A \tan(\omega T)$

### Tracé asymptotique

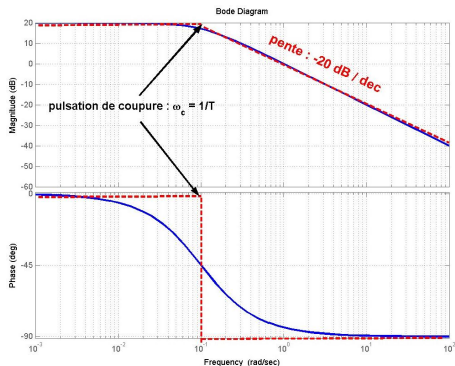
- Basses fréquences :  $H(j\omega) \approx K$

$$\Rightarrow \begin{cases} G_{dB}(\omega) \approx 20 \log K \\ \phi(\omega) \approx 0^\circ \end{cases}$$

- Hautes fréquences :  $H(j\omega) \approx \frac{K}{j\omega T}$

$$\Rightarrow \begin{cases} G_{dB}(\omega) \approx 20 \log K - 20 \log(\omega T) \\ \phi(\omega) \approx -90^\circ \end{cases}$$

- Intersection en  $\omega = 1/T$
- Bande passante à  $-3\text{dB}$  :  $\left[0 \frac{1}{T}\right]$
- Exemple :  $H(p) = \frac{10}{1+10p}$



## 2.4 Quelques réponses aux questions que vous ne vous posez pas.

**Que se passe t-il lorsque ...**

- **deux systèmes du premier ordre sont en série ?**



## 2.4 Quelques réponses aux questions que vous ne vous posiez pas.

### Que se passe t-il lorsque ...

- **deux systèmes du premier ordre sont en série ?**

- fonction de transfert globale :  $H(p) = H_1(p)H_2(p) = \frac{K_1 K_2}{(1+T_1 p)(1+T_2 p)}$
- gain global :  $G_{dB}(\omega) = G_{dB1}(\omega) + G_{dB2}(\omega)$
- phase globale :  $\phi(\omega) = \phi_1(\omega) + \phi_2(\omega)$

## 2.4 Quelques réponses aux questions que vous ne vous posiez pas.

### Que se passe t-il lorsque ...

- **deux systèmes du premier ordre sont en série ?**

- fonction de transfert globale :  $H(p) = H_1(p)H_2(p) = \frac{K_1K_2}{(1+T_1p)(1+T_2p)}$
- gain global :  $G_{dB}(\omega) = G_{dB1}(\omega) + G_{dB2}(\omega)$
- phase globale :  $\phi(\omega) = \phi_1(\omega) + \phi_2(\omega)$

- **un système du premier ordre est bouclé par un gain  $K_c$  ?**

## 2.4 Quelques réponses aux questions que vous ne vous posez pas.

### Que se passe t-il lorsque ...

- **deux systèmes du premier ordre sont en série ?**

- fonction de transfert globale :  $H(p) = H_1(p)H_2(p) = \frac{K_1 K_2}{(1+T_1 p)(1+T_2 p)}$
- gain global :  $G_{dB}(\omega) = G_{dB1}(\omega) + G_{dB2}(\omega)$
- phase globale :  $\phi(\omega) = \phi_1(\omega) + \phi_2(\omega)$

- **un système du premier ordre est bouclé par un gain  $K_C$  ?**

- fonction de transfert globale du premier ordre:  $H_{BF}(p) = \frac{K_{BF}}{1+T_{BF} p}$
- gain statique du système en BF :  $K_{BF} = \frac{K K_C}{1+K K_C}$
- constante de temps du système en BF :  $T_{BF} = \frac{T}{1+K K_C}$

## 2.4 Quelques réponses aux questions que vous ne vous posez pas.

### Que se passe t-il lorsque ...

- **deux systèmes du premier ordre sont en série ?**

- fonction de transfert globale :  $H(p) = H_1(p)H_2(p) = \frac{K_1 K_2}{(1+T_1 p)(1+T_2 p)}$
- gain global :  $G_{dB}(\omega) = G_{dB1}(\omega) + G_{dB2}(\omega)$
- phase globale :  $\phi(\omega) = \phi_1(\omega) + \phi_2(\omega)$

- **un système du premier ordre est bouclé par un gain  $K_C$  ?**

- fonction de transfert globale du premier ordre:  $H_{BF}(p) = \frac{K_{BF}}{1+T_{BF}p}$
- gain statique du système en BF :  $K_{BF} = \frac{KK_C}{1+KK_C}$
- constante de temps du système en BF :  $T_{BF} = \frac{T}{1+KK_C}$

- **le système est de la forme :  $H(p) = K \frac{1+T_2 p}{1+T_1 p}$**

## 2.4 Quelques réponses aux questions que vous ne vous posez pas.

### Que se passe t-il lorsque ...

- **deux systèmes du premier ordre sont en série ?**

- fonction de transfert globale :  $H(p) = H_1(p)H_2(p) = \frac{K_1 K_2}{(1+T_1 p)(1+T_2 p)}$
- gain global :  $G_{dB}(\omega) = G_{dB1}(\omega) + G_{dB2}(\omega)$
- phase globale :  $\phi(\omega) = \phi_1(\omega) + \phi_2(\omega)$

- **un système du premier ordre est bouclé par un gain  $K_C$  ?**

- fonction de transfert globale du premier ordre:  $H_{BF}(p) = \frac{K_{BF}}{1+T_{BF}p}$
- gain statique du système en BF :  $K_{BF} = \frac{KK_C}{1+KK_C}$
- constante de temps du système en BF :  $T_{BF} = \frac{T}{1+KK_C}$

- **le système est de la forme :  $H(p) = K \frac{1+T_2 p}{1+T_1 p}$**

- pour  $T_1 > T_2$  : retard de phase sur  $[T_1^{-1} \ T_2^{-1}]$
- pour  $T_2 > T_1$  : avance de phase sur  $[T_2^{-1} \ T_1^{-1}]$
- dans les 2 cas : extremum de déphasage pour  $\omega = \frac{1}{\sqrt{T_1 T_2}}$

## 3.1 Définition et intérêt des système d'ordre 2

### Définition

Un système du deuxième ordre est décrit par l'équation différentielle :

$$\frac{1}{\omega_0^2} \frac{d^2 y(t)}{dt^2} + \frac{2z}{\omega_0} \frac{dy(t)}{dt} + y(t) = Kx(t)$$

sa fonction de transfert est :  $H(p) = \frac{K}{\frac{1}{\omega_0^2} p^2 + \frac{2z}{\omega_0} p + 1}$

## 3.1 Définition et intérêt des système d'ordre 2

### Définition

Un système du deuxième ordre est décrit par l'équation différentielle :

$$\frac{1}{\omega_0^2} \frac{d^2 y(t)}{dt^2} + \frac{2z}{\omega_0} \frac{dy(t)}{dt} + y(t) = Kx(t)$$

sa fonction de transfert est :  $H(p) = \frac{K}{\frac{1}{\omega_0^2} p^2 + \frac{2z}{\omega_0} p + 1}$

### Vocabulaire :

- $\omega_0$  est appelé *pulsation propre* (unité : rad/s)
- $z$  est appelé *coefficient d'amortissement* (sans unité)
- $K$  est appelé *gain statique*, (unité : ça dépend)

## 3.1 Définition et intérêt des système d'ordre 2

### Définition

Un système du deuxième ordre est décrit par l'équation différentielle :

$$\frac{1}{\omega_0^2} \frac{d^2 y(t)}{dt^2} + \frac{2z}{\omega_0} \frac{dy(t)}{dt} + y(t) = Kx(t)$$

sa fonction de transfert est :  $H(p) = \frac{K}{\frac{1}{\omega_0^2} p^2 + \frac{2z}{\omega_0} p + 1}$

### Vocabulaire :

- $\omega_0$  est appelé *pulsation propre* (unité : rad/s)
- $z$  est appelé *coefficient d'amortissement* (sans unité)
- $K$  est appelé *gain statique*, (unité : ça dépend)

### Permet de modéliser un système dont la sortie :

- ... suit l'entrée avec un temps de réponse
- ... oscille éventuellement avant de se stabiliser ( $\neq 1^{\text{er}}$  ordre)
- ... varie peu au début de la réponse ( $\neq 1^{\text{er}}$  ordre)



## 3.2 Réponses temporelles des systèmes d'ordre 2

**Quelle est la sortie  $y(t)$  lorsque :**

- $x(t)$  est une impulsion? (réponse impulsionnelle)
- $x(t)$  est un échelon? (réponse indicielle)
- $x(t)$  est une sinusoïde? (réponse fréquentielle)

## 3.2 Réponses temporelles des systèmes d'ordre 2

**Quelle est la sortie  $y(t)$  lorsque :**

- $x(t)$  est une impulsion? (réponse impulsionnelle)
- $x(t)$  est un échelon? (réponse indicielle)
- $x(t)$  est une sinusoïde? (réponse fréquentielle)

**Méthode :**

Calculs de  $y(t) = \mathcal{L}^{-1} \left( \frac{K}{\frac{1}{\omega_0^2} p^2 + \frac{2z}{\omega_0} p + 1} X(p) \right)$  pour les différentes entrées possibles.

## 3.2 Réponse impulsionnelle d'un système d'ordre 2

- La T.L. de la réponse à  $x(t) = \delta(t)$  est :

$$Y(p) = \frac{K\omega_0^2}{p^2 + 2z\omega_0 p + \omega_0^2} 1 = \frac{K\omega_0^2}{p_1 - p_2} \left( \frac{1}{p - p_1} - \frac{1}{p - p_2} \right)$$

→ le discriminant du dénominateur est :  $\Delta = 4\omega_0^2(z^2 - 1)$

## 3.2 Réponse impulsionnelle d'un système d'ordre 2

- La T.L. de la réponse à  $x(t) = \delta(t)$  est :

$$Y(p) = \frac{K\omega_0^2}{p^2 + 2z\omega_0 p + \omega_0^2} 1 = \frac{K\omega_0^2}{p_1 - p_2} \left( \frac{1}{p - p_1} - \frac{1}{p - p_2} \right)$$

→ le discriminant du dénominateur est :  $\Delta = 4\omega_0^2(z^2 - 1)$

- Trois cas sont à distinguer suivant la valeur de  $z$  :
  - $z > 1 \Rightarrow$  combinaison linéaire d'exponentielles

$$y(t) = \frac{K\omega_0}{2\sqrt{z^2 - 1}} e^{-z\omega_0 t} \left( e^{\omega_0 \sqrt{z^2 - 1} t} - e^{-\omega_0 \sqrt{z^2 - 1} t} \right)$$

## 3.2 Réponse impulsionnelle d'un système d'ordre 2

- La T.L. de la réponse à  $x(t) = \delta(t)$  est :

$$Y(p) = \frac{K\omega_0^2}{p^2 + 2z\omega_0 p + \omega_0^2} 1 = \frac{K\omega_0^2}{p_1 - p_2} \left( \frac{1}{p - p_1} - \frac{1}{p - p_2} \right)$$

→ le discriminant du dénominateur est :  $\Delta = 4\omega_0^2(z^2 - 1)$

- Trois cas sont à distinguer suivant la valeur de  $z$  :
  - $z > 1 \Rightarrow$  combinaison linéaire d'exponentielles

$$y(t) = \frac{K\omega_0}{2\sqrt{z^2 - 1}} e^{-z\omega_0 t} \left( e^{\omega_0 \sqrt{z^2 - 1} t} - e^{-\omega_0 \sqrt{z^2 - 1} t} \right)$$

- $z = 1 \Rightarrow$  exponentielle  $\times t$

$$y(t) = K\omega_0^2 t e^{-\omega_0 t}$$

## 3.2 Réponse impulsionnelle d'un système d'ordre 2

- La T.L. de la réponse à  $x(t) = \delta(t)$  est :

$$Y(p) = \frac{K\omega_0^2}{p^2 + 2z\omega_0 p + \omega_0^2} 1 = \frac{K\omega_0^2}{p_1 - p_2} \left( \frac{1}{p - p_1} - \frac{1}{p - p_2} \right)$$

→ le discriminant du dénominateur est :  $\Delta = 4\omega_0^2(z^2 - 1)$

- Trois cas sont à distinguer suivant la valeur de  $z$  :
  - $z > 1 \Rightarrow$  combinaison linéaire d'exponentielles

$$y(t) = \frac{K\omega_0}{2\sqrt{z^2 - 1}} e^{-z\omega_0 t} \left( e^{\omega_0 \sqrt{z^2 - 1} t} - e^{-\omega_0 \sqrt{z^2 - 1} t} \right)$$

- $z = 1 \Rightarrow$  exponentielle  $\times t$

$$y(t) = K\omega_0^2 t e^{-\omega_0 t}$$

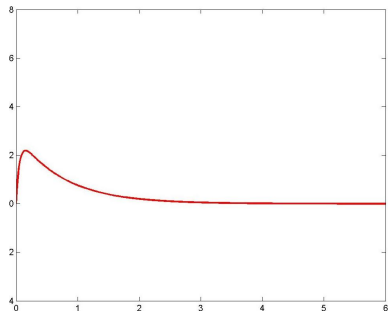
- $z < 1 \Rightarrow$  oscillations amorties

$$y(t) = \frac{K\omega_0}{\sqrt{1 - z^2}} e^{-z\omega_0 t} \sin(\omega_0 \sqrt{1 - z^2} t)$$

## 3.2 Réponse impulsionnelle d'un système d'ordre 2

### Exemples de réponses impulsionnelles d'un système d'ordre 2 :

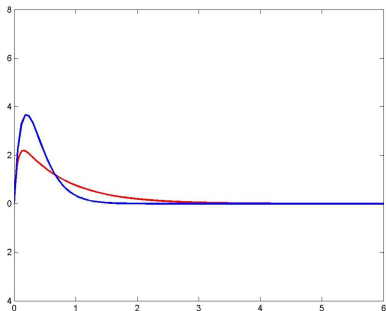
- en rouge :  
 $z = 2$ ,  $K = 2$  et  $\omega_0 = 5$



## 3.2 Réponse impulsionnelle d'un système d'ordre 2

### Exemples de réponses impulsionnelles d'un système d'ordre 2 :

- en rouge :  
 $z = 2, K = 2$  et  $\omega_0 = 5$
- en bleu :  
 $z = 1, K = 2$  et  $\omega_0 = 5$

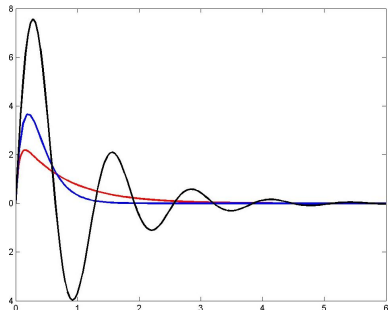




## 3.2 Réponse impulsionnelle d'un système d'ordre 2

### Exemples de réponses impulsionnelles d'un système d'ordre 2 :

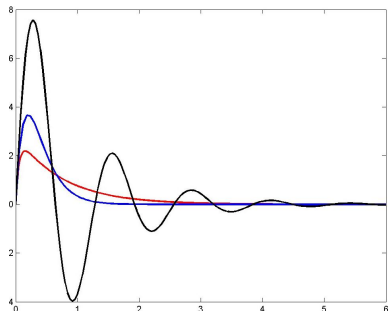
- en rouge :  
 $z = 2, K = 2$  et  $\omega_0 = 5$
- en bleu :  
 $z = 1, K = 2$  et  $\omega_0 = 5$
- en noir :  
 $z = 0.2, K = 2$  et  $\omega_0 = 5$



## 3.2 Réponse impulsionnelle d'un système d'ordre 2

### Exemples de réponses impulsionnelles d'un système d'ordre 2 :

- en rouge :  
 $z = 2, K = 2$  et  $\omega_0 = 5$
- en bleu :  
 $z = 1, K = 2$  et  $\omega_0 = 5$
- en noir :  
 $z = 0.2, K = 2$  et  $\omega_0 = 5$



### À noter

$z$  grand  $\rightarrow$  réponse amortie

## 3.2 Réponse indicielle d'un système d'ordre 2

- La T.L. de la réponse à  $x(t) = \Gamma(t)$  est :

$$Y(p) = \frac{K\omega_0^2}{p^2 + 2z\omega_0 p + \omega_0^2} \frac{1}{p}$$

## 3.2 Réponse indicielle d'un système d'ordre 2

- La T.L. de la réponse à  $x(t) = \Gamma(t)$  est :

$$Y(p) = \frac{K\omega_0^2}{p^2 + 2z\omega_0 p + \omega_0^2} \frac{1}{p}$$

- **Pour  $z > 1 \Rightarrow$  racines réelles simples**

## 3.2 Réponse indicielle d'un système d'ordre 2

- La T.L. de la réponse à  $x(t) = \Gamma(t)$  est :

$$Y(p) = \frac{K\omega_0^2}{p^2 + 2z\omega_0 p + \omega_0^2} \frac{1}{p}$$

- **Pour  $z > 1 \Rightarrow$  racines réelles simples**

- Les 3 racines simples sont :

$$p_0 = 0 \quad , \quad p_1 = -z\omega_0 + \omega_0\sqrt{z^2 - 1} \quad \text{et} \quad p_2 = -z\omega_0 - \omega_0\sqrt{z^2 - 1}$$

## 3.2 Réponse indicielle d'un système d'ordre 2

- La T.L. de la réponse à  $x(t) = \Gamma(t)$  est :

$$Y(p) = \frac{K\omega_0^2}{p^2 + 2z\omega_0 p + \omega_0^2} \frac{1}{p}$$

- **Pour  $z > 1 \Rightarrow$  racines réelles simples**

- Les 3 racines simples sont :

$$p_0 = 0 \quad , \quad p_1 = -z\omega_0 + \omega_0\sqrt{z^2 - 1} \quad \text{et} \quad p_2 = -z\omega_0 - \omega_0\sqrt{z^2 - 1}$$

- La décomposition en éléments simples donne :

$$Y(p) = \frac{K\omega_0^2}{p_1 p_2} \left( \frac{1}{p} + \frac{1}{p_1 - p_2} \left( \frac{p_2}{p - p_1} - \frac{p_1}{p - p_2} \right) \right)$$

## 3.2 Réponse indicielle d'un système d'ordre 2

- La T.L. de la réponse à  $x(t) = \Gamma(t)$  est :

$$Y(p) = \frac{K\omega_0^2}{p^2 + 2z\omega_0 p + \omega_0^2} \frac{1}{p}$$

- **Pour  $z > 1 \Rightarrow$  racines réelles simples**

- Les 3 racines simples sont :

$$p_0 = 0 \quad , \quad p_1 = -z\omega_0 + \omega_0\sqrt{z^2 - 1} \quad \text{et} \quad p_2 = -z\omega_0 - \omega_0\sqrt{z^2 - 1}$$

- La décomposition en éléments simples donne :

$$Y(p) = \frac{K\omega_0^2}{p_1 p_2} \left( \frac{1}{p} + \frac{1}{p_1 - p_2} \left( \frac{p_2}{p - p_1} - \frac{p_1}{p - p_2} \right) \right)$$

- La réponse temporelle est donc :

$$y(t) = K \left( 1 + \frac{e^{-z\omega_0 t}}{2\sqrt{z^2 - 1}} \left( (-z - \sqrt{z^2 - 1})e^{\omega_0\sqrt{z^2 - 1}t} - (\sqrt{z^2 - 1} - z)e^{-\omega_0\sqrt{z^2 - 1}t} \right) \right)$$

## 3.2 Réponse indicielle d'un système d'ordre 2

- La T.L. de la réponse à  $x(t) = \Gamma(t)$  est :

$$Y(p) = \frac{K\omega_0^2}{p^2 + 2z\omega_0 p + \omega_0^2} \frac{1}{p}$$

- **Pour  $z > 1 \Rightarrow$  racines réelles simples**

- Les 3 racines simples sont :

$$p_0 = 0 \quad , \quad p_1 = -z\omega_0 + \omega_0\sqrt{z^2 - 1} \quad \text{et} \quad p_2 = -z\omega_0 - \omega_0\sqrt{z^2 - 1}$$

- La décomposition en éléments simples donne :

$$Y(p) = \frac{K\omega_0^2}{p_1 p_2} \left( \frac{1}{p} + \frac{1}{p_1 - p_2} \left( \frac{p_2}{p - p_1} - \frac{p_1}{p - p_2} \right) \right)$$

- La réponse temporelle est donc :

$$y(t) = K \left( 1 + \frac{e^{-z\omega_0 t}}{2\sqrt{z^2 - 1}} \left( (-z - \sqrt{z^2 - 1})e^{\omega_0\sqrt{z^2 - 1}t} - (\sqrt{z^2 - 1} - z)e^{-\omega_0\sqrt{z^2 - 1}t} \right) \right)$$

- La valeur finale est  $K$  (le gain statique), atteinte par valeurs inférieures



## 3.2 Réponse indicielle d'un système d'ordre 2

- La T.L. de la réponse à  $x(t) = \Gamma(t)$  est :

$$Y(p) = \frac{K\omega_0^2}{p^2 + 2z\omega_0 p + \omega_0^2} \frac{1}{p}$$

- Pour  $z = 1 \Rightarrow$  racine simple en  $p = 0$  et double en  $p = -\omega_0$

## 3.2 Réponse indicielle d'un système d'ordre 2

- La T.L. de la réponse à  $x(t) = \Gamma(t)$  est :

$$Y(p) = \frac{K\omega_0^2}{p^2 + 2z\omega_0 p + \omega_0^2} \frac{1}{p}$$

- Pour  $z = 1 \Rightarrow$  **racine simple en  $p = 0$  et double en  $p = -\omega_0$** 
  - La T.L. de  $y(t)$  est alors :

$$Y(p) = \frac{K\omega_0^2}{p(p + \omega_0)^2}$$

## 3.2 Réponse indicielle d'un système d'ordre 2

- La T.L. de la réponse à  $x(t) = \Gamma(t)$  est :

$$Y(p) = \frac{K\omega_0^2}{p^2 + 2z\omega_0 p + \omega_0^2} \frac{1}{p}$$

- **Pour  $z = 1 \Rightarrow$  racine simple en  $p = 0$  et double en  $p = -\omega_0$** 
  - La T.L. de  $y(t)$  est alors :

$$Y(p) = \frac{K\omega_0^2}{p(p + \omega_0)^2}$$

- La décomposition en éléments simples donne :

$$Y(p) = K \left( \frac{1}{p} - \frac{1}{p + \omega_0} - \frac{\omega_0}{(p + \omega_0)^2} \right)$$

## 3.2 Réponse indicielle d'un système d'ordre 2

- La T.L. de la réponse à  $x(t) = \Gamma(t)$  est :

$$Y(p) = \frac{K\omega_0^2}{p^2 + 2z\omega_0 p + \omega_0^2} \frac{1}{p}$$

- **Pour  $z = 1 \Rightarrow$  racine simple en  $p = 0$  et double en  $p = -\omega_0$** 
  - La T.L. de  $y(t)$  est alors :

$$Y(p) = \frac{K\omega_0^2}{p(p + \omega_0)^2}$$

- La décomposition en éléments simples donne :

$$Y(p) = K \left( \frac{1}{p} - \frac{1}{p + \omega_0} - \frac{\omega_0}{(p + \omega_0)^2} \right)$$

- La réponse temporelle est donc :

$$y(t) = K (1 - (1 + \omega_0 t)e^{-\omega_0 t})$$

## 3.2 Réponse indicielle d'un système d'ordre 2

- La T.L. de la réponse à  $x(t) = \Gamma(t)$  est :

$$Y(p) = \frac{K\omega_0^2}{p^2 + 2z\omega_0 p + \omega_0^2} \frac{1}{p}$$

- **Pour  $z = 1 \Rightarrow$  racine simple en  $p = 0$  et double en  $p = -\omega_0$** 
  - La T.L. de  $y(t)$  est alors :

$$Y(p) = \frac{K\omega_0^2}{p(p + \omega_0)^2}$$

- La décomposition en éléments simples donne :

$$Y(p) = K \left( \frac{1}{p} - \frac{1}{p + \omega_0} - \frac{\omega_0}{(p + \omega_0)^2} \right)$$

- La réponse temporelle est donc :

$$y(t) = K (1 - (1 + \omega_0 t)e^{-\omega_0 t})$$

- La valeur finale est  $K$ , atteinte par valeurs inférieures

## 3.2 Réponse indicielle d'un système d'ordre 2

- La T.L. de la réponse à  $x(t) = \Gamma(t)$  est :

$$Y(p) = \frac{K\omega_0^2}{p^2 + 2z\omega_0 p + \omega_0^2} \frac{1}{p}$$

- Pour  $z < 1 \Rightarrow$  racines complexes conjuguées

## 3.2 Réponse indicielle d'un système d'ordre 2

- La T.L. de la réponse à  $x(t) = \Gamma(t)$  est :

$$Y(p) = \frac{K\omega_0^2}{p^2 + 2z\omega_0 p + \omega_0^2} \frac{1}{p}$$

- **Pour  $z < 1 \Rightarrow$  racines complexes conjuguées**
  - Les 3 racines simples sont :

$$p_0 = 0 \quad , \quad p_1 = -z\omega_0 + j\omega_0\sqrt{1-z^2} \quad \text{et} \quad p_2 = -z\omega_0 - j\omega_0\sqrt{1-z^2}$$

## 3.2 Réponse indicielle d'un système d'ordre 2

- La T.L. de la réponse à  $x(t) = \Gamma(t)$  est :

$$Y(p) = \frac{K\omega_0^2}{p^2 + 2z\omega_0 p + \omega_0^2} \frac{1}{p}$$

- **Pour  $z < 1 \Rightarrow$  racines complexes conjuguées**

- Les 3 racines simples sont :

$$p_0 = 0 \quad , \quad p_1 = -z\omega_0 + j\omega_0\sqrt{1-z^2} \quad \text{et} \quad p_2 = -z\omega_0 - j\omega_0\sqrt{1-z^2}$$

- La décomposition en éléments simples donne :

$$Y(p) = \frac{K\omega_0^2}{p_1 p_2} \left( \frac{1}{p} + \frac{1}{p_1 - p_2} \left( \frac{p_2}{p - p_1} - \frac{p_1}{p - p_2} \right) \right)$$



## 3.2 Réponse indicielle d'un système d'ordre 2

- La T.L. de la réponse à  $x(t) = \Gamma(t)$  est :

$$Y(p) = \frac{K\omega_0^2}{p^2 + 2z\omega_0 p + \omega_0^2} \frac{1}{p}$$

- **Pour  $z < 1 \Rightarrow$  racines complexes conjuguées**

- Les 3 racines simples sont :

$$p_0 = 0 \quad , \quad p_1 = -z\omega_0 + j\omega_0\sqrt{1-z^2} \quad \text{et} \quad p_2 = -z\omega_0 - j\omega_0\sqrt{1-z^2}$$

- La décomposition en éléments simples donne :

$$Y(p) = \frac{K\omega_0^2}{p_1 p_2} \left( \frac{1}{p} + \frac{1}{p_1 - p_2} \left( \frac{p_2}{p - p_1} - \frac{p_1}{p - p_2} \right) \right)$$

- La réponse temporelle est donc :

$$y(t) = K \left( 1 - \frac{e^{-z\omega_0 t}}{\sqrt{1-z^2}} \sin(\omega_0 \sqrt{1-z^2} t + \phi) \right), \quad \text{pour } \phi = \text{Atan} \left( \frac{\sqrt{1-z^2}}{z} \right)$$

## 3.2 Réponse indicielle d'un système d'ordre 2

- La T.L. de la réponse à  $x(t) = \Gamma(t)$  est :

$$Y(p) = \frac{K\omega_0^2}{p^2 + 2z\omega_0 p + \omega_0^2} \frac{1}{p}$$

- **Pour  $z < 1 \Rightarrow$  racines complexes conjuguées**

- Les 3 racines simples sont :

$$p_0 = 0 \quad , \quad p_1 = -z\omega_0 + j\omega_0\sqrt{1-z^2} \quad \text{et} \quad p_2 = -z\omega_0 - j\omega_0\sqrt{1-z^2}$$

- La décomposition en éléments simples donne :

$$Y(p) = \frac{K\omega_0^2}{p_1 p_2} \left( \frac{1}{p} + \frac{1}{p_1 - p_2} \left( \frac{p_2}{p - p_1} - \frac{p_1}{p - p_2} \right) \right)$$

- La réponse temporelle est donc :

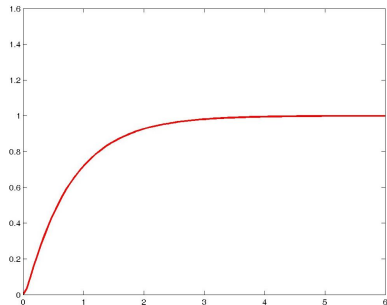
$$y(t) = K \left( 1 - \frac{e^{-z\omega_0 t}}{\sqrt{1-z^2}} \sin(\omega_0 \sqrt{1-z^2} t + \phi) \right), \quad \text{pour } \phi = \text{Atan} \left( \frac{\sqrt{1-z^2}}{z} \right)$$

- La valeur finale est  $K$ , atteinte après des oscillations amorties

## 3.2 Réponse indicielle d'un système d'ordre 2

### Exemples de réponses indicielles d'un système d'ordre 2 :

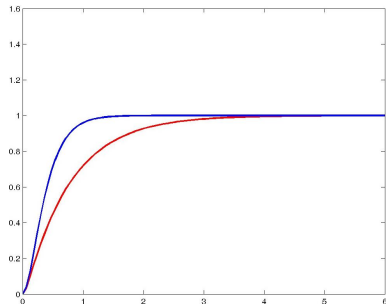
- en rouge :  
 $z = 2$ ,  $K = 1$  et  $\omega_0 = 5$  rad/s



## 3.2 Réponse indicielle d'un système d'ordre 2

### Exemples de réponses indicielles d'un système d'ordre 2 :

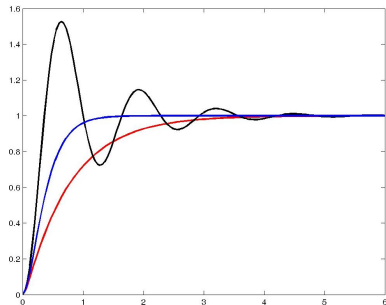
- en rouge :  
 $z = 2, K = 1$  et  $\omega_0 = 5$  rad/s
- en bleu :  
 $z = 1, K = 1$  et  $\omega_0 = 5$  rad/s



## 3.2 Réponse indicielle d'un système d'ordre 2

### Exemples de réponses indicielles d'un système d'ordre 2 :

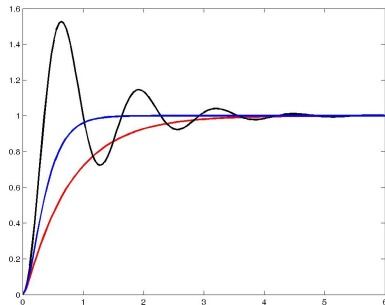
- en rouge :  
 $z = 2, K = 1$  et  $\omega_0 = 5$  rad/s
- en bleu :  
 $z = 1, K = 1$  et  $\omega_0 = 5$  rad/s
- en noir :  
 $z = 0.2, K = 1$  et  $\omega_0 = 5$  rad/s



## 3.2 Réponse indicielle d'un système d'ordre 2

### Exemples de réponses indicielles d'un système d'ordre 2 :

- en rouge :  
 $z = 2, K = 1$  et  $\omega_0 = 5$  rad/s
- en bleu :  
 $z = 1, K = 1$  et  $\omega_0 = 5$  rad/s
- en noir :  
 $z = 0.2, K = 1$  et  $\omega_0 = 5$  rad/s



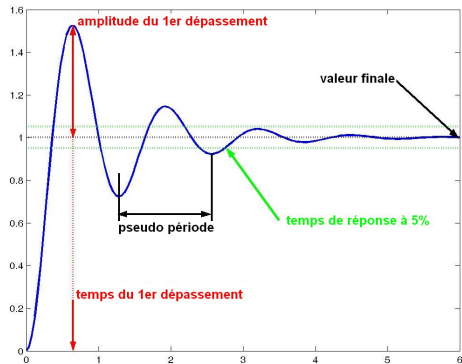
### À noter

$z$  grand  $\rightarrow$  réponse amortie

## 3.2 Réponse indicielle d'un système d'ordre 2

Quelques données à retenir pour  $z < 1$  :

- valeur finale pour  $x(t) = \Gamma(t)$  :  
$$\lim_{t \rightarrow \infty} y(t) = K$$



$K = 1$ ,  $z = 0.2$  et  $\omega_0 = 5$  rad/s

## 3.2 Réponse indicielle d'un système d'ordre 2

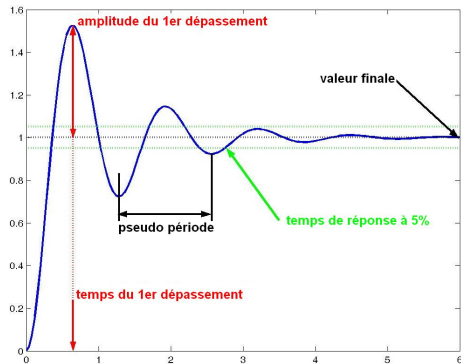
Quelques données à retenir pour  $z < 1$  :

- valeur finale pour  $x(t) = \Gamma(t)$  :

$$\lim_{t \rightarrow \infty} y(t) = K$$

- pseudo-période :

$$T_n = \frac{2\pi}{\omega_0 \sqrt{1-z^2}}$$



$K = 1$ ,  $z = 0.2$  et  $\omega_0 = 5$  rad/s



## 3.2 Réponse indicielle d'un système d'ordre 2

Quelques données à retenir pour  $z < 1$  :

- valeur finale pour  $x(t) = \Gamma(t)$  :

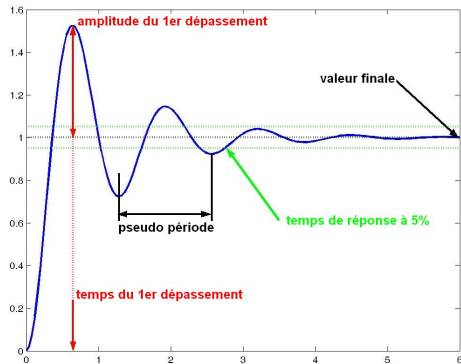
$$\lim_{t \rightarrow \infty} y(t) = K$$

- pseudo-période :

$$T_n = \frac{2\pi}{\omega_0 \sqrt{1-z^2}}$$

- temps de réponse à  $x\%$  :

$$t_{x\%} = \frac{\ln\left(\frac{100}{x\sqrt{1-z^2}}\right)}{z\omega_0}$$



$K = 1$ ,  $z = 0.2$  et  $\omega_0 = 5$  rad/s

## 3.2 Réponse indicielle d'un système d'ordre 2

Quelques données à retenir pour  $z < 1$  :

- valeur finale pour  $x(t) = \Gamma(t)$  :

$$\lim_{t \rightarrow \infty} y(t) = K$$

- pseudo-période :

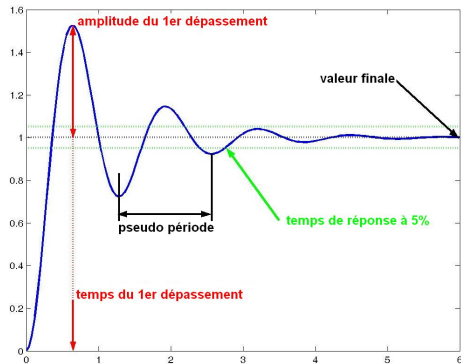
$$T_n = \frac{2\pi}{\omega_0 \sqrt{1-z^2}}$$

- temps de réponse à  $x\%$  :

$$t_{x\%} = \frac{\ln\left(\frac{100}{x\sqrt{1-z^2}}\right)}{z\omega_0}$$

- temps de réponse à 5% :

$$t_{5\%} \approx \frac{3}{z\omega_0}$$



$K = 1$ ,  $z = 0.2$  et  $\omega_0 = 5$  rad/s

## 3.2 Réponse indicielle d'un système d'ordre 2

Quelques données à retenir pour  $z < 1$  :

- valeur finale pour  $x(t) = \Gamma(t)$  :

$$\lim_{t \rightarrow \infty} y(t) = K$$

- pseudo-période :

$$T_n = \frac{2\pi}{\omega_0 \sqrt{1-z^2}}$$

- temps de réponse à  $x\%$  :

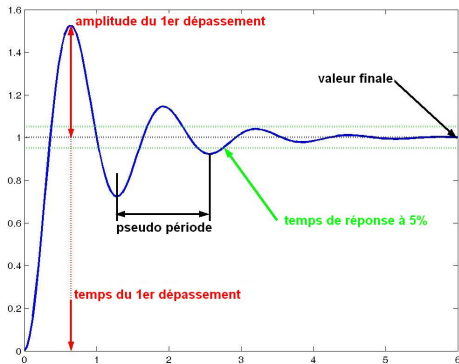
$$t_{x\%} = \frac{\ln\left(\frac{100}{x\sqrt{1-z^2}}\right)}{z\omega_0}$$

- temps de réponse à 5% :

$$t_{5\%} \approx \frac{3}{z\omega_0}$$

- amplitude du 1<sup>er</sup> dépassement :

$$X_p = Ke^{-\frac{\pi z}{\sqrt{1-z^2}}}$$



$K = 1$ ,  $z = 0.2$  et  $\omega_0 = 5$  rad/s

## 3.2 Réponse indicielle d'un système d'ordre 2

Quelques données à retenir pour  $z < 1$  :

- valeur finale pour  $x(t) = \Gamma(t)$  :

$$\lim_{t \rightarrow \infty} y(t) = K$$

- pseudo-période :

$$T_n = \frac{2\pi}{\omega_0 \sqrt{1-z^2}}$$

- temps de réponse à  $x\%$  :

$$t_{x\%} = \frac{\ln\left(\frac{100}{x\sqrt{1-z^2}}\right)}{z\omega_0}$$

- temps de réponse à 5% :

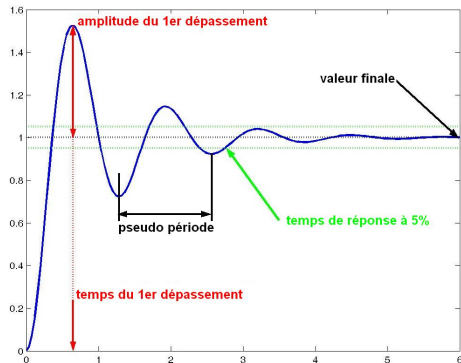
$$t_{5\%} \approx \frac{3}{z\omega_0}$$

- amplitude du 1<sup>er</sup> dépassement :

$$X_p = Ke^{-\frac{\pi z}{\sqrt{1-z^2}}}$$

- instant du 1<sup>er</sup> dépassement :

$$t_p = \frac{\pi}{\omega_0 \sqrt{1-z^2}}$$



$K = 1$ ,  $z = 0.2$  et  $\omega_0 = 5$  rad/s

## 3.3 Réponse fréquentielle d'un système (d'ordre 2)

- Réponse de  $H(p)$  à  $X(p)$  :  $Y(p) = H(p)X(p)$
- En temporel : produit de convolution  $y(t) = h(t) * x(t)$  défini par :

$$y(t) = \int_0^{\infty} h(\tau)x(t - \tau)d\tau$$

### 3.3 Réponse fréquentielle d'un système (d'ordre 2)

- Réponse de  $H(p)$  à  $X(p)$  :  $Y(p) = H(p)X(p)$
- En temporel : produit de convolution  $y(t) = h(t) * x(t)$  défini par :

$$y(t) = \int_0^{\infty} h(\tau)x(t - \tau)d\tau$$

- Dans le cas  $x(t) = \sin(\omega t)$  il vient :

$$y(t) = \int_0^{\infty} h(\tau) \left( \frac{e^{i\omega(t-\tau)} - e^{-i\omega(t-\tau)}}{2i} \right) d\tau$$

## 3.3 Réponse fréquentielle d'un système (d'ordre 2)

- Réponse de  $H(p)$  à  $X(p)$  :  $Y(p) = H(p)X(p)$
- En temporel : produit de convolution  $y(t) = h(t) * x(t)$  défini par :

$$y(t) = \int_0^{\infty} h(\tau)x(t - \tau)d\tau$$

- Dans le cas  $x(t) = \sin(\omega t)$  il vient :

$$\begin{aligned}y(t) &= \int_0^{\infty} h(\tau) \left( \frac{e^{i\omega(t-\tau)} - e^{-i\omega(t-\tau)}}{2i} \right) d\tau \\ &= \left( \frac{e^{i\omega t}}{2i} \right) \left( \int_0^{\infty} h(\tau)e^{-i\omega\tau} d\tau \right) - \left( \frac{e^{-i\omega t}}{2i} \right) \left( \int_0^{\infty} h(\tau)e^{i\omega\tau} d\tau \right)\end{aligned}$$

### 3.3 Réponse fréquentielle d'un système (d'ordre 2)

- Réponse de  $H(p)$  à  $X(p)$  :  $Y(p) = H(p)X(p)$
- En temporel : produit de convolution  $y(t) = h(t) * x(t)$  défini par :

$$y(t) = \int_0^{\infty} h(\tau)x(t - \tau)d\tau$$

- Dans le cas  $x(t) = \sin(\omega t)$  il vient :

$$\begin{aligned}y(t) &= \int_0^{\infty} h(\tau) \left( \frac{e^{i\omega(t-\tau)} - e^{-i\omega(t-\tau)}}{2i} \right) d\tau \\ &= \left( \frac{e^{i\omega t}}{2i} \right) \underbrace{\left( \int_0^{\infty} h(\tau)e^{-i\omega\tau} d\tau \right)}_{H(p=i\omega)} - \left( \frac{e^{-i\omega t}}{2i} \right) \underbrace{\left( \int_0^{\infty} h(\tau)e^{i\omega\tau} d\tau \right)}_{H(p=-i\omega)=\overline{H(p=i\omega)}}\end{aligned}$$



### 3.3 Réponse fréquentielle d'un système (d'ordre 2)

- Réponse de  $H(p)$  à  $X(p)$  :  $Y(p) = H(p)X(p)$
- En temporel : produit de convolution  $y(t) = h(t) * x(t)$  défini par :

$$y(t) = \int_0^{\infty} h(\tau)x(t - \tau)d\tau$$

- Dans le cas  $x(t) = \sin(\omega t)$  il vient :

$$\begin{aligned}y(t) &= \int_0^{\infty} h(\tau) \left( \frac{e^{i\omega(t-\tau)} - e^{-i\omega(t-\tau)}}{2i} \right) d\tau \\ &= \left( \frac{e^{i\omega t}}{2i} \right) \underbrace{\left( \int_0^{\infty} h(\tau)e^{-i\omega\tau} d\tau \right)}_{H(p=i\omega)} - \left( \frac{e^{-i\omega t}}{2i} \right) \underbrace{\left( \int_0^{\infty} h(\tau)e^{i\omega\tau} d\tau \right)}_{H(p=-i\omega)=\overline{H(p=i\omega)}}\end{aligned}$$

- En posant  $|H(i\omega)| = G(\omega)$  et  $\text{Arg}(H(i\omega)) = \phi(\omega)$ , on a :

$$y(t) = \left( \frac{e^{i\omega t}}{2i} \right) G(\omega)e^{i\phi(\omega)} - \left( \frac{e^{-i\omega t}}{2i} \right) G(\omega)e^{-i\phi(\omega)}$$

### 3.3 Réponse fréquentielle d'un système (d'ordre 2)

- Réponse de  $H(p)$  à  $X(p)$  :  $Y(p) = H(p)X(p)$
- En temporel : produit de convolution  $y(t) = h(t) * x(t)$  défini par :

$$y(t) = \int_0^{\infty} h(\tau)x(t - \tau)d\tau$$

- Dans le cas  $x(t) = \sin(\omega t)$  il vient :

$$\begin{aligned}y(t) &= \int_0^{\infty} h(\tau) \left( \frac{e^{i\omega(t-\tau)} - e^{-i\omega(t-\tau)}}{2i} \right) d\tau \\ &= \left( \frac{e^{i\omega t}}{2i} \right) \underbrace{\left( \int_0^{\infty} h(\tau)e^{-i\omega\tau} d\tau \right)}_{H(p=i\omega)} - \left( \frac{e^{-i\omega t}}{2i} \right) \underbrace{\left( \int_0^{\infty} h(\tau)e^{i\omega\tau} d\tau \right)}_{H(p=-i\omega)=\overline{H(p=i\omega)}}\end{aligned}$$

- En posant  $|H(i\omega)| = G(\omega)$  et  $\text{Arg}(H(i\omega)) = \phi(\omega)$ , on a :

$$y(t) = \left( \frac{e^{i\omega t}}{2i} \right) G(\omega)e^{i\phi(\omega)} - \left( \frac{e^{-i\omega t}}{2i} \right) G(\omega)e^{-i\phi(\omega)}$$

- Finalement, **sans hypothèse sur l'ordre de  $H(p)$** , on a :

$$\boxed{y(t) = G(\omega)\sin(\omega t + \phi(\omega))}$$

## 3.3 Réponse fréquentielle d'un système d'ordre 2

La réponse d'un système linéaire à  $x(t) = \sin(\omega t)$  est :

$$y(t) = |H(j\omega)| \sin(\omega t + \text{Arg}(H(j\omega)))$$

## 3.3 Réponse fréquentielle d'un système d'ordre 2

La réponse d'un système linéaire à  $x(t) = \sin(\omega t)$  est :

$$y(t) = |H(j\omega)| \sin(\omega t + \text{Arg}(H(j\omega)))$$

- la sortie oscille à la même fréquence que l'entrée :  $\omega$

## 3.3 Réponse fréquentielle d'un système d'ordre 2

La réponse d'un système linéaire à  $x(t) = \sin(\omega t)$  est :

$$y(t) = |H(j\omega)| \sin(\omega t + \text{Arg}(H(j\omega)))$$

- la sortie oscille à la même fréquence que l'entrée :  $\omega$
- le signal d'entrée est amplifié de  $G(\omega) = |H(j\omega)|$

## 3.3 Réponse fréquentielle d'un système d'ordre 2

La réponse d'un système linéaire à  $x(t) = \sin(\omega t)$  est :

$$y(t) = |H(j\omega)| \sin(\omega t + \text{Arg}(H(j\omega)))$$

- la sortie oscille à la même fréquence que l'entrée :  $\omega$
- le signal d'entrée est amplifié de  $G(\omega) = |H(j\omega)|$
- le signal d'entrée est déphasé de  $\phi(\omega) = \text{Arg}(H(j\omega))$

## 3.3 Réponse fréquentielle d'un système d'ordre 2

La réponse d'un système linéaire à  $x(t) = \sin(\omega t)$  est :

$$y(t) = |H(j\omega)| \sin(\omega t + \text{Arg}(H(j\omega)))$$

- la sortie oscille à la même fréquence que l'entrée :  $\omega$
- le signal d'entrée est amplifié de  $G(\omega) = |H(j\omega)|$
- le signal d'entrée est déphasé de  $\phi(\omega) = \text{Arg}(H(j\omega))$

La réponse d'un système d'ordre 2 à  $x(t) = \sin(\omega t)$  est :

$$y(t) = G(\omega) \sin(\omega t + \phi(\omega))$$

avec :  $G(\omega) = \frac{K}{\sqrt{\left(1 - \frac{\omega^2}{\omega_0^2}\right)^2 + \left(2z \frac{\omega}{\omega_0}\right)^2}}$  et  $\phi(\omega) = -\text{Atan}\left(\frac{2z \frac{\omega}{\omega_0}}{1 - \left(\frac{\omega}{\omega_0}\right)^2}\right)$

## 3.3 Réponse fréquentielle d'un système d'ordre 2

On considère le système du deuxième ordre défini par :

$$K = 1 \quad , \quad z = 0.3 \quad \text{et} \quad \omega_0 = 10 \text{ rad/s}$$

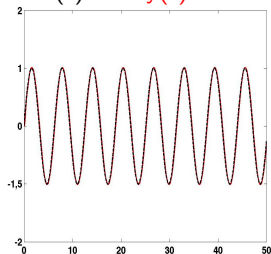
autrement dit :

$$H(p) = \frac{1}{0.01p^2 + 0.06p + 1}$$

**Influence de la pulsation du signal d'entrée sur la réponse :**

- pour  $\omega = 1 \text{ rad/s}$

- -  $x(t)$  et  $-y(t)$



- gain unitaire

- pas de déphasage



## 3.3 Réponse fréquentielle d'un système d'ordre 2

On considère le système du deuxième ordre défini par :

$$K = 1 \quad , \quad z = 0.3 \quad \text{et} \quad \omega_0 = 10 \text{ rad/s}$$

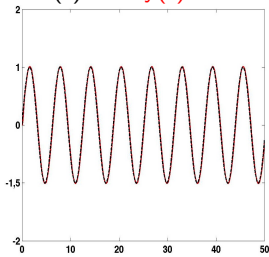
autrement dit :

$$H(p) = \frac{1}{0.01p^2 + 0.06p + 1}$$

**Influence de la pulsation du signal d'entrée sur la réponse :**

- pour  $\omega = 1 \text{ rad/s}$

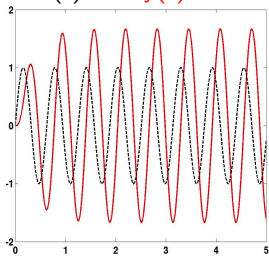
- -  $x(t)$  et  $-y(t)$



- gain unitaire
- pas de déphasage

- pour  $\omega = 10 \text{ rad/s}$

- -  $x(t)$  et  $-y(t)$



- amplification
- déphasage faible

## 3.3 Réponse fréquentielle d'un système d'ordre 2

On considère le système du deuxième ordre défini par :

$$K = 1 \quad , \quad z = 0.3 \quad \text{et} \quad \omega_0 = 10 \text{ rad/s}$$

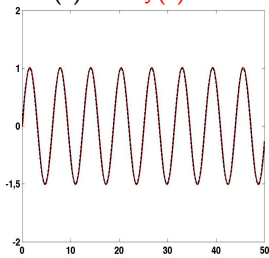
autrement dit :

$$H(p) = \frac{1}{0.01p^2 + 0.06p + 1}$$

**Influence de la pulsation du signal d'entrée sur la réponse :**

- pour  $\omega = 1 \text{ rad/s}$

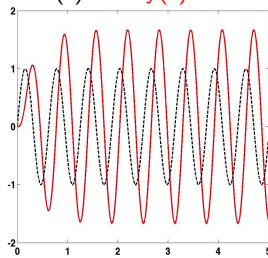
- -  $x(t)$  et  $-y(t)$



- gain unitaire
- pas de déphasage

- pour  $\omega = 10 \text{ rad/s}$

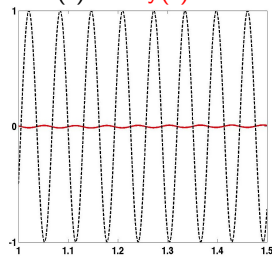
- -  $x(t)$  et  $-y(t)$



- amplification
- déphasage faible

- pour  $\omega = 100 \text{ rad/s}$

- -  $x(t)$  et  $-y(t)$



- atténuation
- déphasage fort

## 3.3 Diagramme de Bode d'un système d'ordre 2

**diagramme de Bode :**

- gain en dB :  $G_{dB}(\omega) = 20\log(K) - 10\log\left(\left(1 - \frac{\omega^2}{\omega_0^2}\right)^2 + \left(2z\frac{\omega}{\omega_0}\right)^2\right)$
- déphasage :  $\phi(\omega) = -A \tan\left(\frac{2z\frac{\omega}{\omega_0}}{1 - \left(\frac{\omega}{\omega_0}\right)^2}\right)$

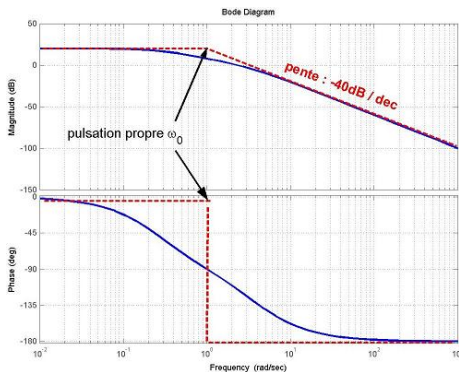
**Tracé asymptotique**

## 3.3 Diagramme de Bode d'un système d'ordre 2

diagramme de Bode :

- gain en dB :  $G_{dB}(\omega) = 20\log(K) - 10\log\left(\left(1 - \frac{\omega^2}{\omega_0^2}\right)^2 + \left(2z\frac{\omega}{\omega_0}\right)^2\right)$
- déphasage :  $\phi(\omega) = -A\text{atan}\left(\frac{2z\frac{\omega}{\omega_0}}{1 - \left(\frac{\omega}{\omega_0}\right)^2}\right)$

Tracé asymptotique



## 3.3 Diagramme de Bode d'un système d'ordre 2

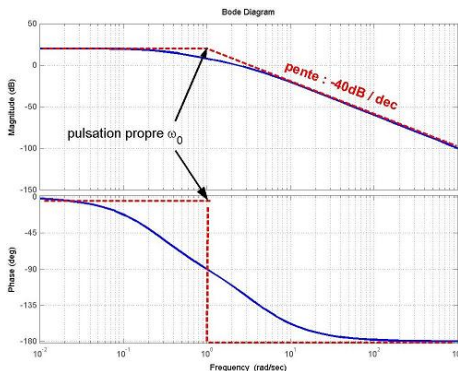
diagramme de Bode :

- gain en dB :  $G_{dB}(\omega) = 20\log(K) - 10\log\left(\left(1 - \frac{\omega^2}{\omega_0^2}\right)^2 + \left(2z\frac{\omega}{\omega_0}\right)^2\right)$
- déphasage :  $\phi(\omega) = -A\text{atan}\left(\frac{2z\frac{\omega}{\omega_0}}{1 - \left(\frac{\omega}{\omega_0}\right)^2}\right)$

Tracé asymptotique

- Basses fréquences :  $H(j\omega) \approx K$

$$\Rightarrow \begin{cases} G_{dB}(\omega) \approx 20\log(K) \\ \phi(\omega) \approx 0^\circ \end{cases}$$



## 3.3 Diagramme de Bode d'un système d'ordre 2

diagramme de Bode :

- gain en dB :  $G_{dB}(\omega) = 20\log(K) - 10\log\left(\left(1 - \frac{\omega^2}{\omega_0^2}\right)^2 + \left(2z\frac{\omega}{\omega_0}\right)^2\right)$
- déphasage :  $\phi(\omega) = -A\text{atan}\left(\frac{2z\frac{\omega}{\omega_0}}{1 - \left(\frac{\omega}{\omega_0}\right)^2}\right)$

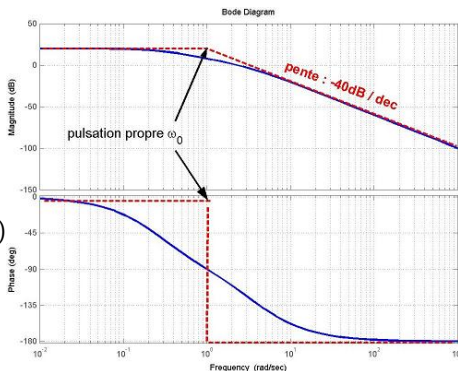
Tracé asymptotique

- Basses fréquences :  $H(j\omega) \approx K$

$$\Rightarrow \begin{cases} G_{dB}(\omega) \approx 20\log(K) \\ \phi(\omega) \approx 0^\circ \end{cases}$$

- Hautes fréquences :  $H(j\omega) \approx \frac{K\omega_0^2}{-\omega^2}$

$$\Rightarrow \begin{cases} G_{dB}(\omega) \approx 20\log(K\omega_0^2) - 40\log(\omega) \\ \phi(\omega) \approx -180^\circ \end{cases}$$



## 3.3 Diagramme de Bode d'un système d'ordre 2

diagramme de Bode :

- gain en dB :  $G_{dB}(\omega) = 20\log(K) - 10\log\left(\left(1 - \frac{\omega^2}{\omega_0^2}\right)^2 + \left(2z\frac{\omega}{\omega_0}\right)^2\right)$
- déphasage :  $\phi(\omega) = -A\text{atan}\left(\frac{2z\frac{\omega}{\omega_0}}{1 - \left(\frac{\omega}{\omega_0}\right)^2}\right)$

Tracé asymptotique

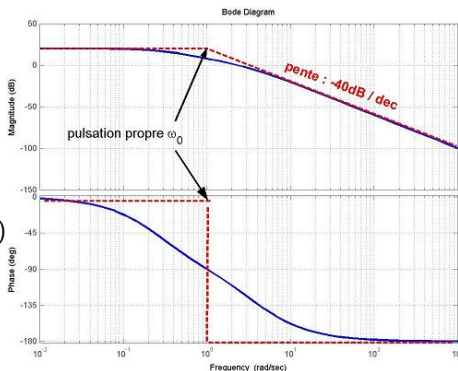
- Basses fréquences :  $H(j\omega) \approx K$

$$\Rightarrow \begin{cases} G_{dB}(\omega) \approx 20\log(K) \\ \phi(\omega) \approx 0^\circ \end{cases}$$

- Hautes fréquences :  $H(j\omega) \approx \frac{K\omega_0^2}{-\omega^2}$

$$\Rightarrow \begin{cases} G_{dB}(\omega) \approx 20\log(K\omega_0^2) - 40\log(\omega) \\ \phi(\omega) \approx -180^\circ \end{cases}$$

- Intersection en  $\omega = \omega_0$



## 3.3 Diagramme de Bode d'un système d'ordre 2

diagramme de Bode :

- gain en dB :  $G_{dB}(\omega) = 20\log(K) - 10\log\left(\left(1 - \frac{\omega^2}{\omega_0^2}\right)^2 + \left(2z\frac{\omega}{\omega_0}\right)^2\right)$
- déphasage :  $\phi(\omega) = -A\text{atan}\left(\frac{2z\frac{\omega}{\omega_0}}{1 - \left(\frac{\omega}{\omega_0}\right)^2}\right)$

Tracé asymptotique

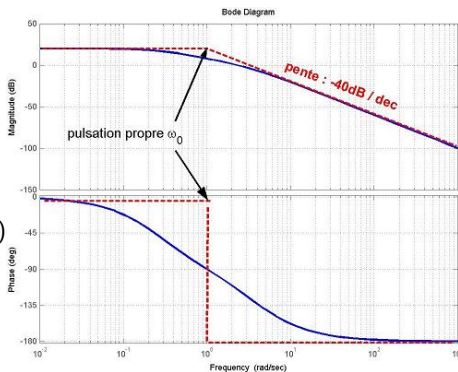
- Basses fréquences :  $H(j\omega) \approx K$

$$\Rightarrow \begin{cases} G_{dB}(\omega) \approx 20\log(K) \\ \phi(\omega) \approx 0^\circ \end{cases}$$

- Hautes fréquences :  $H(j\omega) \approx \frac{K\omega_0^2}{-\omega^2}$

$$\Rightarrow \begin{cases} G_{dB}(\omega) \approx 20\log(K\omega_0^2) - 40\log(\omega) \\ \phi(\omega) \approx -180^\circ \end{cases}$$

- Intersection en  $\omega = \omega_0$
- Exemple :  $H(p) = 10/(p^2 + 4p + 1)$

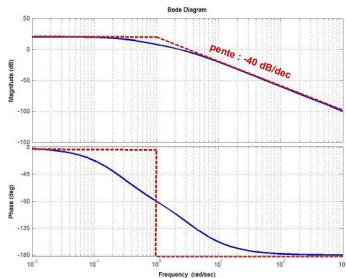




## 3.3 Diagramme de Bode d'un système d'ordre 2

### Phénomène de résonance

- si  $z > \frac{1}{\sqrt{2}}$ 
  - le gain décroît pour tout  $\omega$
  - exemple :  $z = 2$ ,  $K = 10$  et  $\omega_0 = 1$  rad/s



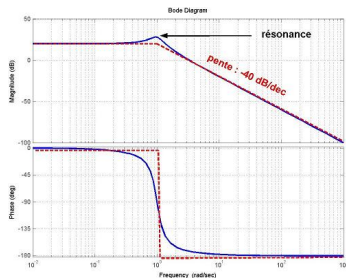
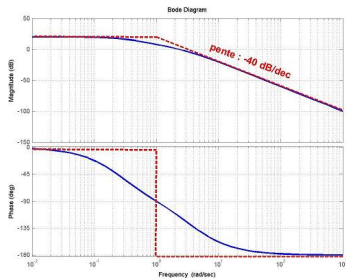
# 3.3 Diagramme de Bode d'un système d'ordre 2

## Phénomène de résonance

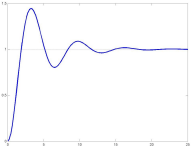
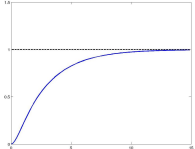
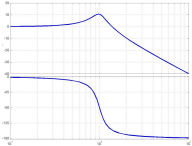
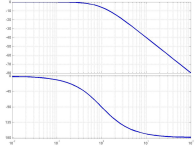
- si  $z > \frac{1}{\sqrt{2}}$ 
  - le gain décroît pour tout  $\omega$
  - exemple :  $z = 2$ ,  $K = 10$  et  $\omega_0 = 1$  rad/s
- si  $z < \frac{1}{\sqrt{2}}$ 
  - le gain présente un maximum ou **résonance**
  - le maximum est atteint en  $\omega_r$ , la **pulsation de résonance**

$$\omega_r = \omega_0 \sqrt{1 - 2z^2}$$

- exemple :  $z = 0.2$ ,  $K = 10$  et  $\omega_0 = 1$  rad/s



## 3.4 Pour résumer ...

$z$	$z < 1/\sqrt{2}$	$1/\sqrt{2} < z < 1$	$z > 1$
temporel	oscillant 		amorti 
fréquentiel	résonance 	gain monotone décroissant 	

## 4.1 Systèmes d'ordre supérieur à 2

On considère un système décrit par :  $Y(p) = H(p)X(p)$  où :

$$H(p) = \frac{b_0 + b_1p + b_2p^2 + \dots + b_m p^m}{a_0 + a_1p + a_2p^2 + \dots + a_n p^n}$$

ou :

$$a_n y^{(n)}(t) + \dots + a_1 y^{(1)}(t) + a_0 y(t) = b_m x^{(m)}(t) + \dots + b_1 x^{(1)}(t) + b_0 x(t)$$

## 4.1 Systèmes d'ordre supérieur à 2

On considère un système décrit par :  $Y(p) = H(p)X(p)$  où :

$$H(p) = \frac{b_0 + b_1p + b_2p^2 + \dots + b_m p^m}{a_0 + a_1p + a_2p^2 + \dots + a_n p^n}$$

ou :

$$a_n y^{(n)}(t) + \dots + a_1 y^{(1)}(t) + a_0 y(t) = b_m x^{(m)}(t) + \dots + b_1 x^{(1)}(t) + b_0 x(t)$$

### Détermination de la réponse temporelle

- résolution de l'équation différentielle
- convolution :  $y(t) = \int_0^t h(t - \tau)x(\tau)d\tau$
- par transformée de Laplace et décomposition en éléments simples

## 4.1 Systèmes d'ordre supérieur à 2

On considère un système décrit par :  $Y(p) = H(p)X(p)$  où :

$$H(p) = \frac{b_0 + b_1p + b_2p^2 + \dots + b_m p^m}{a_0 + a_1p + a_2p^2 + \dots + a_n p^n}$$

ou :

$$a_n y^{(n)}(t) + \dots + a_1 y^{(1)}(t) + a_0 y(t) = b_m x^{(m)}(t) + \dots + b_1 x^{(1)}(t) + b_0 x(t)$$

### Détermination de la réponse temporelle

- résolution de l'équation différentielle
- convolution :  $y(t) = \int_0^t h(t - \tau)x(\tau)d\tau$
- par transformée de Laplace et décomposition en éléments simples

### Détermination du comportement fréquentiel

- tracé du diagramme de Bode

## 4.3 Diagramme de Bode d'un système d'ordre quelconque

On peut factoriser  $H(p)$  par ses pôles/zéros :

$$H(p) = \frac{b_0 + b_1p + b_2p^2 + \dots + b_m p^m}{a_0 + a_1p + a_2p^2 + \dots + a_n p^n} = K_0 p^\alpha \frac{\prod_{k=1}^{\tilde{m}} (T_{zk}p + 1)}{\prod_{k=1}^{\tilde{n}} (T_{pk}p + 1)}$$

## 4.3 Diagramme de Bode d'un système d'ordre quelconque

On peut factoriser  $H(p)$  par ses pôles/zéros :

$$H(p) = \frac{b_0 + b_1p + b_2p^2 + \dots + b_m p^m}{a_0 + a_1p + a_2p^2 + \dots + a_n p^n} = K_0 p^\alpha \frac{\prod_{k=1}^{\tilde{m}} (T_{zk}p + 1)}{\prod_{k=1}^{\tilde{n}} (T_{pk}p + 1)}$$

**Le terme  $K_0$**

- gain constant  $\rightarrow G_{dB}(\omega) = 20 \log(K_0)$
- phase constante  $\rightarrow \varphi(\omega) = 0$



## 4.3 Diagramme de Bode d'un système d'ordre quelconque

On peut factoriser  $H(p)$  par ses pôles/zéros :

$$H(p) = \frac{b_0 + b_1p + b_2p^2 + \dots + b_m p^m}{a_0 + a_1p + a_2p^2 + \dots + a_n p^n} = K_0 p^\alpha \frac{\prod_{k=1}^{\tilde{m}} (T_{zk}p + 1)}{\prod_{k=1}^{\tilde{n}} (T_{pk}p + 1)}$$

**Le terme  $K_0$**

- gain constant  $\rightarrow G_{dB}(\omega) = 20 \log(K_0)$
- phase constante  $\rightarrow \varphi(\omega) = 0$

**Le terme  $p^\alpha$**

- gain de pente constante  $\rightarrow \frac{dG_{dB}(\omega)}{d\omega} = 20\alpha$  dB/dec
- phase constante  $\rightarrow \varphi(\omega) = 90\alpha^\circ$

## 4.3 Diagramme de Bode d'un système d'ordre quelconque

On peut factoriser  $H(p)$  par ses pôles/zéros :

$$H(p) = \frac{b_0 + b_1 p + b_2 p^2 + \dots + b_m p^m}{a_0 + a_1 p + a_2 p^2 + \dots + a_n p^n} = K_0 p^\alpha \frac{\prod_{k=1}^{\tilde{m}} (T_{zk} p + 1)}{\prod_{k=1}^{\tilde{n}} (\mathbf{T}_{pk} \mathbf{p} + \mathbf{1})}$$

**Le terme  $K_0$**

- gain constant  $\rightarrow G_{dB}(\omega) = 20 \log(K_0)$
- phase constante  $\rightarrow \varphi(\omega) = 0$

**Le terme  $p^\alpha$**

- gain de pente constante  $\rightarrow \frac{dG_{dB}(\omega)}{d\omega} = 20\alpha$  dB/dec
- phase constante  $\rightarrow \varphi(\omega) = 90\alpha^\circ$

**Chaque terme  $\frac{1}{T_{pk} p + 1}$  provoque, en  $\omega = 1/T_{pk}$  :**

- gain : une variation de la pente de  $-20$  dB/dec
- phase : une variation de la valeur de  $-90^\circ$

## 4.3 Diagramme de Bode d'un système d'ordre quelconque

On peut factoriser  $H(p)$  par ses pôles/zéros :

$$H(p) = \frac{b_0 + b_1p + b_2p^2 + \dots + b_m p^m}{a_0 + a_1p + a_2p^2 + \dots + a_n p^n} = K_0 p^\alpha \frac{\prod_{k=1}^{\tilde{m}} (\mathbf{T}_{zk}p + 1)}{\prod_{k=1}^{\tilde{n}} (T_{pk}p + 1)}$$

**Le terme  $K_0$**

- gain constant  $\rightarrow G_{dB}(\omega) = 20 \log(K_0)$
- phase constante  $\rightarrow \varphi(\omega) = 0$

**Le terme  $p^\alpha$**

- gain de pente constante  $\rightarrow \frac{dG_{dB}(\omega)}{d\omega} = 20\alpha$  dB/dec
- phase constante  $\rightarrow \varphi(\omega) = 90\alpha^\circ$

**Chaque terme  $\frac{1}{T_{pk}p+1}$  provoque, en  $\omega = 1/T_{pk}$  :**

- gain : une variation de la pente de  $-20$  dB/dec
- phase : une variation de la valeur de  $-90^\circ$

**Chaque terme  $T_{zk}p + 1$  provoque, en  $\omega = 1/T_{zk}$  :**

- gain : une variation de la pente de  $+20$  dB/dec
- phase : une variation de la valeur de  $+90^\circ$

## 4.3 Exemple de diagramme de Bode d'un système d'ordre supérieur à 2

- On considère le système :

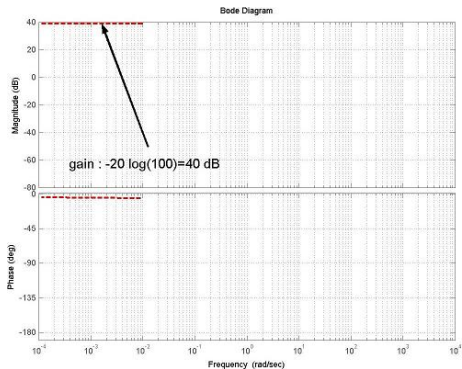
$$H(p) = \frac{100(p+1)^2}{(100p+1)(10p+1)(0.01p+1)}$$

## 4.3 Exemple de diagramme de Bode d'un système d'ordre supérieur à 2

- On considère le système :

$$H(p) = \frac{100(p + 1)^2}{(100p + 1)(10p + 1)(0.01p + 1)}$$

- gain statique  $K = 100$

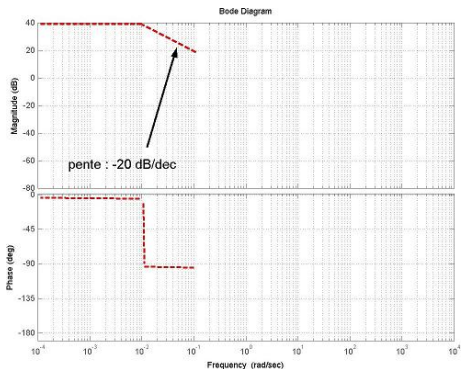


## 4.3 Exemple de diagramme de Bode d'un système d'ordre supérieur à 2

- On considère le système :

$$H(p) = \frac{100(p + 1)^2}{(100p + 1)(10p + 1)(0.01p + 1)}$$

- gain statique  $K = 100$
- rupture ↘ en  $\omega = 0.01$

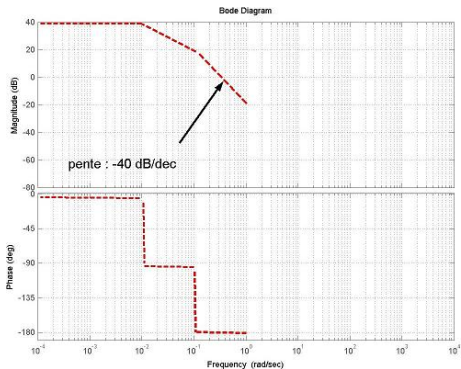


## 4.3 Exemple de diagramme de Bode d'un système d'ordre supérieur à 2

- On considère le système :

$$H(p) = \frac{100(p + 1)^2}{(100p + 1)(10p + 1)(0.01p + 1)}$$

- gain statique  $K = 100$
- rupture ↘ en  $\omega = 0.01$
- rupture ↘ en  $\omega = 0.1$

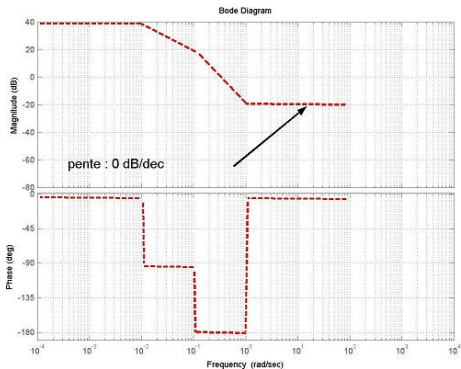


## 4.3 Exemple de diagramme de Bode d'un système d'ordre supérieur à 2

- On considère le système :

$$H(p) = \frac{100(p + 1)^2}{(100p + 1)(10p + 1)(0.01p + 1)}$$

- gain statique  $K = 100$
- rupture ↘ en  $\omega = 0.01$
- rupture ↘ en  $\omega = 0.1$
- double rupture ↗ en  $\omega = 1$



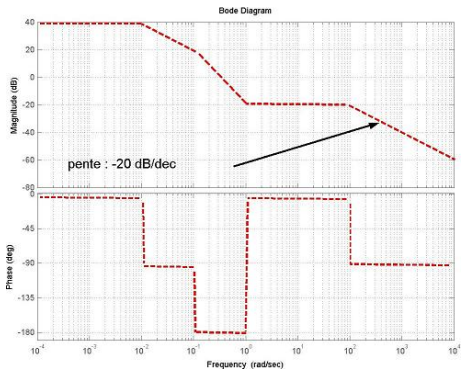


## 4.3 Exemple de diagramme de Bode d'un système d'ordre supérieur à 2

- On considère le système :

$$H(p) = \frac{100(p + 1)^2}{(100p + 1)(10p + 1)(0.01p + 1)}$$

- gain statique  $K = 100$
- rupture ↘ en  $\omega = 0.01$
- rupture ↘ en  $\omega = 0.1$
- double rupture ↗ en  $\omega = 1$
- rupture ↘ en  $\omega = 100$

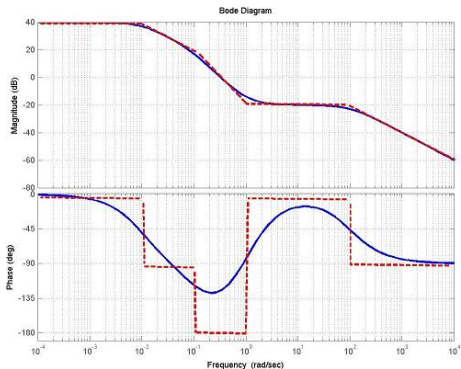


## 4.3 Exemple de diagramme de Bode d'un système d'ordre supérieur à 2

- On considère le système :

$$H(p) = \frac{100(p + 1)^2}{(100p + 1)(10p + 1)(0.01p + 1)}$$

- gain statique  $K = 100$
- rupture ↘ en  $\omega = 0.01$
- rupture ↘ en  $\omega = 0.1$
- double rupture ↗ en  $\omega = 1$
- rupture ↘ en  $\omega = 100$



## 4.3 Exemple de diagramme de Bode d'un système d'ordre supérieur à 2

- On considère le système :

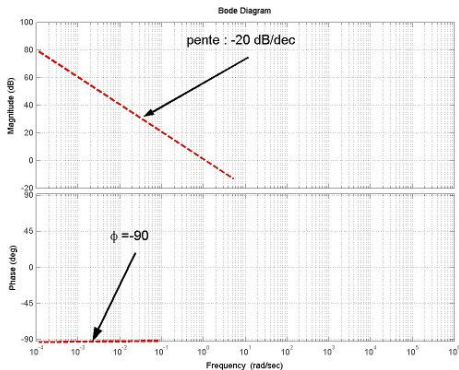
$$H(p) = \frac{(10p + 1)(0.1p + 1)}{p(0.001p + 1)^2}$$

## 4.3 Exemple de diagramme de Bode d'un système d'ordre supérieur à 2

- On considère le système :

$$H(p) = \frac{(10p + 1)(0.1p + 1)}{p(0.001p + 1)^2}$$

- intégrateur  $\frac{1}{p}$

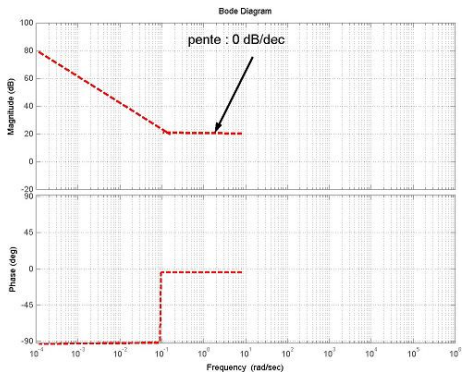


## 4.3 Exemple de diagramme de Bode d'un système d'ordre supérieur à 2

- On considère le système :

$$H(p) = \frac{(10p + 1)(0.1p + 1)}{p(0.001p + 1)^2}$$

- intégrateur  $\frac{1}{p}$
- rupture ↗ en  $\omega = 0.1$

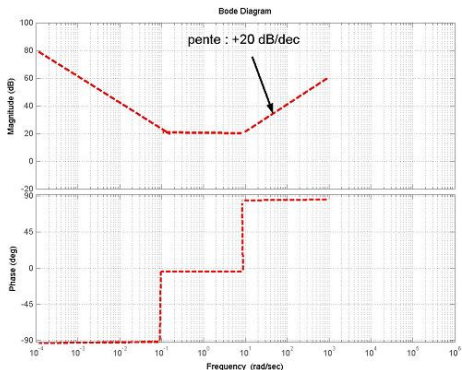


## 4.3 Exemple de diagramme de Bode d'un système d'ordre supérieur à 2

- On considère le système :

$$H(p) = \frac{(10p + 1)(0.1p + 1)}{p(0.001p + 1)^2}$$

- intégrateur  $\frac{1}{p}$
- rupture ↗ en  $\omega = 0.1$
- rupture ↗ en  $\omega = 10$

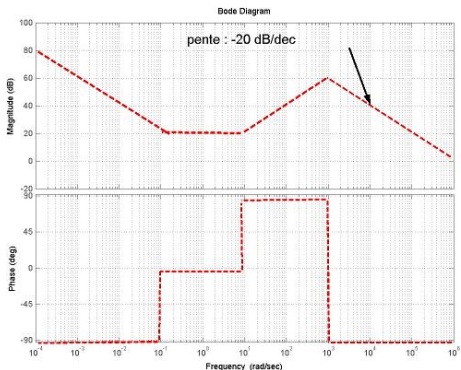


## 4.3 Exemple de diagramme de Bode d'un système d'ordre supérieur à 2

- On considère le système :

$$H(p) = \frac{(10p + 1)(0.1p + 1)}{p(0.001p + 1)^2}$$

- intégrateur  $\frac{1}{p}$
- rupture ↗ en  $\omega = 0.1$
- rupture ↗ en  $\omega = 10$
- double rupture ↘ en  $\omega = 1000$

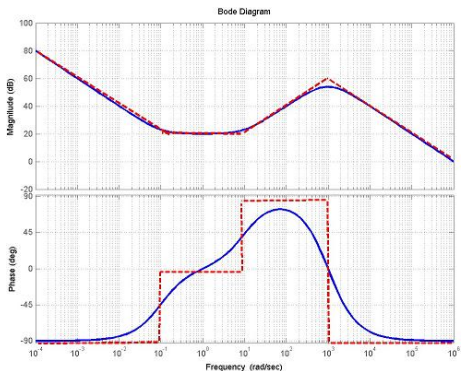


## 4.3 Exemple de diagramme de Bode d'un système d'ordre supérieur à 2

- On considère le système :

$$H(p) = \frac{(10p + 1)(0.1p + 1)}{p(0.001p + 1)^2}$$

- intégrateur  $\frac{1}{p}$
- rupture ↗ en  $\omega = 0.1$
- rupture ↗ en  $\omega = 10$
- double rupture ↘ en  $\omega = 1000$





## 5.1 Introduction

- **Analyse** : étant donné la fonction de transfert, quel est le comportement ?

## 5.1 Introduction

- **Analyse** : étant donné la fonction de transfert, quel est le comportement ?
- **Filtrage** : étant donné un comportement souhaité, quelle est la fonction de transfert ?

## 5.1 Introduction

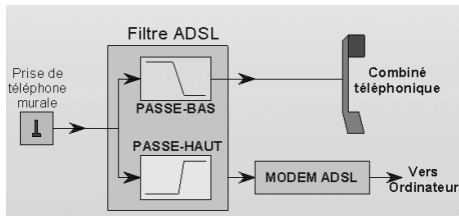
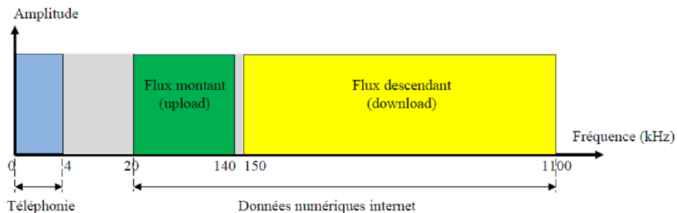
- **Analyse** : étant donné la fonction de transfert, quel est le comportement ?
- **Filtrage** : étant donné un comportement souhaité, quelle est la fonction de transfert ?
- **Principe** : trouver un filtre  $H_f(p)$ , qui transmet l'information pour un intervalle de fréquences et coupe le reste :

$$G_f(\omega) = |H_f(j\omega)| = \begin{cases} 1 & \text{pour } \omega \in [\omega_{min} \ \omega_{max}] \\ 0 & \text{sinon} \end{cases}$$

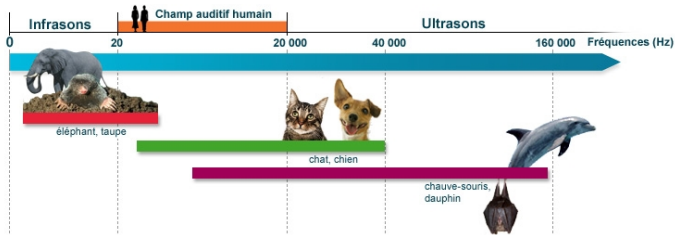
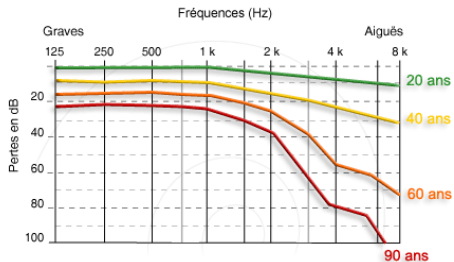
$$\phi_f(\omega) = \text{Arg}(H_f(j\omega)) = 0$$

→ pour un passe-bas prendre  $H_f(p) = \frac{1}{(\frac{p}{\omega_c} + 1)^n}$

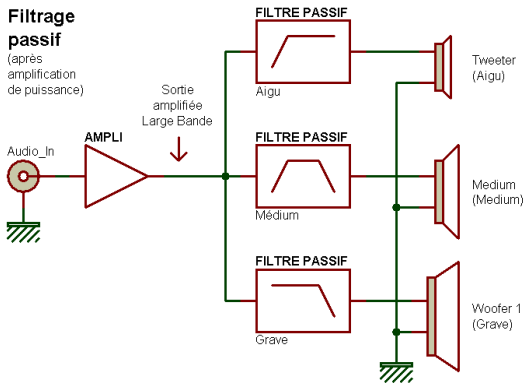
# 5.1 Quelques exemples : une \*\*\*\*\*box



# 5.1 Quelques exemples : une oreille



# 5.1 Quelques exemples : une enceinte



## 5.2 Filtres parfaits

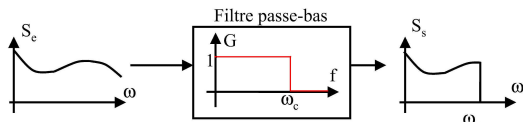
**Objectif** : laisser passer une partie du contenu fréquentiel du signal d'entrée

## 5.2 Filtres parfaits

**Objectif** : laisser passer une partie du contenu fréquentiel du signal d'entrée

- **Passe-bas idéal** :

- transmet l'information ( $G(\omega) \approx 1$ ) pour  $\omega < \omega_c$
- coupe l'information ( $G(\omega) \approx 0$ ) pour  $\omega > \omega_c$



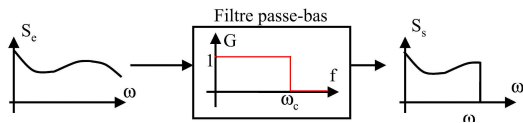


## 5.2 Filtres parfaits

**Objectif :** laisser passer une partie du contenu fréquentiel du signal d'entrée

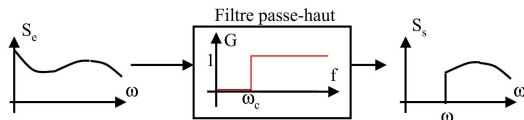
- **Passé-bas idéal :**

- transmet l'information ( $G(\omega) \approx 1$ ) pour  $\omega < \omega_c$
- coupe l'information ( $G(\omega) \approx 0$ ) pour  $\omega > \omega_c$



- **Passé-haut idéal :**

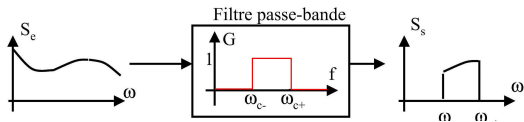
- transmet l'information ( $G(\omega) \approx 1$ ) pour  $\omega > \omega_c$
- coupe l'information ( $G(\omega) \approx 0$ ) pour  $\omega < \omega_c$



## 5.2 Filtres parfaits

- **Passe-bande idéal :**

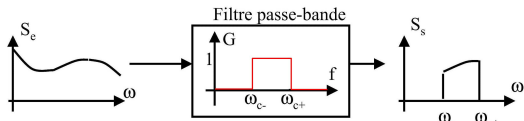
- transmet l'information ( $G(\omega) \approx 1$ ) pour  $\omega_{c-} < \omega < \omega_{c+}$
- coupe l'information ( $G(\omega) \approx 0$ ) sinon



## 5.2 Filtres parfaits

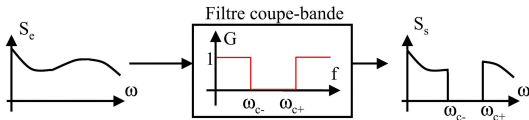
### • Passe-bande idéal :

- transmet l'information ( $G(\omega) \approx 1$ ) pour  $\omega_{c-} < \omega < \omega_{c+}$
- coupe l'information ( $G(\omega) \approx 0$ ) sinon



### • Coupe-bande idéal :

- coupe l'information ( $G(\omega) \approx 0$ ) pour  $\omega_{c-} < \omega < \omega_{c+}$
- transmet l'information ( $G(\omega) \approx 1$ ) sinon



- **Un filtre idéal est non causal :**

impossible de réaliser un gain discontinu, et de dérivées discontinues

→ par exemple :  $\mathcal{L}^{-1}(H_{P-Bas}(p)) = \frac{\sin(\omega_c t)}{\pi t}$

- **Un filtre idéal est non causal :**

impossible de réaliser un gain discontinu, et de dérivées discontinues

→ par exemple :  $\mathcal{L}^{-1}(H_{P-Bas}(p)) = \frac{\sin(\omega_c t)}{\pi t}$

### Phénomène de Gibbs

Un filtre idéal n'est pas réalisable

- **Un filtre idéal est non causal :**

impossible de réaliser un gain discontinu, et de dérivées discontinues

→ par exemple :  $\mathcal{L}^{-1}(H_{P-Bas}(p)) = \frac{\sin(\omega_c t)}{\pi t}$

### Phénomène de Gibbs

Un filtre idéal n'est pas réalisable

- on approche un filtre idéal par un filtre **réalisable** dont ...
  - le gain en bande passante n'est pas unitaire
  - le gain en bande coupée n'est pas nul
  - la transition entre bandes coupée et passante n'est pas discontinue
  - le déphasage n'est pas nul

- **Un filtre idéal est non causal :**

impossible de réaliser un gain discontinu, et de dérivées discontinues

→ par exemple :  $\mathcal{L}^{-1}(H_{P-Bas}(p)) = \frac{\sin(\omega_c t)}{\pi t}$

### Phénomène de Gibbs

Un filtre idéal n'est pas réalisable

- on approche un filtre idéal par un filtre **réalisable** dont ...
  - le gain en bande passante n'est pas unitaire
  - le gain en bande coupée n'est pas nul
  - la transition entre bandes coupée et passante n'est pas discontinue
  - le déphasage n'est pas nul

→ On définit alors des **gabarits**

## 5.3 Gabarits fréquentiels

- **On définit des gabarits par :**
  - une amplification minimale en bande passante  $-A_p$  en dB (avec  $A_p > 0$ )
  - une amplification maximale en bande coupée  $-A_a$  en dB (avec  $A_a > 0$ )
  - un (ou deux) intervalle de  $\omega$  dans lequel s'effectue la transition



## 5.3 Gabarits fréquentiels

- **On définit des gabarits par :**

- une amplification minimale en bande passante  $-A_p$  en dB (avec  $A_p > 0$ )
- une amplification maximale en bande coupée  $-A_a$  en dB (avec  $A_a > 0$ )
- un (ou deux) intervalle de  $\omega$  dans lequel s'effectue la transition

- Le but est alors de synthétiser un filtre ...

- stable (réponse bornée à une entrée bornée)
- causal (réalisable)
- dont la fonction de transfert *rentre* dans le gabarit

## 5.3 Gabarits fréquentiels

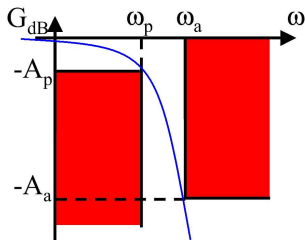
- **Gabarit d'un passe-bas**

- Bande passante :  $\omega \leq \omega_p$

$$G_{dB}(\omega) \geq -A_p$$

- Bande atténuée :  $\omega_a \leq \omega$

$$G_{dB}(\omega) \leq -A_a$$



## 5.3 Gabarits fréquentiels

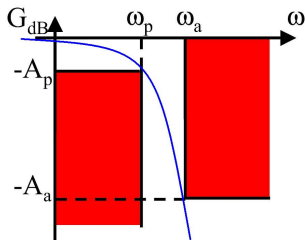
- **Gabarit d'un passe-bas**

- Bande passante :  $\omega \leq \omega_p$

$$G_{dB}(\omega) \geq -A_p$$

- Bande atténuée :  $\omega_a \leq \omega$

$$G_{dB}(\omega) \leq -A_a$$



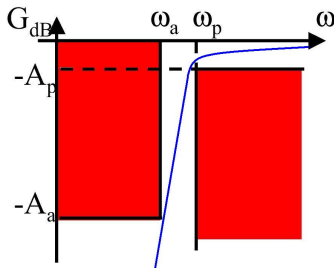
- **Gabarit d'un passe-haut**

- Bande passante :  $\omega_p \leq \omega$

$$G_{dB}(\omega) \geq -A_p$$

- Bande atténuée :  $\omega \leq \omega_a$

$$G_{dB}(\omega) \leq -A_a$$



## 5.3 Gabarits fréquentiels

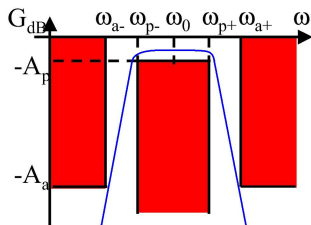
- **Gabarit d'un passe-bande**

- Bande passante :  $\omega_{p-} \leq \omega \leq \omega_{p+}$

$$G_{dB}(\omega) \geq -A_p$$

- Bandes atténuées :  $\omega \leq \omega_{a-}$  ou  $\omega_{a+} \leq \omega$

$$G_{dB}(\omega) \leq -A_a$$



## 5.3 Gabarits fréquentiels

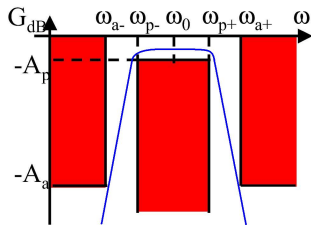
- **Gabarit d'un passe-bande**

- Bande passante :  $\omega_{p-} \leq \omega \leq \omega_{p+}$

$$G_{dB}(\omega) \geq -A_p$$

- Bandes atténuées :  $\omega \leq \omega_{a-}$  ou  $\omega_{a+} \leq \omega$

$$G_{dB}(\omega) \leq -A_a$$



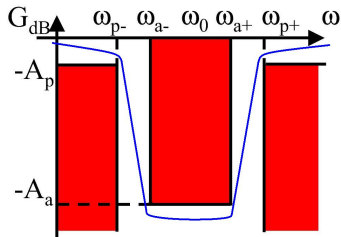
- **gabarit d'un coupe-bande**

- Bandes passantes :  $\omega \leq \omega_{p-}$  ou  $\omega_{p+} \leq \omega$

$$G_{dB}(\omega) \geq -A_p$$

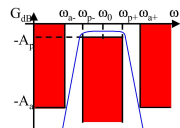
- Bande atténuée :  $\omega_{a-} \leq \omega \leq \omega_{a+}$

$$G_{dB}(\omega) \leq -A_a$$



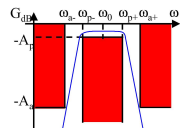
## 5.3 Résumé de la synthèse de filtres

spécifications fréquentielles (gabarit)



## 5.3 Résumé de la synthèse de filtres

spécifications fréquentielles (gabarit)



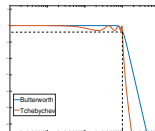
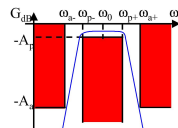
+  
choix du filtre (Butterworth/Tchebychev/...)

## 5.3 Résumé de la synthèse de filtres

spécifications fréquentielles (gabarit)

choix du filtre (Butterworth/Tchebychev/...)

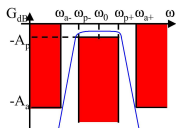
filtre passe-bas NE (calculs de  $n$ ,  $\varepsilon$ , polynôme)





## 5.3 Résumé de la synthèse de filtres

**spécifications fréquentielles (gabarit)**



**choix du filtre (Butterworth/Tchebychev/...)**

+

↓

**filtre passe-bas NE (calculs de  $n$ ,  $\varepsilon$ , polynôme)**

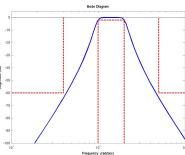
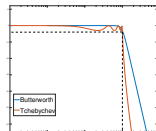
↓

**dénormalisation (changement de variable)**

**FPBNE  $\Rightarrow$  filtre p-bas ou p-haut ou p-bande ou c-bande**

↓

**fonction de transfert respectant le gabarit :  $H(p)$**



## 5.4 Filtrés passe-bas normalisés équivalent (FPBNE)

**Dans un premier temps on cherche un passe-bas**

- On suppose que  $\omega_p = 1$  (**normalisé**)  
→ si ce n'est pas le cas : faire  $\omega \leftarrow \omega/\omega_p$

## 5.4 Filtres passe-bas normalisés équivalent (FPBNE)

### Dans un premier temps on cherche un passe-bas

- On suppose que  $\omega_p = 1$  (**normalisé**)  
→ si ce n'est pas le cas : faire  $\omega \leftarrow \omega/\omega_p$
- On veut un filtre **stable**  
→ les pôles doivent être à partie réelle négative

## 5.4 Filtres passe-bas normalisés équivalent (FPBNE)

### Dans un premier temps on cherche un passe-bas

- On suppose que  $\omega_p = 1$  (**normalisé**)  
→ si ce n'est pas le cas : faire  $\omega \leftarrow \omega/\omega_p$
- On veut un filtre **stable**  
→ les pôles doivent être à partie réelle négative
- On veut un filtre **causal**  
→ il faut :  $\deg(\text{numérateur}) \leq \deg(\text{dénominateur})$

## 5.4 Filtres passe-bas normalisés équivalent (FPBNE)

### Dans un premier temps on cherche un passe-bas

- On suppose que  $\omega_p = 1$  (**normalisé**)  
→ si ce n'est pas le cas : faire  $\omega \leftarrow \omega/\omega_p$
- On veut un filtre **stable**  
→ les pôles doivent être à partie réelle négative
- On veut un filtre **causal**  
→ il faut :  $\deg(\text{numérateur}) \leq \deg(\text{dénominateur})$
- On cherche une F.T. qui respecte le gabarit, de la forme :

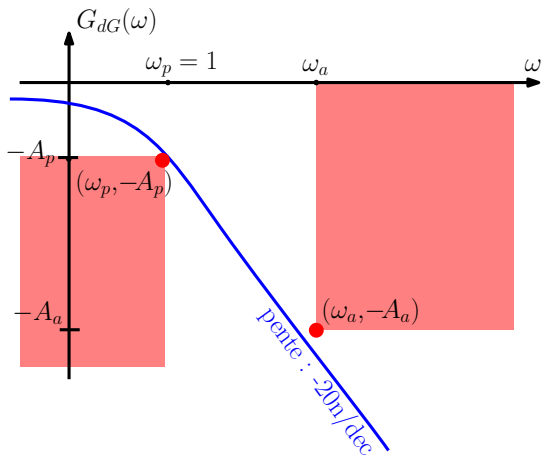
$$|H(j\omega)|^2 = \frac{1}{1 + \varepsilon^2 K_n(\omega^2)}$$

avec  $K_n(\omega^2)$  un polynôme d'ordre  $n$  t.q. :

$$\begin{cases} K_n(0) = 0 \\ K_n(1) = 1 \end{cases}$$

## 5.4 Filtrés passe-bas normalisés équivalent (FPBNE)

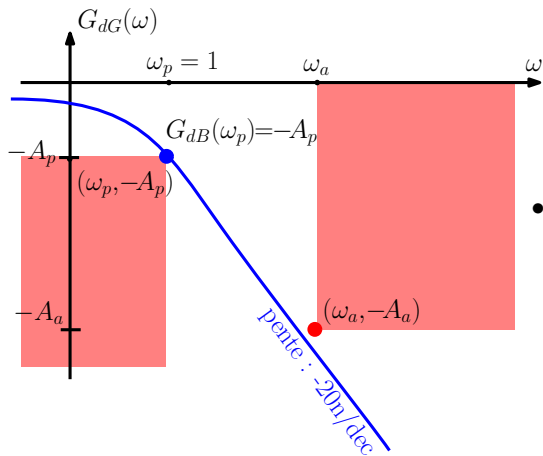
Réglage des paramètres  $\varepsilon$  et  $n$  pour le respect du gabarit



$$|H(j\omega)|^2 = \frac{1}{1 + \varepsilon^2 K_n(\omega^2)}$$

## 5.4 Filtrés passe-bas normalisés équivalent (FPBNE)

Réglage des paramètres  $\varepsilon$  et  $n$  pour le respect du gabarit

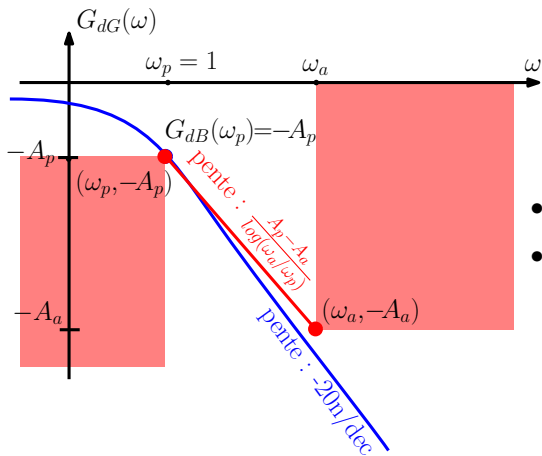


$$|H(j\omega)|^2 = \frac{1}{1 + \varepsilon^2 K_n(\omega^2)}$$

• choix de  $\varepsilon \Rightarrow G_{dB}(\omega_p) = -A_p$

## 5.4 Filtrés passe-bas normalisés équivalent (FPBNE)

Réglage des paramètres  $\varepsilon$  et  $n$  pour le respect du gabarit



$$|H(j\omega)|^2 = \frac{1}{1 + \varepsilon^2 K_n(\omega^2)}$$

- choix de  $\varepsilon \Rightarrow G_{dB}(\omega_p) = -A_p$
- choix de  $n \Rightarrow$  pente suffisante



## 5.4 Filtres passe-bas normalisés équivalent (FPBNE)

- **Le facteur de forme  $\varepsilon$**  permet de respecter le gabarit en B.F.  
En  $\omega = \omega_p$ , il faut  $G_{db}(\omega_p) = -A_p$ , donc :

$$20 \log \left( \frac{1}{\sqrt{1 + \varepsilon^2 K_n(1)}} \right) = -A_p$$

$$\boxed{\varepsilon = \sqrt{10^{\frac{A_p}{10}} - 1}}$$

→ exemple : pour  $A_p = 3$  dB on a  $\varepsilon \sim 1$

## 5.4 Filtres passe-bas normalisés équivalent (FPBNE)

- **Le facteur de forme**  $\varepsilon$  permet de respecter le gabarit en B.F.  
En  $\omega = \omega_p$ , il faut  $G_{db}(\omega_p) = -A_p$ , donc :

$$20 \log \left( \frac{1}{\sqrt{1 + \varepsilon^2 K_n(1)}} \right) = -A_p$$

$$\boxed{\varepsilon = \sqrt{10^{\frac{A_p}{10}} - 1}}$$

→ exemple : pour  $A_p = 3$  dB on a  $\varepsilon \sim 1$

- **L'ordre du filtre**  $n$  permet de respecter le gabarit en H.F.

$$-20n \leq \frac{-A_a + A_p}{\log(\omega_a) - \log(\omega_p)}$$

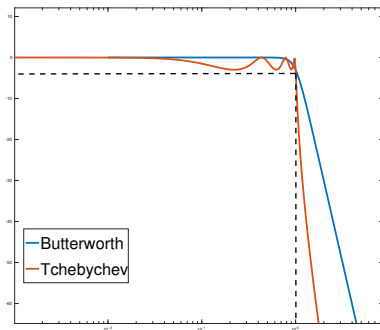
$$\boxed{n \geq \left( \frac{1}{20} \right) \frac{A_a - A_p}{\log(\omega_a) - \log(\omega_p)}}$$

## 5.4 Filtres passe-bas normalisés équivalent (FPBNE)

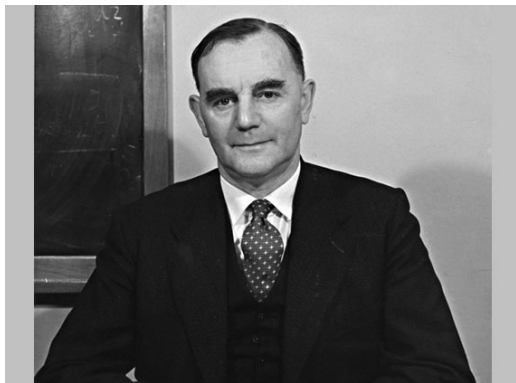
- $(\omega_p, A_p)$  fixe  $\varepsilon$
- $(\omega_p, A_p)$  et  $(\omega_a, A_a)$  fixent  $n$

## 5.4 Filtres passe-bas normalisés équivalent (FPBNE)

- $(\omega_p, A_p)$  fixe  $\varepsilon$
- $(\omega_p, A_p)$  et  $(\omega_a, A_a)$  fixent  $n$
- Reste à déterminer le polynôme  $K_n(\omega)$  pour satisfaire le gabarit
  - polynômes de **Butterworth** pour avoir un gain plat en B.F.
  - polynômes de **Tchebychev** pour limiter l'ordre du filtre
  - ...



## 5.4 Polynômes approximateurs et filtres de Butterworth



Stephen ... (1885 - 1958)

## 5.4 Polynômes approximateurs et filtres de Butterworth

- **Principe :**

- on cherche la F.T. la plus plate en B.F.
- donc il faut annuler les dérivées de  $K_n(\omega^2)$  à l'origine
- donc :  $K_n(\omega^2) = (\omega^2)^n = \omega^{2n}$

### Filtres de Butterworth

Les filtres de Butterworth sont définis par :

$$G(\omega) = |H(j\omega)| = \frac{1}{\sqrt{1 + \varepsilon^2 \omega^{2n}}}$$

Les pôles de  $H(p)$  sont les racines à parties réelles négatives de :

$$1 + (-1)^n \varepsilon^2 p^{2n} = 0$$

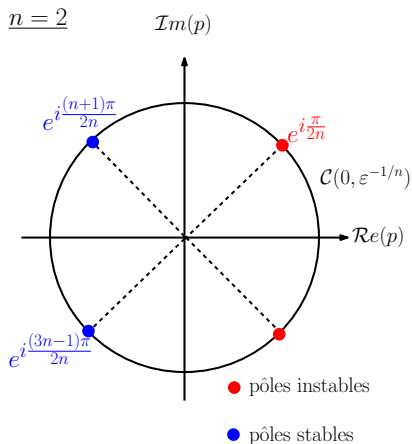
## 5.4 Filtres de Butterworth

### Pour un ordre $n$ pair

- Les pôles sont donnés par :

$$z^{2n} = -\varepsilon^{-2}$$

$$\Rightarrow z_k = \varepsilon^{-1/n} e^{i \frac{\pi(1+2k)}{2n}}$$



## 5.4 Filtres de Butterworth

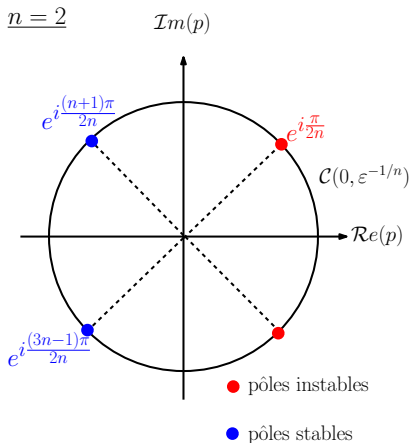
### Pour un ordre $n$ pair

- Les pôles sont donnés par :

$$z^{2n} = -\varepsilon^{-2}$$

$$\Rightarrow z_k = \varepsilon^{-1/n} e^{i \frac{\pi(1+2k)}{2n}}$$

- Stabilité  $\rightarrow k = \frac{n}{2}, \dots, \frac{3n-2}{2}$





## 5.4 Filtres de Butterworth

### Pour un ordre $n$ pair

- Les pôles sont donnés par :

$$z^{2n} = -\varepsilon^{-2}$$

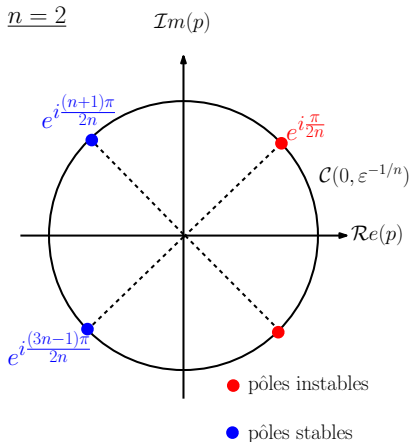
$$\Rightarrow z_k = \varepsilon^{-1/n} e^{i \frac{\pi(1+2k)}{2n}}$$

- Stabilité  $\rightarrow k = \frac{n}{2}, \dots, \frac{3n-2}{2}$
- Exemple : pour  $n = 2$  et  $\varepsilon = 1$

$$\rightarrow z_1 = e^{i \frac{3\pi}{4}} = -\frac{\sqrt{2}}{2} + i \frac{\sqrt{2}}{2}$$

$$\rightarrow z_2 = e^{i \frac{5\pi}{4}} = -\frac{\sqrt{2}}{2} - i \frac{\sqrt{2}}{2}$$

$$\rightarrow H(p) = \frac{1}{p^2 + \sqrt{2}p + 1}$$



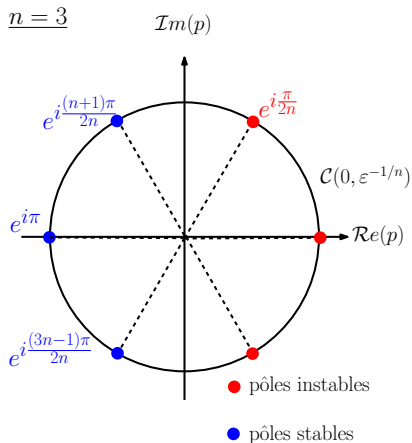
## 5.4 Filtres de Butterworth

### Pour un ordre $n$ impair

- Les pôles sont donnés par :

$$z^{2n} = \varepsilon^{-2}$$

$$\Rightarrow \boxed{z_k = \varepsilon^{-1/n} e^{i \frac{k\pi}{n}}}$$



## 5.4 Filtres de Butterworth

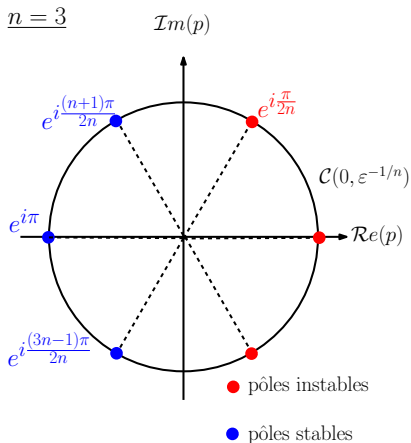
### Pour un ordre $n$ impair

- Les pôles sont donnés par :

$$z^{2n} = \varepsilon^{-2}$$

$$\Rightarrow \boxed{z_k = \varepsilon^{-1/n} e^{i \frac{k\pi}{n}}}$$

- Stabilité  $\rightarrow k = \frac{n+1}{2}, \dots, \frac{3n-1}{2}$



## 5.4 Filtres de Butterworth

### Pour un ordre $n$ impair

- Les pôles sont donnés par :

$$z^{2n} = \varepsilon^{-2}$$

$$\Rightarrow \boxed{z_k = \varepsilon^{-1/n} e^{i \frac{k\pi}{n}}}$$

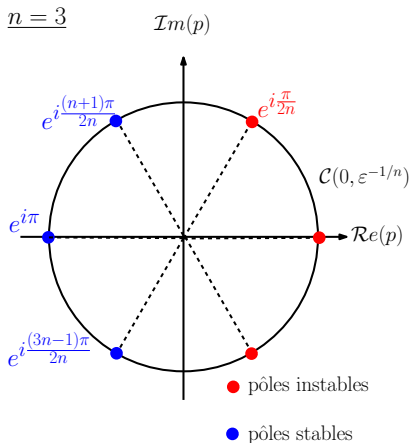
- Stabilité  $\rightarrow k = \frac{n+1}{2}, \dots, \frac{3n-1}{2}$
- Exemple : pour  $n = 3$  et  $\varepsilon = 1$

$$\rightarrow z_1 = e^{i \frac{2\pi}{3}} = -\frac{1}{2} + i \frac{\sqrt{3}}{2}$$

$$\rightarrow z_2 = e^{i\pi} = -1$$

$$\rightarrow z_3 = e^{i \frac{4\pi}{3}} = -\frac{1}{2} - i \frac{\sqrt{3}}{2}$$

$$\rightarrow H(p) = \frac{1}{(p+1)(p^2+p+1)}$$



## 5.4 Filtres de Butterworth

### Algorithme de synthèse d'un filtre de Butterworth

- **étape 1.**  $\omega_p = 1$  et  $A_p$  donnent le facteur de forme :

$$\varepsilon = \sqrt{10^{\frac{A_p}{10}} - 1}$$

## 5.4 Filtres de Butterworth

### Algorithme de synthèse d'un filtre de Butterworth

- **étape 1.**  $\omega_p = 1$  et  $A_p$  donnent le facteur de forme :

$$\varepsilon = \sqrt{10^{\frac{A_p}{10}} - 1}$$

- **étape 2.**  $A_p$ ,  $A_a$ ,  $\omega_p$  et  $\omega_a$  donnent l'ordre du filtre :

$$n \geq \left( \frac{1}{20} \right) \frac{A_a - A_p}{\log(\omega_a) - \log(\omega_p)}$$

## 5.4 Filtres de Butterworth

### Algorithme de synthèse d'un filtre de Butterworth

- **étape 1.**  $\omega_p = 1$  et  $A_p$  donnent le facteur de forme :

$$\varepsilon = \sqrt{10^{\frac{A_p}{10}} - 1}$$

- **étape 2.**  $A_p$ ,  $A_a$ ,  $\omega_p$  et  $\omega_a$  donnent l'ordre du filtre :

$$n \geq \left( \frac{1}{20} \right) \frac{A_a - A_p}{\log(\omega_a) - \log(\omega_p)}$$

- **étape 3.**  $\varepsilon$  et  $n$  déterminent les pôles  $z_k$  du polynôme de Butterworth

## 5.4 Filtres de Butterworth

### Algorithme de synthèse d'un filtre de Butterworth

- **étape 1.**  $\omega_p = 1$  et  $A_p$  donnent le facteur de forme :

$$\varepsilon = \sqrt{10^{\frac{A_p}{10}} - 1}$$

- **étape 2.**  $A_p$ ,  $A_a$ ,  $\omega_p$  et  $\omega_a$  donnent l'ordre du filtre :

$$n \geq \left( \frac{1}{20} \right) \frac{A_a - A_p}{\log(\omega_a) - \log(\omega_p)}$$

- **étape 3.**  $\varepsilon$  et  $n$  déterminent les pôles  $z_k$  du polynôme de Butterworth
- **étape 4.** en sélectionnant les  $n$  racines à partie réelle négative  $z_k$  on a la F.T. du filtre :

$$H(p) = \prod_{k=1}^n \frac{1}{(1 - \frac{p}{z_k})}$$



## 5.4 Exemple de synthèse

- On veut construire un filtre respectant les spécifications :  
 $\omega_p = 1 \text{ rad/s}$ ,  $\omega_a = 10 \text{ rad/s}$ ,  $-A_p = -1 \text{ dB}$  et  $-A_a = -90 \text{ dB}$

## 5.4 Exemple de synthèse

- On veut construire un filtre respectant les spécifications :  
 $\omega_p = 1 \text{ rad/s}$ ,  $\omega_a = 10 \text{ rad/s}$ ,  $-A_p = -1 \text{ dB}$  et  $-A_a = -90 \text{ dB}$

- le facteur de forme est :

$$\varepsilon = \sqrt{10^{0.1} - 1} = 0.51$$

## 5.4 Exemple de synthèse

- On veut construire un filtre respectant les spécifications :  
 $\omega_p = 1 \text{ rad/s}$ ,  $\omega_a = 10 \text{ rad/s}$ ,  $-A_p = -1 \text{ dB}$  et  $-A_a = -90 \text{ dB}$

- le facteur de forme est :

$$\varepsilon = \sqrt{10^{0.1} - 1} = 0.51$$

- l'ordre du filtre est :

$$n \geq \frac{90 - 1}{20(\log(10) - \log(1))} = 4.45$$

donc  $n = 5$

## 5.4 Exemple de synthèse

- On veut construire un filtre respectant les spécifications :  
 $\omega_p = 1$  rad/s,  $\omega_a = 10$  rad/s,  $-A_p = -1$  dB et  $-A_a = -90$  dB

- le facteur de forme est :

$$\varepsilon = \sqrt{10^{0.1} - 1} = 0.51$$

- l'ordre du filtre est :

$$n \geq \frac{90 - 1}{20(\log(10) - \log(1))} = 4.45$$

donc  $n = 5$

- le filtre est donc donné par :

$$H(p) = \frac{1}{0.5088p^5 + 1.885p^4 + 3.491p^3 + 3.996p^2 + 2.827p + 1}$$

## 5.4 Exemple de synthèse

- On veut construire un filtre respectant les spécifications :  
 $\omega_p = 1$  rad/s,  $\omega_a = 10$  rad/s,  $-A_p = -1$  dB et  $-A_a = -90$  dB

- le facteur de forme est :

$$\varepsilon = \sqrt{10^{0.1} - 1} = 0.51$$

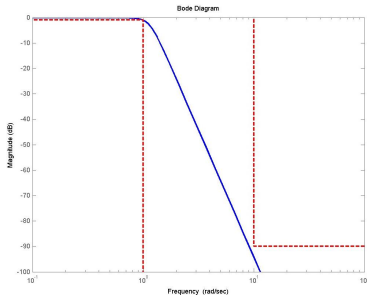
- l'ordre du filtre est :

$$n \geq \frac{90 - 1}{20(\log(10) - \log(1))} = 4.45$$

donc  $n = 5$

- le filtre est donc donné par :

$$H(p) = \frac{1}{0.5088p^5 + 1.885p^4 + 3.491p^3 + 3.996p^2 + 2.827p + 1}$$



## 5.4 Polynômes approximateurs et filtres de Tchebychev



Pafnuty ... (1821 - 1894)

## 5.4 Polynômes approximateurs et filtres de Tchebychev

- Principe :

- répartir l'erreur d'approximation en bande passante
- obtenir une pente plus raide en début de bande coupée

## 5.4 Polynômes approximateurs et filtres de Tchebychev

- Principe :

- répartir l'erreur d'approximation en bande passante
- obtenir une pente plus raide en début de bande coupée

### Filtres de Tchebychev

Les filtres de Tchebychev sont définis par :

$$G(\omega) = |H(j\omega)| = \frac{1}{\sqrt{1+\varepsilon^2 T_n^2(\omega)}}$$

Les pôles de  $H(p)$  sont les  $n$  racines à partie réelle négative de  $T_n^2(\omega)$ , où :

$$T_n(\omega) = \begin{cases} \cos(n \arccos(\omega)), & \text{pour } \omega \leq 1 \\ \cosh(n \operatorname{arccosh}(\omega)), & \text{pour } \omega \geq 1 \end{cases}$$

ou par récurrence :

$$T_0(\omega) = 1$$

$$T_1(\omega) = \omega$$

$$T_n(\omega) = 2\omega T_{n-1}(\omega) - T_{n-2}(\omega)$$



## 5.4 Polynômes approximateurs et filtres de Tchebychev

- Principe :

- répartir l'erreur d'approximation en bande passante
- obtenir une pente plus raide en début de bande coupée

### Filtres de Tchebychev

Les filtres de Tchebychev sont définis par :

$$G(\omega) = |H(j\omega)| = \frac{1}{\sqrt{1+\varepsilon^2 T_n^2(\omega)}}$$

Les pôles de  $H(p)$  sont les  $n$  racines à partie réelle négative de  $T_n^2(\omega)$ , où :

$$T_n(\omega) = \begin{cases} \cos(n \arccos(\omega)), & \text{pour } \omega \leq 1 \\ \cosh(n \operatorname{arccosh}(\omega)), & \text{pour } \omega \geq 1 \end{cases}$$

ou par récurrence :

$$T_0(\omega) = 1$$

$$T_1(\omega) = \omega$$

$$T_n(\omega) = 2\omega T_{n-1}(\omega) - T_{n-2}(\omega)$$

→ en pratique, une fois  $n$  et  $\varepsilon$  déterminés, on utilise un logiciel (Matlab, Scilab, Octave, ...) pour déterminer  $H(p)$

## 5.4 Filtrés de Tchebychev

### Algorithme de synthèse d'un filtre de Tchebychev

- **étape 1.**  $\omega_p = 1$  et  $A_p$  donne le facteur de forme :

$$\varepsilon = \sqrt{10^{\frac{A_p}{10}} - 1}$$

## 5.4 Filtres de Tchebychev

### Algorithme de synthèse d'un filtre de Tchebychev

- **étape 1.**  $\omega_p = 1$  et  $A_p$  donne le facteur de forme :

$$\varepsilon = \sqrt{10^{\frac{A_p}{10}} - 1}$$

- **étape 2.**  $A_p$ ,  $A_a$ ,  $\omega_p$  et  $\omega_a$  donnent l'ordre du filtre  $n$  par :

$$\cosh^2(n \cdot \operatorname{arccosh}(\omega_a)) \geq \frac{10^{\frac{A_a}{10}} - 1}{\varepsilon^2}$$

## 5.4 Filtres de Tchebychev

### Algorithme de synthèse d'un filtre de Tchebychev

- **étape 1.**  $\omega_p = 1$  et  $A_p$  donne le facteur de forme :

$$\varepsilon = \sqrt{10^{\frac{A_p}{10}} - 1}$$

- **étape 2.**  $A_p$ ,  $A_a$ ,  $\omega_p$  et  $\omega_a$  donnent l'ordre du filtre  $n$  par :

$$\cosh^2(n \cdot \operatorname{arccosh}(\omega_a)) \geq \frac{10^{\frac{A_a}{10}} - 1}{\varepsilon^2}$$

- **étape 3.**  $\varepsilon$  et  $n$  déterminent les pôles  $z_k$  du polynôme de Tchebychev

## 5.4 Filtres de Tchebychev

### Algorithme de synthèse d'un filtre de Tchebychev

- **étape 1.**  $\omega_p = 1$  et  $A_p$  donne le facteur de forme :

$$\varepsilon = \sqrt{10^{\frac{A_p}{10}} - 1}$$

- **étape 2.**  $A_p$ ,  $A_a$ ,  $\omega_p$  et  $\omega_a$  donnent l'ordre du filtre  $n$  par :

$$\cosh^2(n \cdot \operatorname{arccosh}(\omega_a)) \geq \frac{10^{\frac{A_a}{10}} - 1}{\varepsilon^2}$$

- **étape 3.**  $\varepsilon$  et  $n$  déterminent les pôles  $z_k$  du polynôme de Tchebychev
- **étape 4.** en sélectionnant les  $n$  racines à partie réelle négative  $z_k$  on a la F.T. du filtre :

$$H(p) = \prod_{k=1}^n \frac{1}{(1 - \frac{p}{z_k})}$$

## 5.4 Exemple de synthèse

- On veut construire un filtre respectant les spécifications :

$$\omega_p = 1 \text{ rad/s}$$

$$\omega_a = 1.5 \text{ rad/s}$$

$$-A_p = -2 \text{ dB}$$

$$-A_a = -100 \text{ dB.}$$

## 5.4 Exemple de synthèse

- On veut construire un filtre respectant les spécifications :

$$\omega_p = 1 \text{ rad/s}$$

$$\omega_a = 1.5 \text{ rad/s}$$

$$-A_p = -2 \text{ dB}$$

$$-A_a = -100 \text{ dB.}$$

- le facteur de forme est :

$$\varepsilon = 0.76$$

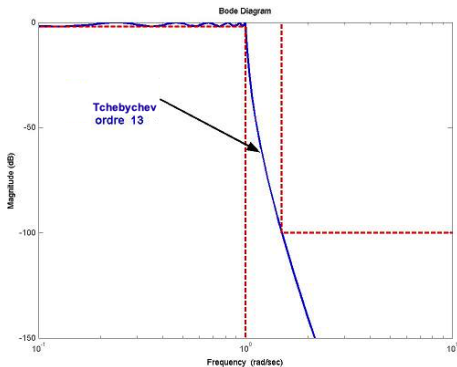
## 5.4 Exemple de synthèse

- On veut construire un filtre respectant les spécifications :  
 $\omega_p = 1$  rad/s  
 $\omega_a = 1.5$  rad/s  
 $-A_p = -2$  dB  
 $-A_a = -100$  dB.
- le facteur de forme est :  
 $\varepsilon = 0.76$
- l'ordre du filtre est  $n = 13$



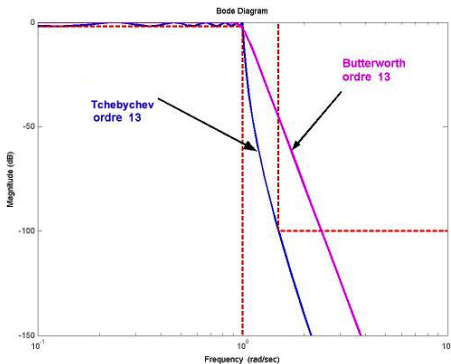
## 5.4 Exemple de synthèse

- On veut construire un filtre respectant les spécifications :
  - $\omega_p = 1 \text{ rad/s}$
  - $\omega_a = 1.5 \text{ rad/s}$
  - $-A_p = -2 \text{ dB}$
  - $-A_a = -100 \text{ dB}$ .
- le facteur de forme est :
  - $\varepsilon = 0.76$
- l'ordre du filtre est  $n = 13$
- la fonction de transfert est représentée en **bleu**



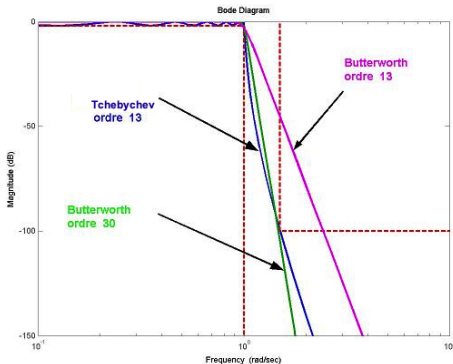
## 5.4 Exemple de synthèse

- On veut construire un filtre respectant les spécifications :
  - $\omega_p = 1$  rad/s
  - $\omega_a = 1.5$  rad/s
  - $-A_p = -2$  dB
  - $-A_a = -100$  dB.
- le facteur de forme est :  
 $\varepsilon = 0.76$
- l'ordre du filtre est  $n = 13$
- la fonction de transfert est représentée en **bleu**
- pour comparaison, le filtre de Butterworth d'ordre 13 en **violet**



## 5.4 Exemple de synthèse

- On veut construire un filtre respectant les spécifications :
  - $\omega_p = 1$  rad/s
  - $\omega_a = 1.5$  rad/s
  - $-A_p = -2$  dB
  - $-A_a = -100$  dB.
- le facteur de forme est :  
 $\varepsilon = 0.76$
- l'ordre du filtre est  $n = 13$
- la fonction de transfert est représentée en **bleu**
- pour comparaison, le filtre de Butterworth d'ordre 13 en **violet**
- pour comparaison, le filtre de Butterworth d'ordre 30 en **vert**



## 5.5 Synthèses de filtres par transposition de fréquence

- **étape 1.** Déterminer le facteur de forme  $\varepsilon$  du FPBNE :

$$\varepsilon = \sqrt{10^{\frac{A_p}{10}} - 1}$$

## 5.5 Synthèses de filtres par transposition de fréquence

- **étape 1.** Déterminer le facteur de forme  $\varepsilon$  du FPBNE :

$$\varepsilon = \sqrt{10^{\frac{A_p}{10}} - 1}$$

- **étape 2.** Déterminer l'ordre  $n$  du filtre PBNE :

Butterworth	Tchebychev
$n \geq \frac{A_a - A_p}{20 \log\left(\frac{1}{k}\right)}$	$\cosh^2\left(n \operatorname{arccosh}\left(\frac{1}{k}\right)\right) \geq \frac{10^{\frac{A_a}{10}} - 1}{\varepsilon^2}$

où la sélectivité  $k$  est donnée par :

filtre	P-bas	P-haut	P-bande	Coupe-bande
sélectivité $k$	$\frac{\omega_p}{\omega_a}$	$\frac{\omega_a}{\omega_p}$	$\frac{\omega_{p+} - \omega_{p-}}{\omega_{a+} - \omega_{a-}}$	$\frac{\omega_{a+} - \omega_{a-}}{\omega_{p+} - \omega_{p-}}$

## 5.5 Synthèses de filtres par transposition de fréquence

- **étape 1.** Déterminer le facteur de forme  $\varepsilon$  du FPBNE :

$$\varepsilon = \sqrt{10^{\frac{A_p}{10}} - 1}$$

- **étape 2.** Déterminer l'ordre  $n$  du filtre PBNE :

Butterworth	Tchebychev
$n \geq \frac{A_a - A_p}{20 \log\left(\frac{1}{k}\right)}$	$\cosh^2\left(n \operatorname{arccosh}\left(\frac{1}{k}\right)\right) \geq \frac{10^{\frac{A_a}{10}} - 1}{\varepsilon^2}$

où la sélectivité  $k$  est donnée par :

filtre	P-bas	P-haut	P-bande	Coupe-bande
sélectivité $k$	$\frac{\omega_p}{\omega_a}$	$\frac{\omega_a}{\omega_p}$	$\frac{\omega_{p+} - \omega_{p-}}{\omega_{a+} - \omega_{a-}}$	$\frac{\omega_{a+} - \omega_{a-}}{\omega_{p+} - \omega_{p-}}$

- **étape 3.** Déterminer le filtre PBNE  $H_n(p_n)$ .

## 5.5 Synthèses de filtres par transposition de fréquence

- **étape 1.** Déterminer le facteur de forme  $\varepsilon$  du FPBNE :

$$\varepsilon = \sqrt{10^{\frac{A_p}{10}} - 1}$$

- **étape 2.** Déterminer l'ordre  $n$  du filtre PBNE :

Butterworth	Tchebychev
$n \geq \frac{A_a - A_p}{20 \log\left(\frac{1}{k}\right)}$	$\cosh^2 \left( n \operatorname{arccosh} \left( \frac{1}{k} \right) \right) \geq \frac{10^{\frac{A_a}{10}} - 1}{\varepsilon^2}$

où la sélectivité  $k$  est donnée par :

filtre	P-bas	P-haut	P-bande	Coupe-bande
sélectivité $k$	$\frac{\omega_p}{\omega_a}$	$\frac{\omega_a}{\omega_p}$	$\frac{\omega_{p+} - \omega_{p-}}{\omega_{a+} - \omega_{a-}}$	$\frac{\omega_{a+} - \omega_{a-}}{\omega_{p+} - \omega_{p-}}$

- **étape 3.** Déterminer le filtre PBNE  $H_n(p_n)$ .
- **étape 4.** Dénormaliser le PBNE avec  $H(p) = H_n(p_n)$

filtre	P-bas	P-haut	P-bande	Coupe-bande
$p_n$	$\frac{p}{\omega_p}$	$\frac{\omega_p}{p}$	$\frac{\omega_0}{\omega_{p+} - \omega_{p-}} \left( \frac{\omega_0}{p} + \frac{p}{\omega_0} \right)$	$\frac{\omega_{p+} - \omega_{p-}}{\omega_0} \left( \frac{\omega_0}{p} + \frac{p}{\omega_0} \right)^{-1}$

où la pulsation centrale est définie par :  $\omega_0 = \sqrt{\omega_{p+}\omega_{p-}} = \sqrt{\omega_{a+}\omega_{a-}}$

## 5.5 Synthèse d'un filtre passe-bas

On veut synthétiser un filtre de Butterworth qui respecte les spécifications :  
 $\omega_p = 10$  rad/s,  $\omega_a = 100$  rad/s,  $-A_p = -3$  dB et  $-A_a = -100$  dB



## 5.5 Synthèse d'un filtre passe-bas

On veut synthétiser un filtre de Butterworth qui respecte les spécifications :  
 $\omega_p = 10$  rad/s,  $\omega_a = 100$  rad/s,  $-A_p = -3$  dB et  $-A_a = -100$  dB

- Le facteur de forme est :  $\varepsilon = \sqrt{10^{\frac{A_p}{10}} - 1}$   
→ donc  $\varepsilon = 1$

## 5.5 Synthèse d'un filtre passe-bas

On veut synthétiser un filtre de Butterworth qui respecte les spécifications :  
 $\omega_p = 10$  rad/s,  $\omega_a = 100$  rad/s,  $-A_p = -3$  dB et  $-A_a = -100$  dB

- Le facteur de forme est :  $\varepsilon = \sqrt{10^{\frac{A_p}{10}} - 1}$   
→ donc  $\varepsilon = 1$
- L'ordre doit vérifier :  $n \geq \frac{A_a - A_p}{20 \log\left(\frac{\omega_a}{\omega_p}\right)} = 4.85$   
→ donc  $n = 5$

## 5.5 Synthèse d'un filtre passe-bas

On veut synthétiser un filtre de Butterworth qui respecte les spécifications :  
 $\omega_p = 10$  rad/s,  $\omega_a = 100$  rad/s,  $-A_p = -3$  dB et  $-A_a = -100$  dB

- Le facteur de forme est :  $\varepsilon = \sqrt{10^{\frac{A_p}{10}} - 1}$   
→ donc  $\varepsilon = 1$
- L'ordre doit vérifier :  $n \geq \frac{A_a - A_p}{20 \log\left(\frac{\omega_a}{\omega_p}\right)} = 4.85$   
→ donc  $n = 5$
- Le filtre de Butterworth d'ordre 5 donne le FPBNE  $H_n(p_n)$   
→ donc  $H_n(p_n) = \frac{1}{p_n^5 + 3.236p_n^4 + 5.236p_n^3 + 5.236p_n^2 + 3.236p_n + 1}$

## 5.5 Synthèse d'un filtre passe-bas

On veut synthétiser un filtre de Butterworth qui respecte les spécifications :  
 $\omega_p = 10$  rad/s,  $\omega_a = 100$  rad/s,  $-A_p = -3$  dB et  $-A_a = -100$  dB

- Le facteur de forme est :  $\varepsilon = \sqrt{10^{\frac{A_p}{10}} - 1}$   
→ donc  $\varepsilon = 1$
- L'ordre doit vérifier :  $n \geq \frac{A_a - A_p}{20 \log\left(\frac{\omega_a}{\omega_p}\right)} = 4.85$   
→ donc  $n = 5$
- Le filtre de Butterworth d'ordre 5 donne le FPBNE  $H_n(p_n)$   
→ donc  $H_n(p_n) = \frac{1}{p_n^5 + 3.236p_n^4 + 5.236p_n^3 + 5.236p_n^2 + 3.236p_n + 1}$
- La sélectivité est  $k = \frac{\omega_p}{\omega_a} = 0.1$   
→ donc la dénormalisation est :  $p_n = \frac{p}{10}$   
→ donc la fonction de transfert est :

$$H(p) = \frac{1}{\frac{p^5}{10^5} + 3.236 \frac{p^4}{10^4} + 5.236 \frac{p^3}{10^3} + 5.236 \frac{p^2}{10^2} + 3.236 \frac{p}{10} + 1}$$

## 5.5 Synthèse d'un filtre passe-bas

Fonction de transfert et comportement entrée/sortie du filtre passe-bas

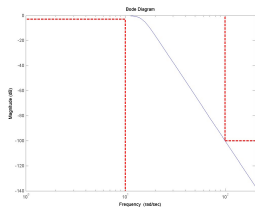


Diagramme de  
Bode du filtre  
obtenu

## 5.5 Synthèse d'un filtre passe-bas

Fonction de transfert et comportement entrée/sortie du filtre passe-bas

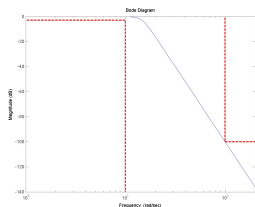
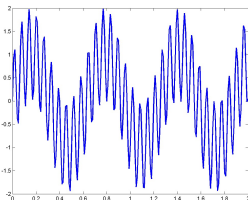


Diagramme de Bode du filtre obtenu



signal d'entrée :  
 $x(t) = \sin(10t) + \sin(100t)$

## 5.5 Synthèse d'un filtre passe-bas

Fonction de transfert et comportement entrée/sortie du filtre passe-bas

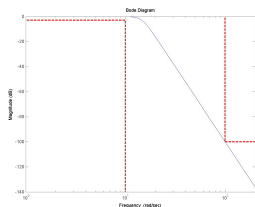
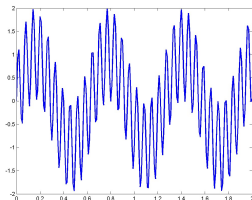
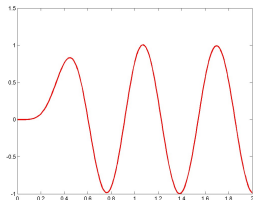


Diagramme de Bode du filtre obtenu



signal d'entrée :  
 $x(t) = \sin(10t) + \sin(100t)$



signal de sortie

- $\sin(10t)$  est transmise
- $\sin(100t)$  est atténuée

## 5.5 Synthèse d'un filtre passe-haut

On veut synthétiser un filtre de Butterworth qui respecte les spécifications :  
 $\omega_a = 10$  rad/s,  $-A_a = -60$  dB,  $\omega_p = 100$  rad/s,  $-A_p = -2$  dB et



## 5.5 Synthèse d'un filtre passe-haut

On veut synthétiser un filtre de Butterworth qui respecte les spécifications :  
 $\omega_a = 10$  rad/s,  $-A_a = -60$  dB,  $\omega_p = 100$  rad/s,  $-A_p = -2$  dB et

- Le facteur de forme est :  $\varepsilon = \sqrt{10^{\frac{A_p}{10}} - 1}$   
→ donc  $\varepsilon = 0.7648$

## 5.5 Synthèse d'un filtre passe-haut

On veut synthétiser un filtre de Butterworth qui respecte les spécifications :  
 $\omega_a = 10$  rad/s,  $-A_a = -60$  dB,  $\omega_p = 100$  rad/s,  $-A_p = -2$  dB et

- Le facteur de forme est :  $\varepsilon = \sqrt{10^{\frac{A_p}{10}} - 1}$   
→ donc  $\varepsilon = 0.7648$
- L'ordre doit vérifier :  $n \geq \frac{A_a - A_p}{20 \log\left(\frac{1}{k}\right)} = 2.9$   
→ donc  $n = 3$

## 5.5 Synthèse d'un filtre passe-haut

On veut synthétiser un filtre de Butterworth qui respecte les spécifications :  
 $\omega_a = 10$  rad/s,  $-A_a = -60$  dB,  $\omega_p = 100$  rad/s,  $-A_p = -2$  dB et

- Le facteur de forme est :  $\varepsilon = \sqrt{10^{\frac{A_p}{10}} - 1}$   
→ donc  $\varepsilon = 0.7648$
- L'ordre doit vérifier :  $n \geq \frac{A_a - A_p}{20 \log\left(\frac{1}{k}\right)} = 2.9$   
→ donc  $n = 3$
- Le filtre de Butterworth d'ordre 3 donne le FPBNE  $H_n(p_n)$   
→ donc  $H_n(p_n) = \frac{1}{0.7648p_n^3 + 1.673p_n^2 + 1.829p_n + 1}$

## 5.5 Synthèse d'un filtre passe-haut

On veut synthétiser un filtre de Butterworth qui respecte les spécifications :  
 $\omega_a = 10$  rad/s,  $-A_a = -60$  dB,  $\omega_p = 100$  rad/s,  $-A_p = -2$  dB et

- Le facteur de forme est :  $\varepsilon = \sqrt{10^{\frac{A_p}{10}} - 1}$   
→ donc  $\varepsilon = 0.7648$
- L'ordre doit vérifier :  $n \geq \frac{A_a - A_p}{20 \log(\frac{1}{k})} = 2.9$   
→ donc  $n = 3$
- Le filtre de Butterworth d'ordre 3 donne le FPBNE  $H_n(p_n)$   
→ donc  $H_n(p_n) = \frac{1}{0.7648p_n^3 + 1.673p_n^2 + 1.829p_n + 1}$
- La sélectivité est  $k = \frac{\omega_a}{\omega_p} = 0.1$   
→ la dénormalisation est :  $p_n = \frac{\omega_p}{p} = \frac{100}{p}$   
→ donc la fonction de transfert est :

## 5.5 Synthèse d'un filtre passe-haut

On veut synthétiser un filtre de Butterworth qui respecte les spécifications :  
 $\omega_a = 10$  rad/s,  $-A_a = -60$  dB,  $\omega_p = 100$  rad/s,  $-A_p = -2$  dB et

- Le facteur de forme est :  $\varepsilon = \sqrt{10^{\frac{A_p}{10}} - 1}$   
→ donc  $\varepsilon = 0.7648$
- L'ordre doit vérifier :  $n \geq \frac{A_a - A_p}{20 \log\left(\frac{1}{k}\right)} = 2.9$   
→ donc  $n = 3$
- Le filtre de Butterworth d'ordre 3 donne le FPBNE  $H_n(p_n)$   
→ donc  $H_n(p_n) = \frac{1}{0.7648 p_n^3 + 1.673 p_n^2 + 1.829 p_n + 1}$
- La sélectivité est  $k = \frac{\omega_a}{\omega_p} = 0.1$   
→ la dénormalisation est :  $p_n = \frac{\omega_p}{p} = \frac{100}{p}$   
→ donc la fonction de transfert est :

$$H(p) = \frac{1}{0.7648 \left(\frac{100}{p}\right)^3 + 1.673 \left(\frac{100}{p}\right)^2 + 1.829 \left(\frac{100}{p}\right) + 1}$$

## 5.5 Synthèse d'un filtre passe-haut

On veut synthétiser un filtre de Butterworth qui respecte les spécifications :  
 $\omega_a = 10$  rad/s,  $-A_a = -60$  dB,  $\omega_p = 100$  rad/s,  $-A_p = -2$  dB et

- Le facteur de forme est :  $\varepsilon = \sqrt{10^{\frac{A_p}{10}} - 1}$   
→ donc  $\varepsilon = 0.7648$
- L'ordre doit vérifier :  $n \geq \frac{A_a - A_p}{20 \log\left(\frac{1}{k}\right)} = 2.9$   
→ donc  $n = 3$
- Le filtre de Butterworth d'ordre 3 donne le FPBNE  $H_n(p_n)$   
→ donc  $H_n(p_n) = \frac{1}{0.7648p_n^3 + 1.673p_n^2 + 1.829p_n + 1}$
- La sélectivité est  $k = \frac{\omega_a}{\omega_p} = 0.1$   
→ la dénormalisation est :  $p_n = \frac{\omega_p}{p} = \frac{100}{p}$   
→ donc la fonction de transfert est :

$$H(p) = \frac{p^3}{764783 + 1.6726p + 182.9p^2 + p^3}$$

## 5.5 Synthèse d'un filtre passe-haut

Fonction de transfert et comportement entrée/sortie du filtre passe-haut

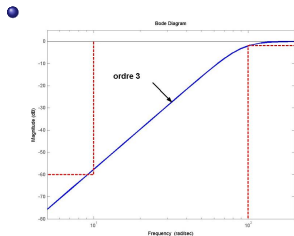


Diagramme de  
Bode du filtre  
obtenu

## 5.5 Synthèse d'un filtre passe-haut

Fonction de transfert et comportement entrée/sortie du filtre passe-haut

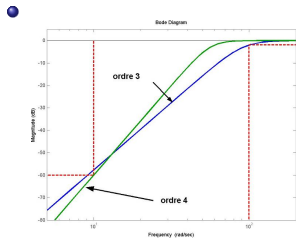


Diagramme de Bode du filtre obtenu



## 5.5 Synthèse d'un filtre passe-haut

Fonction de transfert et comportement entrée/sortie du filtre passe-haut

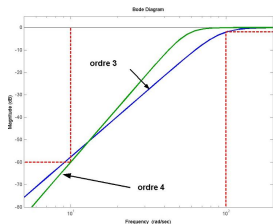
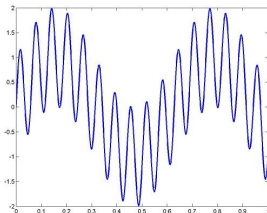


Diagramme de Bode du filtre obtenu



signal d'entrée :

$$x(t) = \sin(10t) + \sin(100t)$$

# 5.5 Synthèse d'un filtre passe-haut

Fonction de transfert et comportement entrée/sortie du filtre passe-haut

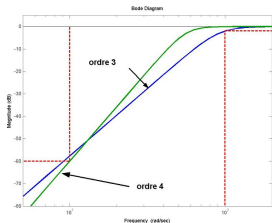
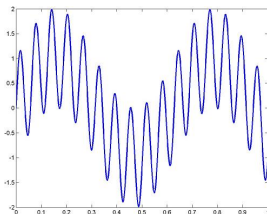
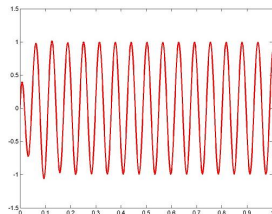


Diagramme de Bode du filtre obtenu



signal d'entrée :

$$x(t) = \sin(10t) + \sin(100t)$$



signal de sortie

- $\sin(10t)$  est atténuée
- $\sin(100t)$  est transmise

## 5.5 Synthèse d'un filtre passe-bande

On veut synthétiser un filtre de Butterworth qui respecte les spécifications :

- un gain supérieur à  $-A_p = -2$  dB entre  $\omega_{p-} = 100$  rad/s et  $\omega_{p+} = 200$  rad/s
- un gain inférieur à  $-A_a = -60$  dB en dessous de  $\omega_{a-} = 40$  rad/s et au dessus de  $\omega_{a+} = 500$  rad/s

## 5.5 Synthèse d'un filtre passe-bande

On veut synthétiser un filtre de Butterworth qui respecte les spécifications :

- un gain supérieur à  $-A_p = -2$  dB entre  $\omega_{p-} = 100$  rad/s et  $\omega_{p+} = 200$  rad/s
- un gain inférieur à  $-A_a = -60$  dB en dessous de  $\omega_{a-} = 40$  rad/s et au dessus de  $\omega_{a+} = 500$  rad/s
- Le facteur de forme est :  $\varepsilon = \sqrt{10^{\frac{A_p}{10}} - 1}$   
→ donc  $\varepsilon = 0.7648$

## 5.5 Synthèse d'un filtre passe-bande

On veut synthétiser un filtre de Butterworth qui respecte les spécifications :

- un gain supérieur à  $-A_p = -2$  dB entre  $\omega_{p-} = 100$  rad/s et  $\omega_{p+} = 200$  rad/s
- un gain inférieur à  $-A_a = -60$  dB en dessous de  $\omega_{a-} = 40$  rad/s et au dessus de  $\omega_{a+} = 500$  rad/s
- Le facteur de forme est :  $\varepsilon = \sqrt{10^{\frac{A_p}{10}} - 1}$   
→ donc  $\varepsilon = 0.7648$
- L'ordre doit vérifier :  $n \geq \frac{A_a - A_p}{20 \log\left(\frac{1}{k}\right)} = 4.34$   
→ donc  $n = 5$

## 5.5 Synthèse d'un filtre passe-bande

On veut synthétiser un filtre de Butterworth qui respecte les spécifications :

- un gain supérieur à  $-A_p = -2$  dB entre  $\omega_{p-} = 100$  rad/s et  $\omega_{p+} = 200$  rad/s
- un gain inférieur à  $-A_a = -60$  dB en dessous de  $\omega_{a-} = 40$  rad/s et au dessus de  $\omega_{a+} = 500$  rad/s

- Le facteur de forme est :  $\varepsilon = \sqrt{10^{\frac{A_p}{10}} - 1}$

→ donc  $\varepsilon = 0.7648$

- L'ordre doit vérifier :  $n \geq \frac{A_a - A_p}{20 \log(\frac{1}{k})} = 4.34$

→ donc  $n = 5$

- Le filtre de Butterworth d'ordre 5 donne le FPBNE  $H_n(p_n)$

→ donc  $H_n(p_n) = \frac{1}{0.7648p_n^5 + 2.611p_n^4 + 4.458p_n^3 + 4.703p_n^2 + 3.067p_n + 1}$

## 5.5 Synthèse d'un filtre passe-bande

On veut synthétiser un filtre de Butterworth qui respecte les spécifications :

- un gain supérieur à  $-A_p = -2$  dB entre  $\omega_{p-} = 100$  rad/s et  $\omega_{p+} = 200$  rad/s
- un gain inférieur à  $-A_a = -60$  dB en dessous de  $\omega_{a-} = 40$  rad/s et au dessus de  $\omega_{a+} = 500$  rad/s

- Le facteur de forme est :  $\varepsilon = \sqrt{10^{\frac{A_p}{10}} - 1}$   
→ donc  $\varepsilon = 0.7648$

- L'ordre doit vérifier :  $n \geq \frac{A_a - A_p}{20 \log\left(\frac{1}{k}\right)} = 4.34$   
→ donc  $n = 5$

- Le filtre de Butterworth d'ordre 5 donne le FPBNE  $H_n(p_n)$

$$\rightarrow \text{donc } H_n(p_n) = \frac{1}{0.7648p_n^5 + 2.611p_n^4 + 4.458p_n^3 + 4.703p_n^2 + 3.067p_n + 1}$$

- La sélectivité est  $k = \frac{\omega_{p+} - \omega_{p-}}{\omega_{a+} - \omega_{a-}} = 0.21$

$$\rightarrow \text{la dénormalisation est : } p_n = \frac{\omega_0}{\omega_{p+} - \omega_{p-}} \left( \frac{\omega_0}{p} + \frac{p}{\omega_0} \right)$$

→ donc la fonction de transfert  $H(p)$  est donnée par :

## 5.5 Synthèse d'un filtre passe-bande

On veut synthétiser un filtre de Butterworth qui respecte les spécifications :

- un gain supérieur à  $-A_p = -2$  dB entre  $\omega_{p-} = 100$  rad/s et  $\omega_{p+} = 200$  rad/s
- un gain inférieur à  $-A_a = -60$  dB en dessous de  $\omega_{a-} = 40$  rad/s et au dessus de  $\omega_{a+} = 500$  rad/s

- Le facteur de forme est :  $\varepsilon = \sqrt{10^{\frac{A_p}{10}} - 1}$   
→ donc  $\varepsilon = 0.7648$

- L'ordre doit vérifier :  $n \geq \frac{A_a - A_p}{20 \log\left(\frac{1}{k}\right)} = 4.34$   
→ donc  $n = 5$

- Le filtre de Butterworth d'ordre 5 donne le FPBNE  $H_n(p_n)$

$$\rightarrow \text{donc } H_n(p_n) = \frac{1}{0.7648p_n^5 + 2.611p_n^4 + 4.458p_n^3 + 4.703p_n^2 + 3.067p_n + 1}$$

- La sélectivité est  $k = \frac{\omega_{p+} - \omega_{p-}}{\omega_{a+} - \omega_{a-}} = 0.21$

$$\rightarrow \text{la dénormalisation est : } p_n = \frac{\omega_0}{\omega_{p+} - \omega_{p-}} \left( \frac{\omega_0}{p} + \frac{p}{\omega_0} \right)$$

→ donc la fonction de transfert  $H(p)$  est donnée par :

$$\frac{1}{7.65 \cdot 10^{-11} p^{10} + 2.61 \cdot 10^{-8} p^9 + 1.21 \cdot 10^{-5} p^8 + 0.00256 p^7 + 0.604 p^6 + 82.5 p^5 + 1.21 \cdot 10^4 p^4 + 1.02 \cdot 10^6 p^3 + 9.69 \cdot 10^7 p^2 + 4.18 \cdot 10^9 p + 2.45 \cdot 10^{11}}$$



## 5.5 Synthèse d'un filtre passe-bande

Fonction de transfert et comportement entrée/sortie du filtre passe-bande

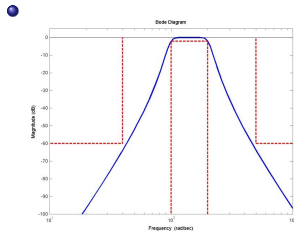


Diagramme de  
Bode du filtre  
obtenu

# 5.5 Synthèse d'un filtre passe-bande

Fonction de transfert et comportement entrée/sortie du filtre passe-bande

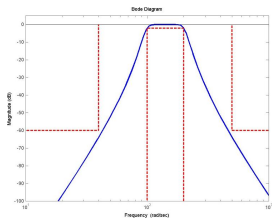
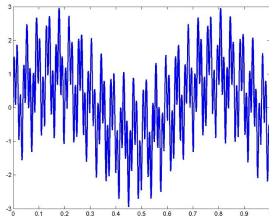


Diagramme de Bode du filtre obtenu



signal d'entrée :  
 $x(t) = \sin(10t) + \sin(150t) + \sin(500t)$

# 5.5 Synthèse d'un filtre passe-bande

Fonction de transfert et comportement entrée/sortie du filtre passe-bande

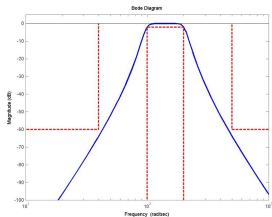
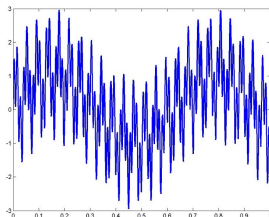
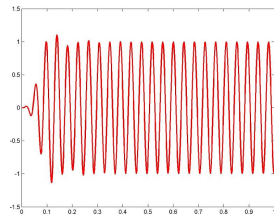


Diagramme de Bode du filtre obtenu



signal d'entrée :  
 $x(t) = \sin(10t) + \sin(150t) + \sin(500t)$



signal de sortie

- $\sin(10t)$  et  $\sin(500t)$  sont atténués
- $\sin(150t)$  est transmise

## 5.5 Synthèse d'un filtre coupe-bande

On veut synthétiser un filtre de Butterworth qui respecte les spécifications :

- un gain inférieur à  $-A_a = -75$  dB entre  $\omega_{a-} = 5$  rad/s et  $\omega_{a+} = 15$  rad/s
- un gain supérieur à  $-A_p = -3$  dB en dessous de  $\omega_{p-} = 1$  rad/s et au dessus de  $\omega_{p+} = 75$  rad/s

## 5.5 Synthèse d'un filtre coupe-bande

On veut synthétiser un filtre de Butterworth qui respecte les spécifications :

- un gain inférieur à  $-A_a = -75$  dB entre  $\omega_{a-} = 5$  rad/s et  $\omega_{a+} = 15$  rad/s
- un gain supérieur à  $-A_p = -3$  dB en dessous de  $\omega_{p-} = 1$  rad/s et au dessus de  $\omega_{p+} = 75$  rad/s
- Le facteur de forme est :  $\varepsilon = \sqrt{10^{\frac{A_p}{10}} - 1}$   
→ donc  $\varepsilon = 1$

## 5.5 Synthèse d'un filtre coupe-bande

On veut synthétiser un filtre de Butterworth qui respecte les spécifications :

- un gain inférieur à  $-A_a = -75$  dB entre  $\omega_{a-} = 5$  rad/s et  $\omega_{a+} = 15$  rad/s
- un gain supérieur à  $-A_p = -3$  dB en dessous de  $\omega_{p-} = 1$  rad/s et au dessus de  $\omega_{p+} = 75$  rad/s
- Le facteur de forme est :  $\varepsilon = \sqrt{10^{\frac{A_p}{10}} - 1}$   
→ donc  $\varepsilon = 1$
- L'ordre doit vérifier :  $n \geq \frac{A_a - A_p}{20 \log\left(\frac{1}{k}\right)} = 4.14$   
→ donc  $n = 5$

## 5.5 Synthèse d'un filtre coupe-bande

On veut synthétiser un filtre de Butterworth qui respecte les spécifications :

- un gain inférieur à  $-A_a = -75$  dB entre  $\omega_{a-} = 5$  rad/s et  $\omega_{a+} = 15$  rad/s
- un gain supérieur à  $-A_p = -3$  dB en dessous de  $\omega_{p-} = 1$  rad/s et au dessus de  $\omega_{p+} = 75$  rad/s

- Le facteur de forme est :  $\varepsilon = \sqrt{10^{\frac{A_p}{10}} - 1}$

→ donc  $\varepsilon = 1$

- L'ordre doit vérifier :  $n \geq \frac{A_a - A_p}{20 \log\left(\frac{1}{k}\right)} = 4.14$

→ donc  $n = 5$

- Le filtre de Butterworth d'ordre 5 donne le FPBNE  $H_n(p_n)$

→ donc  $H_n(p_n) = \frac{1}{0.9976p_n^5 + 3.23p_n^4 + 5.229p_n^3 + 5.231p_n^2 + 3.235p_n + 1}$

## 5.5 Synthèse d'un filtre coupe-bande

On veut synthétiser un filtre de Butterworth qui respecte les spécifications :

- un gain inférieur à  $-A_a = -75$  dB entre  $\omega_{a-} = 5$  rad/s et  $\omega_{a+} = 15$  rad/s
- un gain supérieur à  $-A_p = -3$  dB en dessous de  $\omega_{p-} = 1$  rad/s et au dessus de  $\omega_{p+} = 75$  rad/s

- Le facteur de forme est :  $\varepsilon = \sqrt{10^{\frac{A_p}{10}} - 1}$

→ donc  $\varepsilon = 1$

- L'ordre doit vérifier :  $n \geq \frac{A_a - A_p}{20 \log\left(\frac{1}{k}\right)} = 4.14$

→ donc  $n = 5$

- Le filtre de Butterworth d'ordre 5 donne le FPBNE  $H_n(p_n)$

→ donc  $H_n(p_n) = \frac{1}{0.9976p_n^5 + 3.23p_n^4 + 5.229p_n^3 + 5.231p_n^2 + 3.235p_n + 1}$

- La sélectivité est  $k = \frac{\omega_{a+} - \omega_{a-}}{\omega_{p+} - \omega_{p-}} = 0.14$

→ la dénormalisation est :  $p_n = \frac{\omega_{p+} - \omega_{p-}}{\omega_0} \left( \frac{\omega_0}{p} + \frac{p}{\omega_0} \right)^{-1}$

→ donc la fonction de transfert  $H(p)$  est donnée par :



## 5.5 Synthèse d'un filtre coupe-bande

On veut synthétiser un filtre de Butterworth qui respecte les spécifications :

- un gain inférieur à  $-A_a = -75$  dB entre  $\omega_{a-} = 5$  rad/s et  $\omega_{a+} = 15$  rad/s
- un gain supérieur à  $-A_p = -3$  dB en dessous de  $\omega_{p-} = 1$  rad/s et au dessus de  $\omega_{p+} = 75$  rad/s

- Le facteur de forme est :  $\varepsilon = \sqrt{10^{\frac{A_p}{10}} - 1}$

→ donc  $\varepsilon = 1$

- L'ordre doit vérifier :  $n \geq \frac{A_a - A_p}{20 \log\left(\frac{1}{k}\right)} = 4.14$

→ donc  $n = 5$

- Le filtre de Butterworth d'ordre 5 donne le FPBNE  $H_n(p_n)$

→ donc  $H_n(p_n) = \frac{1}{0.9976p_n^5 + 3.23p_n^4 + 5.229p_n^3 + 5.231p_n^2 + 3.235p_n + 1}$

- La sélectivité est  $k = \frac{\omega_{a+} - \omega_{a-}}{\omega_{p+} - \omega_{p-}} = 0.14$

→ la dénormalisation est :  $p_n = \frac{\omega_{p+} - \omega_{p-}}{\omega_0} \left( \frac{\omega_0}{p} + \frac{p}{\omega_0} \right)^{-1}$

→ donc la fonction de transfert  $H(p)$  est donnée par :

$$\frac{p^{10} + 375p^8 + 5.63 \cdot 10^4 p^6 + 4.22 \cdot 10^6 p^4 + 1.58 \cdot 10^8 p^2 + 2.37 \cdot 10^9}{p^{10} + 239p^9 + 2.90 \cdot 10^4 p^8 + 2.19 \cdot 10^6 p^7 + 1.03 \cdot 10^8 p^6 + 2.54 \cdot 10^9 p^5 + 7.75 \cdot 10^9 p^4 + 1.23 \cdot 10^{10} p^3 + 1.22 \cdot 10^{10} p^2 + 7.57 \cdot 10^{10} p + 2.37 \cdot 10^9}$$

## 5.5 Synthèse d'un filtre coupe-bande

Fonction de transfert et comportement entrée/sortie du filtre coupe-bande

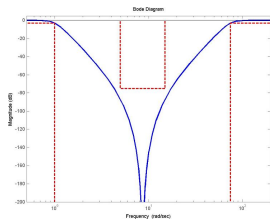


Diagramme de  
Bode du filtre  
obtenu

## 5.5 Synthèse d'un filtre coupe-bande

Fonction de transfert et comportement entrée/sortie du filtre coupe-bande

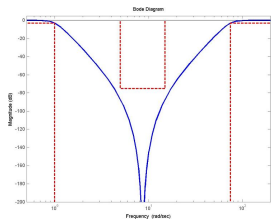
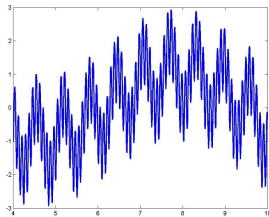


Diagramme de Bode du filtre obtenu



signal d'entrée :  
 $x(t) = \sin(1t) + \sin(10t) + \sin(75t)$

# 5.5 Synthèse d'un filtre coupe-bande

Fonction de transfert et comportement entrée/sortie du filtre coupe-bande

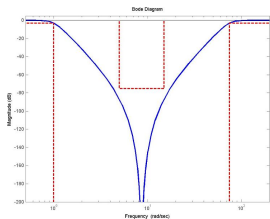
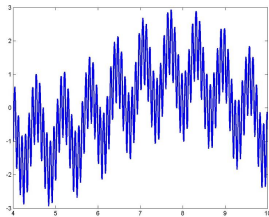
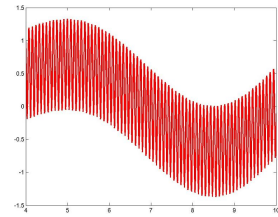


Diagramme de Bode du filtre obtenu



signal d'entrée :  
 $x(t) = \sin(1t) + \sin(10t) + \sin(75t)$



signal de sortie

- $\sin(1t)$  et  $\sin(75t)$  sont transmises
- $\sin(10t)$  est atténuée

# 6.1 Introduction

- On a supposé que les signaux sont ...
  - mesurés à tout instant
  - connus analytiquement
  - générés de manière continue

# 6.1 Introduction

- On a supposé que les signaux sont ...
    - mesurés à tout instant
    - connus analytiquement
    - générés de manière continue
  
  - **mais** concrètement les signaux sont ...
    - mesurés à certains instants (carte d'acquisition, capteurs en réseau, ...)
    - traités numériquement (calculateurs embarqués, PC, ...)
    - générés à certains instants
- on parle de signaux à temps **discret**

# 6.1 Introduction

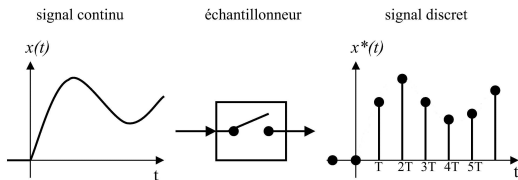
- On a supposé que les signaux sont ...
    - mesurés à tout instant
    - connus analytiquement
    - générés de manière continue
  
  - **mais** concrètement les signaux sont ...
    - mesurés à certains instants (carte d'acquisition, capteurs en réseau, ...)
    - traités numériquement (calculateurs embarqués, PC, ...)
    - générés à certains instants
- on parle de signaux à temps **discret**

- Il faut donc généraliser les techniques étudiées au cas discret :

	<b>continu</b>	<b>discret</b>
<b>signal</b>	fonction du temps	suite de valeurs
<b>système</b>	équation différentielle	relation de récurrence
<b>outil</b>	transformation de Laplace	...
<b>filtre</b>	fonction de transfert $H(p)$	...

## 6.2 Signaux à temps discret

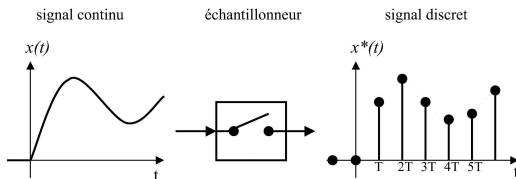
Un signal discret est obtenu par échantillonnage :





## 6.2 Signaux à temps discret

Un signal discret est obtenu par échantillonnage :

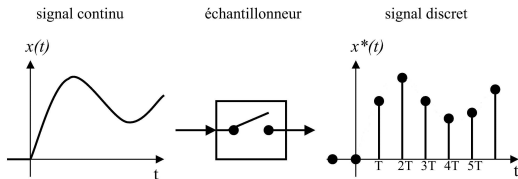


### Hypothèse

Les mesures du signal  $x(t)$  sont **régulièrement** espacées dans le temps. La période séparant deux mesures consécutives est notée  $T$  et appelé **période d'échantillonnage** (en s).

## 6.2 Signaux à temps discret

Un signal discret est obtenu par échantillonnage :



### Hypothèse

Les mesures du signal  $x(t)$  sont **régulièrement** espacées dans le temps. La période séparant deux mesures consécutives est notée  $T$  et appelé **période d'échantillonnage** (en s).

### Signal à temps discret

Le signal  $x(t)$ , échantillonné à  $T$  est défini par la suite :

$$x^*(t) = \{x(0) \ x(T) \ x(2T) \ \dots \ x(nT) \ \dots\} = \{x(kT)\}_{k \in \mathbb{N}}$$

ou par :

$$x^*(t) = x(t) \sum_{k=0}^{+\infty} \delta^*(t - kT)$$

## 6.2 Quelques exemples de signaux discrets

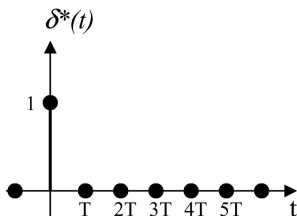
- **Impulsion unitaire**

Signal défini par :

$$\delta^*(kT) = \begin{cases} 1, & \text{si } k = 0 \\ 0, & \text{si } k \neq 0 \end{cases}$$

ou la suite :

$$\delta^*(t) = \{\underline{1} \ 0 \ 0 \ \dots\}$$



## 6.2 Quelques exemples de signaux discrets

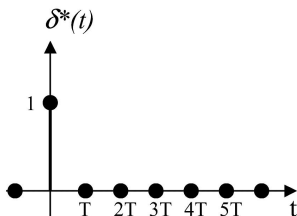
- **Impulsion unitaire**

Signal défini par :

$$\delta^*(kT) = \begin{cases} 1, & \text{si } k = 0 \\ 0, & \text{si } k \neq 0 \end{cases}$$

ou la suite :

$$\delta^*(t) = \{\underline{1} \ 0 \ 0 \ \dots\}$$



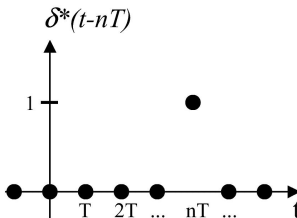
- **Impulsion unitaire retardée**

Signal défini par :

$$\delta^*(kT - nT) = \begin{cases} 1, & \text{si } k = n \\ 0, & \text{si } k \neq n \end{cases}$$

ou la suite :

$$\delta^*(t - nT) = \{\underline{0} \ 0 \ \dots \ 0 \ 1 \ 0 \ 0 \ \dots\}$$



## 6.2 Quelques exemples de signaux discrets

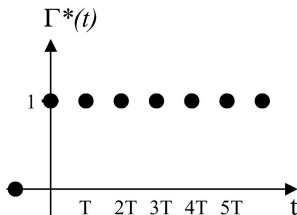
- **Echelon unitaire**

Signal défini par :

$$\Gamma^*(kT) = \begin{cases} 1, & \text{si } k \geq 0 \\ 0, & \text{si } k < 0 \end{cases}$$

ou par la suite :

$$\Gamma^*(t) = \{\underline{1} \ 1 \ 1 \ \dots\}$$



## 6.2 Quelques exemples de signaux discrets

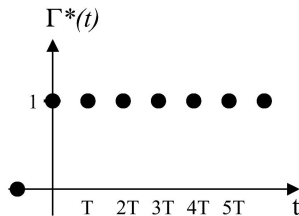
- **Echelon unitaire**

Signal défini par :

$$\Gamma^*(kT) = \begin{cases} 1, & \text{si } k \geq 0 \\ 0, & \text{si } k < 0 \end{cases}$$

ou par la suite :

$$\Gamma^*(t) = \{\underline{1} \ 1 \ 1 \ \dots\}$$



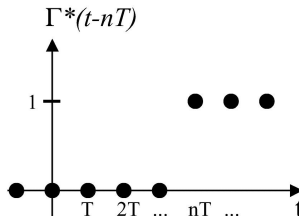
- **Echelon unitaire retardé**

Signal défini par :

$$\Gamma^*(kT - nT) = \begin{cases} 1, & \text{si } k \geq n \\ 0, & \text{si } k < n \end{cases}$$

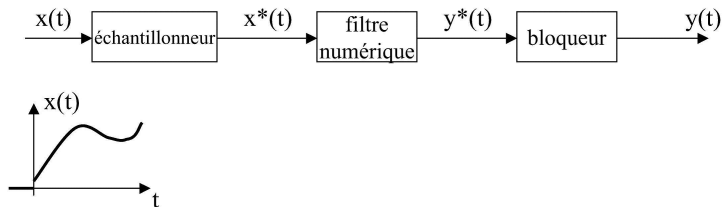
ou par la suite :

$$\Gamma^*(t - nT) = \{\underline{0} \ \dots \ 0 \ 1 \ 1 \ \dots\}$$



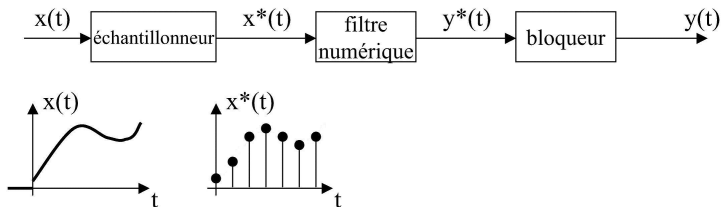
## 6.2 Traitement numérique de signaux continus

- Le traitement numérique d'un signal continu comporte 3 étapes :



## 6.2 Traitement numérique de signaux continus

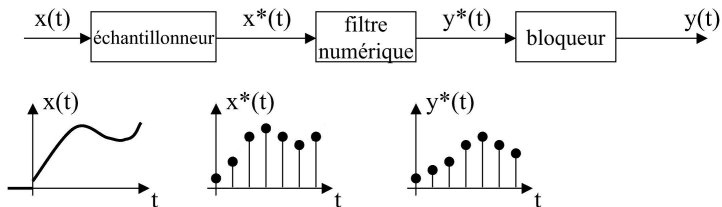
- **Le traitement numérique d'un signal continu comporte 3 étapes :**
  - **échantillonnage**
    - transformation continu  $\rightarrow$  discret
    - dépend de la période d'échantillonnage choisie





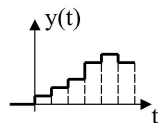
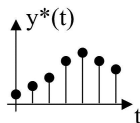
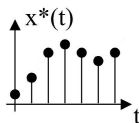
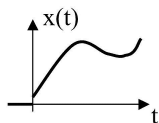
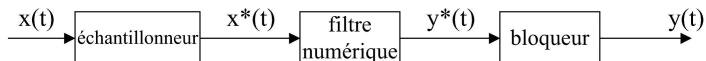
## 6.2 Traitement numérique de signaux continus

- **Le traitement numérique d'un signal continu comporte 3 étapes :**
  - **échantillonnage**
    - transformation continu  $\rightarrow$  discret
    - dépend de la période d'échantillonnage choisie
  - **traitement numérique**
    - relation de récurrence entre suites



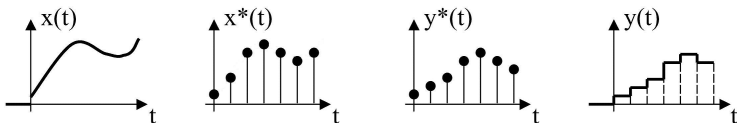
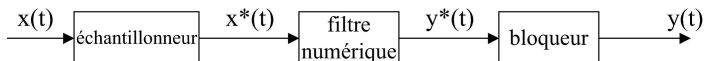
## 6.2 Traitement numérique de signaux continus

- **Le traitement numérique d'un signal continu comporte 3 étapes :**
  - **échantillonnage**
    - transformation continu  $\rightarrow$  discret
    - dépend de la période d'échantillonnage choisie
  - **traitement numérique**
    - relation de récurrence entre suites
  - **reconstruction**
    - transformation discret  $\rightarrow$  continu
    - blocage : le signal discret est bloqué à sa valeur pendant une période  $T$



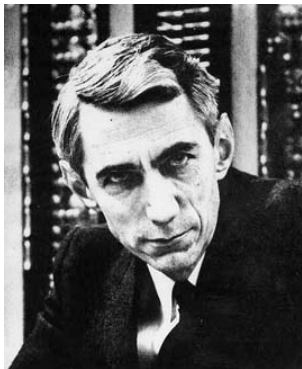
## 6.2 Traitement numérique de signaux continus

- **Le traitement numérique d'un signal continu comporte 3 étapes :**
  - **échantillonnage**
    - transformation continu  $\rightarrow$  discret
    - dépend de la période d'échantillonnage choisie
  - **traitement numérique**
    - relation de récurrence entre suites
  - **reconstruction**
    - transformation discret  $\rightarrow$  continu
    - blocage : le signal discret est bloqué à sa valeur pendant une période  $T$



- **Problème** : comment ne pas perdre d'information lors du traitement ?

## 6.2 Théorème de Shannon



Claude ... (1916 - 2001)

## 6.2 Théorème de Shannon

Peut-on retrouver  $x(t)$  après les conversions discret  $\rightarrow$  continu  $\rightarrow$  discret ?

## 6.2 Théorème de Shannon

**Peut-on retrouver  $x(t)$  après les conversions discret  $\rightarrow$  continu  $\rightarrow$  discret ?**

- le signal discret est donné par  $(x(t)) * \text{peigne de Dirac}$  :

$$x^*(t) = x(t) \sum_{k=-\infty}^{+\infty} \delta^*(t - kT)$$

## 6.2 Théorème de Shannon

Peut-on retrouver  $x(t)$  après les conversions discret  $\rightarrow$  continu  $\rightarrow$  discret ?

- le signal discret est donné par  $(x(t) * \text{peigne de Dirac})$  :

$$x^*(t) = x(t) \sum_{k=-\infty}^{+\infty} \delta^*(t - kT)$$

- on peut développer le *peigne de Dirac* en série d'exponentielles :

$$x^*(t) = x(t) \sum_{k=-\infty}^{+\infty} C_k e^{j\frac{2\pi}{T}kt}$$

$$\text{où : } C_k = \frac{1}{T} \int_{-\frac{T}{2}}^{+\frac{T}{2}} \sum_{\ell=-\infty}^{+\infty} \delta^*(t - \ell T) e^{-j\frac{2\pi}{T}kt} dt = \frac{1}{T}$$

## 6.2 Théorème de Shannon

Peut-on retrouver  $x(t)$  après les conversions discret  $\rightarrow$  continu  $\rightarrow$  discret ?

- le signal discret est donné par  $(x(t) * \text{peigne de Dirac})$  :

$$x^*(t) = x(t) \sum_{k=-\infty}^{+\infty} \delta^*(t - kT)$$

- on peut développer le *peigne de Dirac* en série d'exponentielles :

$$x^*(t) = x(t) \sum_{k=-\infty}^{+\infty} C_k e^{j\frac{2\pi}{T}kt}$$

où :  $C_k = \frac{1}{T} \int_{-\frac{T}{2}}^{+\frac{T}{2}} \sum_{\ell=-\infty}^{+\infty} \delta^*(t - \ell T) e^{-j\frac{2\pi}{T}kt} dt = \frac{1}{T}$

- la transformée de Fourier de  $x^*(t)$  est donnée par :

$$X^*(\omega) = \int_{-\infty}^{+\infty} \left( x(t) \sum_{k=-\infty}^{+\infty} \frac{1}{T} e^{j\frac{2\pi}{T}kt} \right) e^{-j\omega t} dt$$



## 6.2 Théorème de Shannon

Peut-on retrouver  $x(t)$  après les conversions discret  $\rightarrow$  continu  $\rightarrow$  discret ?

- le signal discret est donné par  $(x(t) * \text{peigne de Dirac})$  :

$$x^*(t) = x(t) \sum_{k=-\infty}^{+\infty} \delta^*(t - kT)$$

- on peut développer le *peigne de Dirac* en série d'exponentielles :

$$x^*(t) = x(t) \sum_{k=-\infty}^{+\infty} C_k e^{j \frac{2\pi}{T} kt}$$

$$\text{où : } C_k = \frac{1}{T} \int_{-\frac{T}{2}}^{+\frac{T}{2}} \sum_{\ell=-\infty}^{+\infty} \delta^*(t - \ell T) e^{-j \frac{2\pi}{T} kt} dt = \frac{1}{T}$$

- la transformée de Fourier de  $x^*(t)$  est donnée par :

$$X^*(\omega) = \int_{-\infty}^{+\infty} \left( x(t) \sum_{k=-\infty}^{+\infty} \frac{1}{T} e^{j \frac{2\pi}{T} kt} \right) e^{-j\omega t} dt$$

- avec  $\omega_e = \frac{2\pi}{T}$ , il vient :

$$X^*(\omega) = \sum_{k=-\infty}^{+\infty} \frac{1}{T} \int_{-\infty}^{+\infty} x(t) e^{j(\omega_e k - \omega)t} dt = \sum_{k=-\infty}^{+\infty} \frac{1}{T} X(\omega - \omega_e k)$$

## 6.2 Théorème de Shannon

- On suppose que le spectre du signal continu est à support borné :

$$X(\omega) = 0 \text{ si } \omega \notin [-\omega_0 \ \omega_0]$$

## 6.2 Théorème de Shannon

- On suppose que le spectre du signal continu est à support borné :

$$X(\omega) = 0 \text{ si } \omega \notin [-\omega_0 \ \omega_0]$$

- La T.F. de  $x^*(t)$  est la répétition de  $X(\omega)$  tous les  $\omega_e = \frac{2\pi}{T}$  :

$$X^*(\omega) = \sum_{k=-\infty}^{+\infty} \frac{1}{T} X(\omega - \omega_e k)$$

→ 2 cas sont à distinguer

## 6.2 Théorème de Shannon

- On suppose que le spectre du signal continu est à support borné :

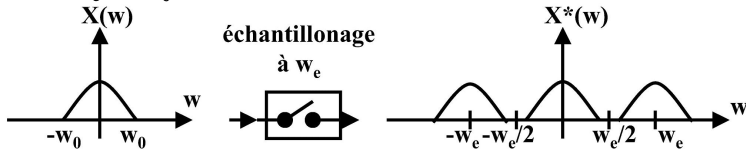
$$X(\omega) = 0 \text{ si } \omega \notin [-\omega_0 \ \omega_0]$$

- La T.F. de  $x^*(t)$  est la répétition de  $X(\omega)$  tous les  $\omega_e = \frac{2\pi}{T}$  :

$$X^*(\omega) = \sum_{k=-\infty}^{+\infty} \frac{1}{T} X(\omega - \omega_e k)$$

→ 2 cas sont à distinguer

- cas où  $\omega_e > 2\omega_0$



## 6.2 Théorème de Shannon

- On suppose que le spectre du signal continu est à support borné :

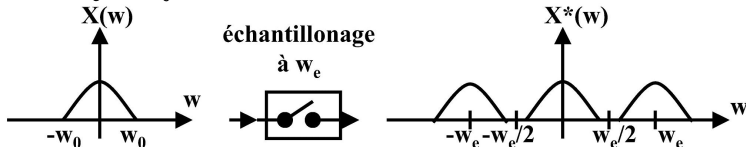
$$X(\omega) = 0 \text{ si } \omega \notin [-\omega_0 \ \omega_0]$$

- La T.F. de  $x^*(t)$  est la répétition de  $X(\omega)$  tous les  $\omega_e = \frac{2\pi}{T}$  :

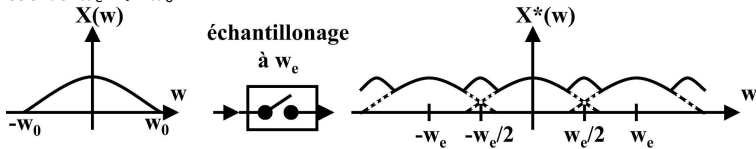
$$X^*(\omega) = \sum_{k=-\infty}^{+\infty} \frac{1}{T} X(\omega - \omega_e k)$$

→ 2 cas sont à distinguer

- cas où  $\omega_e > 2\omega_0$



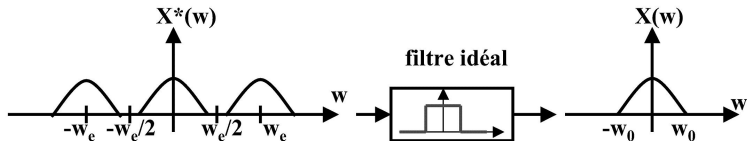
- cas où  $\omega_e < 2\omega_0$



## 6.2 Théorème de Shannon

Peut-on retrouver  $x(t)$  après les conversions discret  $\rightarrow$  continu  $\rightarrow$  discret ?

- Dans le cas où  $\omega_e > 2\omega_0$

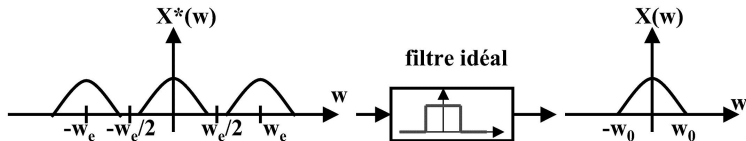


$\rightarrow$  on peut reconstruire le signal  $x(t)$  à partir de  $x^*(t)$

## 6.2 Théorème de Shannon

Peut-on retrouver  $x(t)$  après les conversions discret  $\rightarrow$  continu  $\rightarrow$  discret ?

- Dans le cas où  $\omega_e > 2\omega_0$



$\rightarrow$  on peut reconstruire le signal  $x(t)$  à partir de  $x^*(t)$

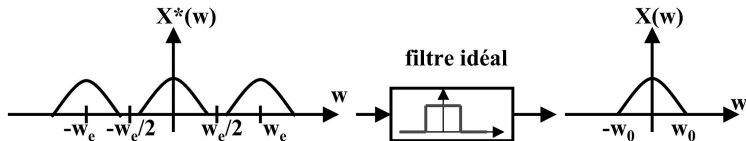
Avec le filtre porte idéal, on a :

$$x(t) = \frac{1}{2\pi} \int_{-\infty}^{+\infty} X(\omega) e^{j\omega t} d\omega = \frac{T}{2\pi} \int_{-\omega_e/2}^{+\omega_e/2} X^*(\omega) e^{j\omega t} d\omega$$

## 6.2 Théorème de Shannon

Peut-on retrouver  $x(t)$  après les conversions discret  $\rightarrow$  continu  $\rightarrow$  discret ?

- Dans le cas où  $\omega_e > 2\omega_0$



$\rightarrow$  on peut reconstruire le signal  $x(t)$  à partir de  $x^*(t)$

Avec le filtre porte idéal, on a :

$$x(t) = \frac{1}{2\pi} \int_{-\infty}^{+\infty} X(\omega) e^{j\omega t} d\omega = \frac{T}{2\pi} \int_{-\omega_e/2}^{+\omega_e/2} X^*(\omega) e^{j\omega t} d\omega$$

Avec  $X^*(\omega) = \sum_{k=-\infty}^{+\infty} x(kT) e^{-j\omega kT}$  il vient :

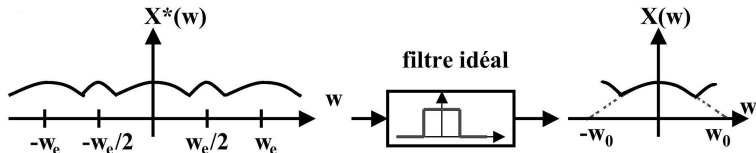
$$x(t) = x^*(t) \star \frac{\sin(\omega_e t/2)}{\omega_e t/2}$$



## 6.2 Théorème de Shannon

Peut-on retrouver  $x(t)$  après les conversions discret  $\rightarrow$  continu  $\rightarrow$  discret ?

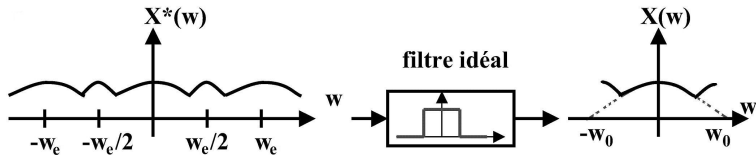
- Dans le cas où  $\omega_e < 2\omega_0$



## 6.2 Théorème de Shannon

Peut-on retrouver  $x(t)$  après les conversions discret  $\rightarrow$  continu  $\rightarrow$  discret ?

- Dans le cas où  $\omega_e < 2\omega_0$



Zone de recouvrement

$\rightarrow$  impossible de distinguer  $X(\omega)$  et  $X(\omega \pm \omega_e)$

$\rightarrow$  **il est impossible de reconstruire le signal  $x(t)$  à partir de  $x^*(t)$**

## 6.2 Théorème de Shannon

### Théorème de Shannon

Soit un signal continu  $x(t)$  dont le spectre est à support borné  $[-\omega_0 \ \omega_0]$ .  
Le signal  $x(t)$  est échantillonné à la pulsation  $\omega_e = \frac{2\pi}{T}$  pour obtenir  $x^*(t)$ .  
Le signal continu peut être reconstruit à partir de  $x^*(t)$  si  $\omega_e > 2\omega_0$

## 6.2 Théorème de Shannon

### Théorème de Shannon

Soit un signal continu  $x(t)$  dont le spectre est à support borné  $[-\omega_0 \ \omega_0]$ .  
Le signal  $x(t)$  est échantillonné à la pulsation  $\omega_e = \frac{2\pi}{T}$  pour obtenir  $x^*(t)$ .  
Le signal continu peut être reconstruit à partir de  $x^*(t)$  si  $\omega_e > 2\omega_0$

- **Application :**

Peut on reconstruire le signal  $x(t) = \sin(100t) + 0.5 \sin(t) + 0.24 \sin(5t)$ ,  
s'il a été échantillonné avec une période  $T = 0.05$  s ?

## 6.2 Théorème de Shannon

### Théorème de Shannon

Soit un signal continu  $x(t)$  dont le spectre est à support borné  $[-\omega_0 \ \omega_0]$ .  
Le signal  $x(t)$  est échantillonné à la pulsation  $\omega_e = \frac{2\pi}{T}$  pour obtenir  $x^*(t)$ .  
Le signal continu peut être reconstruit à partir de  $x^*(t)$  si  $\omega_e > 2\omega_0$

- **Application :**

Peut on reconstruire le signal  $x(t) = \sin(100t) + 0.5 \sin(t) + 0.24 \sin(5t)$ ,  
s'il a été échantillonné avec une période  $T = 0.05$  s ?

- le spectre de  $x(t)$  a trois composantes :  
 $\omega_1 = 5$  rad/s,  $\omega_2 = 1$  rad/s et  $\omega_3 = 100$  rad/s

## 6.2 Théorème de Shannon

### Théorème de Shannon

Soit un signal continu  $x(t)$  dont le spectre est à support borné  $[-\omega_0 \ \omega_0]$ .  
Le signal  $x(t)$  est échantillonné à la pulsation  $\omega_e = \frac{2\pi}{T}$  pour obtenir  $x^*(t)$ .  
Le signal continu peut être reconstruit à partir de  $x^*(t)$  si  $\omega_e > 2\omega_0$

- **Application :**

Peut on reconstruire le signal  $x(t) = \sin(100t) + 0.5 \sin(t) + 0.24 \sin(5t)$ ,  
s'il a été échantillonné avec une période  $T = 0.05$  s ?

- le spectre de  $x(t)$  a trois composantes :  
 $\omega_1 = 5$  rad/s,  $\omega_2 = 1$  rad/s et  $\omega_3 = 100$  rad/s
- le support du spectre est :  
 $[-\omega_0 \ \omega_0] = [-100 \ 100]$

## 6.2 Théorème de Shannon

### Théorème de Shannon

Soit un signal continu  $x(t)$  dont le spectre est à support borné  $[-\omega_0 \ \omega_0]$ .  
Le signal  $x(t)$  est échantillonné à la pulsation  $\omega_e = \frac{2\pi}{T}$  pour obtenir  $x^*(t)$ .  
Le signal continu peut être reconstruit à partir de  $x^*(t)$  si  $\omega_e > 2\omega_0$

- **Application :**

Peut on reconstruire le signal  $x(t) = \sin(100t) + 0.5 \sin(t) + 0.24 \sin(5t)$ ,  
s'il a été échantillonné avec une période  $T = 0.05$  s ?

- le spectre de  $x(t)$  a trois composantes :  
 $\omega_1 = 5$  rad/s,  $\omega_2 = 1$  rad/s et  $\omega_3 = 100$  rad/s
- le support du spectre est :  
 $[-\omega_0 \ \omega_0] = [-100 \ 100]$
- la pulsation d'échantillonnage doit vérifier :  $\omega_e > 2\omega_0 = 200$  rad/s

## 6.2 Théorème de Shannon

### Théorème de Shannon

Soit un signal continu  $x(t)$  dont le spectre est à support borné  $[-\omega_0 \ \omega_0]$ .  
Le signal  $x(t)$  est échantillonné à la pulsation  $\omega_e = \frac{2\pi}{T}$  pour obtenir  $x^*(t)$ .  
Le signal continu peut être reconstruit à partir de  $x^*(t)$  si  $\omega_e > 2\omega_0$

- **Application :**

Peut on reconstruire le signal  $x(t) = \sin(100t) + 0.5 \sin(t) + 0.24 \sin(5t)$ ,  
s'il a été échantillonné avec une période  $T = 0.05$  s ?

- le spectre de  $x(t)$  a trois composantes :  
 $\omega_1 = 5$  rad/s,  $\omega_2 = 1$  rad/s et  $\omega_3 = 100$  rad/s
- le support du spectre est :  
 $[-\omega_0 \ \omega_0] = [-100 \ 100]$
- la pulsation d'échantillonnage doit vérifier :  $\omega_e > 2\omega_0 = 200$  rad/s
- la période d'échantillonnage doit vérifier :  $T < \frac{\pi}{\omega_0} = 0.0314$  s



## 6.2 Théorème de Shannon

### Théorème de Shannon

Soit un signal continu  $x(t)$  dont le spectre est à support borné  $[-\omega_0 \ \omega_0]$ .  
Le signal  $x(t)$  est échantillonné à la pulsation  $\omega_e = \frac{2\pi}{T}$  pour obtenir  $x^*(t)$ .  
Le signal continu peut être reconstruit à partir de  $x^*(t)$  si  $\omega_e > 2\omega_0$

- **Application :**

Peut on reconstruire le signal  $x(t) = \sin(100t) + 0.5 \sin(t) + 0.24 \sin(5t)$ ,  
s'il a été échantillonné avec une période  $T = 0.05$  s ?

- le spectre de  $x(t)$  a trois composantes :  
 $\omega_1 = 5$  rad/s,  $\omega_2 = 1$  rad/s et  $\omega_3 = 100$  rad/s
- le support du spectre est :  
 $[-\omega_0 \ \omega_0] = [-100 \ 100]$
- la pulsation d'échantillonnage doit vérifier :  $\omega_e > 2\omega_0 = 200$  rad/s
- la période d'échantillonnage doit vérifier :  $T < \frac{\pi}{\omega_0} = 0.0314$  s
- $T = 0.05$  s est trop grand, le signal ne pourra pas être reconstruit correctement.

## 6.3 Propriétés des systèmes à temps discret

### Linéarité

Le système  $\Sigma$  à temps discret est linéaire si, pour toutes constantes  $\alpha$  et  $\beta$ , et tous signaux d'entrée  $x_1^*(t)$  et  $x_2^*(t)$ , on a la propriété suivante :

- si l'entrée  $x_1^*(t)$  provoque la sortie  $y_1^*(t)$
- si l'entrée  $x_2^*(t)$  provoque la sortie  $y_2^*(t)$
- alors l'entrée  $x(t) = \alpha x_1^*(t) + \beta x_2^*(t)$  provoque la sortie  $y(t) = \alpha y_1^*(t) + \beta y_2^*(t)$

## 6.3 Propriétés des systèmes à temps discret

### Linéarité

Le système  $\Sigma$  à temps discret est linéaire si, pour toutes constantes  $\alpha$  et  $\beta$ , et tous signaux d'entrée  $x_1^*(t)$  et  $x_2^*(t)$ , on a la propriété suivante :

- si l'entrée  $x_1^*(t)$  provoque la sortie  $y_1^*(t)$
- si l'entrée  $x_2^*(t)$  provoque la sortie  $y_2^*(t)$
- alors l'entrée  $x(t) = \alpha x_1^*(t) + \beta x_2^*(t)$  provoque la sortie  $y(t) = \alpha y_1^*(t) + \beta y_2^*(t)$

### Stationnarité

Un processus à temps discret est stationnaire, si pour tout entier  $m$

- si la réponse du système à l'entrée  $u^*(t)$  est  $y^*(t)$
- alors la réponse à une entrée  $u^*(t - mT)$ , est donnée par  $y^*(t - mT)$

## 6.3 Propriétés des systèmes à temps discret

### Linéarité

Le système  $\Sigma$  à temps discret est linéaire si, pour toutes constantes  $\alpha$  et  $\beta$ , et tous signaux d'entrée  $x_1^*(t)$  et  $x_2^*(t)$ , on a la propriété suivante :

- si l'entrée  $x_1^*(t)$  provoque la sortie  $y_1^*(t)$
- si l'entrée  $x_2^*(t)$  provoque la sortie  $y_2^*(t)$
- alors l'entrée  $x(t) = \alpha x_1^*(t) + \beta x_2^*(t)$  provoque la sortie  $y(t) = \alpha y_1^*(t) + \beta y_2^*(t)$

### Stationnarité

Un processus à temps discret est stationnaire, si pour tout entier  $m$

- si la réponse du système à l'entrée  $u^*(t)$  est  $y^*(t)$
- alors la réponse à une entrée  $u^*(t - mT)$ , est donnée par  $y^*(t - mT)$

### Causalité

Un processus à temps discret est causal si  $y(nT)$  dépend uniquement :

- des valeurs de la sortie  $y(kT)$  pour  $k < n$
- des valeurs de l'entrée  $x(kT)$  pour  $k \leq n$

## 6.3 Systèmes à temps discret

**analogie continu/discret :**

continu  $\sim$  discret

dérivation  $\sim$  prévision

eq. différentielle  $\sim$  eq. récurrence

### Système à temps discret

Un système linéaire stationnaire causal à temps discret est décrit par une relation de récurrence entre les signaux d'entrée  $x^*(t)$  et de sortie  $y^*(t)$  :

$$a_0 y^*(t) + a_1 y^*(t-T) + \dots + a_n y^*(t-nT) = b_0 x^*(t) + b_1 x^*(t-T) + \dots + b_m x^*(t-mT)$$

## 6.3 Systèmes à temps discret

**analogie continu/discret :**

continu  $\sim$  discret

dérivation  $\sim$  prévision

eq. différentielle  $\sim$  eq. récurrence

### Système à temps discret

Un système linéaire stationnaire causal à temps discret est décrit par une relation de récurrence entre les signaux d'entrée  $x^*(t)$  et de sortie  $y^*(t)$  :

$$a_0 y^*(t) + a_1 y^*(t-T) + \dots + a_n y^*(t-nT) = b_0 x^*(t) + b_1 x^*(t-T) + \dots + b_m x^*(t-mT)$$

**Exemple :**

$$y^*(t) + \frac{1}{2} y^*(t-T) = x^*(t)$$

pour  $x^*(t) = \Gamma(t)$  et  $T = 0.1$  s.

$$y^*(t) = \{1 \quad 0.5 \quad 0.75 \quad 0.63 \quad 0.69 \quad 0.66 \dots\}$$

## 6.3 Systèmes à temps discret

analogie continu/discret :

continu  $\sim$  discret

dérivation  $\sim$  prévision

eq. différentielle  $\sim$  eq. récurrence

### Système à temps discret

Un système linéaire stationnaire causal à temps discret est décrit par une relation de récurrence entre les signaux d'entrée  $x^*(t)$  et de sortie  $y^*(t)$  :

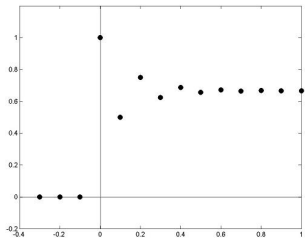
$$a_0 y^*(t) + a_1 y^*(t-T) + \dots + a_n y^*(t-nT) = b_0 x^*(t) + b_1 x^*(t-T) + \dots + b_m x^*(t-mT)$$

**Exemple :**

$$y^*(t) + \frac{1}{2} y^*(t-T) = x^*(t)$$

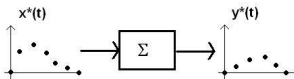
pour  $x^*(t) = \Gamma(t)$  et  $T = 0.1$  s.

$$y^*(t) = \{1 \quad 0.5 \quad 0.75 \quad 0.63 \quad 0.69 \quad 0.66 \dots\}$$



## 6.3 Systèmes à temps discret

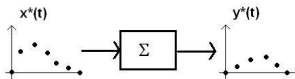
- Soit un système linéaire, causal, stationnaire



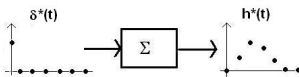


## 6.3 Systèmes à temps discret

- Soit un système linéaire, causal, stationnaire

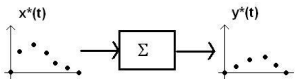


- on suppose connaître sa réponse impulsionnelle  $h^*(t)$

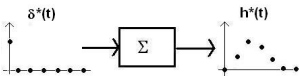


## 6.3 Systèmes à temps discret

- Soit un système linéaire, causal, stationnaire



- on suppose connaître sa réponse impulsionnelle  $h^*(t)$

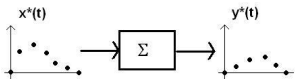


- en décomposant l'entrée sous la forme

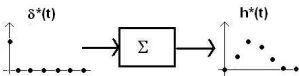
$$x^*(t) = \sum_{k=0}^{\infty} x(kT)\delta^*(t - kT)$$

## 6.3 Systèmes à temps discret

- Soit un système linéaire, causal, stationnaire



- on suppose connaître sa réponse impulsionnelle  $h^*(t)$



- en décomposant l'entrée sous la forme

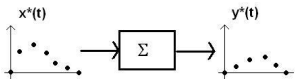
$$x^*(t) = \sum_{k=0}^{\infty} x(kT)\delta^*(t - kT)$$

- par linéarité et stationnarité, on peut écrire

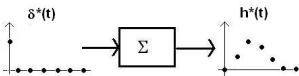
$$y^*(t) = h^*(t) \star x^*(t)$$

## 6.3 Systèmes à temps discret

- Soit un système linéaire, causal, stationnaire



- on suppose connaître sa réponse impulsionnelle  $h^*(t)$



- en décomposant l'entrée sous la forme

$$x^*(t) = \sum_{k=0}^{\infty} x(kT)\delta^*(t - kT)$$

- par linéarité et stationnarité, on peut écrire

$$y^*(t) = h^*(t) \star x^*(t)$$

→ il faut un outil mathématique pour manier la convolution ( $\sim$  T. Laplace)

## 6.4 Transformée en $z$

### Transformée en $z$

La transformée en  $z$  du signal  $x^*(t)$  (causal) est définie par :

$$\mathcal{Z}(x^*(t)) = X(z) = \sum_{k=0}^{+\infty} x(kT)z^{-k}$$

## 6.4 Transformée en $z$

### Transformée en $z$

La transformée en  $z$  du signal  $x^*(t)$  (causal) est définie par :

$$\mathcal{Z}(x^*(t)) = X(z) = \sum_{k=0}^{+\infty} x(kT)z^{-k}$$

### Transformée inverse en $z$

La transformée inverse d'une fraction rationnelle en  $z$ ,  $X(z)$ , est donnée par

$$\mathcal{Z}^{-1}(X(z)) = x^*(t) = \frac{1}{2i\pi} \int_{\mathcal{C}} X(z)z^{k-1}dz$$

où  $\mathcal{C}$ , centré en l'origine, entoure tous les pôles de  $X(z)$ .

## 6.4 Transformée en $z$

### Transformée en $z$

La transformée en  $z$  du signal  $x^*(t)$  (causal) est définie par :

$$\mathcal{Z}(x^*(t)) = X(z) = \sum_{k=0}^{+\infty} x(kT)z^{-k}$$

### Transformée inverse en $z$

La transformée inverse d'une fraction rationnelle en  $z$ ,  $X(z)$ , est donnée par

$$\mathcal{Z}^{-1}(X(z)) = x^*(t) = \frac{1}{2i\pi} \int_{\mathcal{C}} X(z)z^{k-1}dz$$

où  $\mathcal{C}$ , centré en l'origine, entoure tous les pôles de  $X(z)$ .

### Exemples :

- Impulsion unitaire :  $\mathcal{Z}(\delta^*(t)) = 1$
- Échelon unitaire :  $\mathcal{Z}(\Gamma^*(t)) = \frac{1}{1-z^{-1}} = \frac{z}{z-1}$
- Exponentielle :  $\mathcal{Z}(\{e^{-akT}\}_{k \in \mathbb{N}}) = \frac{1}{1-e^{-aT}z^{-1}} = \frac{z}{z-e^{-aT}}$

## 6.4 Propriétés de la transformée en $z$

- **Linéarité :**

$$\mathcal{Z}(\alpha x_1^*(t) + \beta x_2^*(t)) = \alpha X_1(z) + \beta X_2(z)$$



## 6.4 Propriétés de la transformée en $z$

- **Linéarité :**

$$\mathcal{Z}(\alpha x_1^*(t) + \beta x_2^*(t)) = \alpha X_1(z) + \beta X_2(z)$$

- **Transformée en  $z$  d'un signal retardé :**

$$\mathcal{Z}(x^*(t - nT)) = z^{-n}X(z)$$

## 6.4 Propriétés de la transformée en $z$

- **Linéarité :**

$$\mathcal{Z}(\alpha x_1^*(t) + \beta x_2^*(t)) = \alpha X_1(z) + \beta X_2(z)$$

- **Transformée en  $z$  d'un signal retardé :**

$$\mathcal{Z}(x^*(t - nT)) = z^{-n}X(z)$$

- **Transformée en  $z$  d'un produit de convolution :**

$$\mathcal{Z}(x_1^*(t) \star x_2^*(t)) = X_1(z)X_2(z)$$

## 6.4 Propriétés de la transformée en $z$

- **Linéarité :**

$$\mathcal{Z}(\alpha x_1^*(t) + \beta x_2^*(t)) = \alpha X_1(z) + \beta X_2(z)$$

- **Transformée en  $z$  d'un signal retardé :**

$$\mathcal{Z}(x^*(t - nT)) = z^{-n}X(z)$$

- **Transformée en  $z$  d'un produit de convolution :**

$$\mathcal{Z}(x_1^*(t) \star x_2^*(t)) = X_1(z)X_2(z)$$

- **Valeur finale d'un signal :**

$$\lim_{t \rightarrow +\infty} x^*(t) = \lim_{z \rightarrow 1} (1 - z^{-1})X(z)$$

## 6.4 Propriétés de la transformée en $z$

- **Linéarité :**

$$\mathcal{Z}(\alpha x_1^*(t) + \beta x_2^*(t)) = \alpha X_1(z) + \beta X_2(z)$$

- **Transformée en  $z$  d'un signal retardé :**

$$\mathcal{Z}(x^*(t - nT)) = z^{-n}X(z)$$

- **Transformée en  $z$  d'un produit de convolution :**

$$\mathcal{Z}(x_1^*(t) \star x_2^*(t)) = X_1(z)X_2(z)$$

- **Valeur finale d'un signal :**

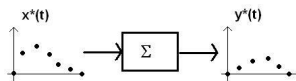
$$\lim_{t \rightarrow +\infty} x^*(t) = \lim_{z \rightarrow 1} (1 - z^{-1})X(z)$$

- **Valeur initiale d'un signal :**

$$x^*(0) = \lim_{z \rightarrow +\infty} X(z)$$

## 6.4 Fonction de transfert en $z$

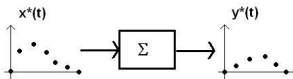
- La relation entrée/sortie d'un système linéaire (...) à temps discret est



$$y^*(t) = h^*(t) \star x^*(t)$$

## 6.4 Fonction de transfert en $z$

- La relation entrée/sortie d'un système linéaire (...) à temps discret est



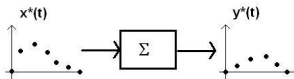
$$y^*(t) = h^*(t) \star x^*(t)$$

→ or la T.Z. d'un produit de convolution est un produit

$$\mathcal{Z}(h^*(t) \star x^*(t)) = H(z)X(z)$$

## 6.4 Fonction de transfert en $z$

- La relation entrée/sortie d'un système linéaire (...) à temps discret est



$$y^*(t) = h^*(t) \star x^*(t)$$

→ or la T.Z. d'un produit de convolution est un produit

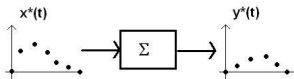
$$\mathcal{Z}(h^*(t) \star x^*(t)) = H(z)X(z)$$

→ donc la relation entrée/sortie peut s'écrire

$$Y(z) = H(z)X(z)$$

## 6.4 Fonction de transfert en $z$

- La relation entrée/sortie d'un système linéaire (...) à temps discret est



$$y^*(t) = h^*(t) \star x^*(t)$$

→ or la T.Z. d'un produit de convolution est un produit

$$\mathcal{Z}(h^*(t) \star x^*(t)) = H(z)X(z)$$

→ donc la relation entrée/sortie peut s'écrire

$$Y(z) = H(z)X(z)$$

### Fonction de transfert en $z$

Un système linéaire, stationnaire et causal à temps discret est décrit par sa fonction de transfert  $H(z)$ .

La fonction de transfert  $H(z)$  est la T.Z. de la réponse impulsionnelle :

$$H(z) = \mathcal{Z}(h^*(t))$$



## 6.4 Fonction de transfert en $z$

- On considère un système à temps discret décrit par :

$$y^*(t) + y^*(t - T) + 0.1y^*(t - 2T) = x^*(t) + x^*(t - T) - 3x^*(t - 3T)$$

## 6.4 Fonction de transfert en $z$

- On considère un système à temps discret décrit par :

$$y^*(t) + y^*(t - T) + 0.1y^*(t - 2T) = x^*(t) + x^*(t - T) - 3x^*(t - 3T)$$

- Par linéarité et avec  $\mathcal{Z}(x^*(t - nT)) = z^{-n}X(z)$ , on a :

$$Y(z) + z^{-1}Y(z) + 0.1z^{-2}Y(z) = X(z) + z^{-1}X(z) - 3z^{-3}X(z)$$

## 6.4 Fonction de transfert en $z$

- On considère un système à temps discret décrit par :

$$y^*(t) + y^*(t - T) + 0.1y^*(t - 2T) = x^*(t) + x^*(t - T) - 3x^*(t - 3T)$$

- Par linéarité et avec  $\mathcal{Z}(x^*(t - nT)) = z^{-n}X(z)$ , on a :

$$Y(z) + z^{-1}Y(z) + 0.1z^{-2}Y(z) = X(z) + z^{-1}X(z) - 3z^{-3}X(z)$$

- La fonction de transfert est donc définie par :

$$Y(z) = \underbrace{\frac{1 + z^{-1} - 3z^{-3}}{1 + z^{-1} + 0.1z^{-2}}}_{H(z)} X(z)$$

ou encore (pour faire apparaître tous les pôles) :

$$Y(z) = \underbrace{\frac{z^3 + z^2 - 3}{z^3 + z^2 + 0.1z}}_{H(z)} X(z)$$

## 6.5 Discrétisation de fonction de transfert en $p$

- **Filtrage de signaux à temps discret**

## 6.5 Discrétisation de fonction de transfert en $p$

- **Filtrage de signaux à temps discret**

spécifications fréquentielles

synthèse de filtre

filtre à temps continu  $H(p)$

## 6.5 Discrétisation de fonction de transfert en $p$

- **Filtrage de signaux à temps discret**

spécifications fréquentielles

synthèse de filtre

filtre à temps continu  $H(p)$

filtre à temps discret  $H(z)$

T.Z. inverse

Relation de récurrence entre signaux à temps discret

## 6.5 Discrétisation de fonction de transfert en $p$

- **Filtrage de signaux à temps discret**

spécifications fréquentielles

synthèse de filtre  
↓

filtre à temps continu  $H(p)$

discrétisation  
↓

filtre à temps discret  $H(z)$

T.Z. inverse  
↓

Relation de récurrence entre signaux à temps discret

## 6.5 Discrétisation de fonction de transfert en $p$

- **Filtrage de signaux à temps discret**

spécifications fréquentielles

synthèse de filtre

filtre à temps continu  $H(p)$

discrétisation

filtre à temps discret  $H(z)$

T.Z. inverse

Relation de récurrence entre signaux à temps discret

- Il manque une relation entre les variables  $p$  et  $z$

$p$	$\sim$ dérivation
$z^{-1}$	$\sim$ retard de $T$
$z$	$\sim$ avance de $T$



## 6.5 Discrétisation arrière (simple)

- On considère un système dérivateur  $y(t) = dx(t)/dt$ , sa F.T. est :

$$Y(p) = \mathcal{L} \left( \frac{dx(t)}{dt} \right) = pX(p)$$

## 6.5 Discrétisation arrière (simple)

- On considère un système dérivateur  $y(t) = dx(t)/dt$ , sa F.T. est :

$$Y(p) = \mathcal{L} \left( \frac{dx(t)}{dt} \right) = pX(p)$$

- La T.Z. du signal dérivé est :

$$Y(z) = \mathcal{Z} \left( \frac{dx(t)}{dt} \right) \simeq \mathcal{Z} \left( \frac{x^*(t) - x^*(t-T)}{T} \right) = \frac{1 - z^{-1}}{T} X(z)$$

## 6.5 Discrétisation arrière (simple)

- On considère un système dérivateur  $y(t) = dx(t)/dt$ , sa F.T. est :

$$Y(p) = \mathcal{L} \left( \frac{dx(t)}{dt} \right) = pX(p)$$

- La T.Z. du signal dérivé est :

$$Y(z) = \mathcal{Z} \left( \frac{dx(t)}{dt} \right) \simeq \mathcal{Z} \left( \frac{x^*(t) - x^*(t-T)}{T} \right) = \frac{1 - z^{-1}}{T} X(z)$$

→ On obtient  $H_d(z)$  à partir de  $H(p)$  avec le changement de variable :

$$p \sim \frac{1 - z^{-1}}{T}$$

## 6.5 Discrétisation arrière (simple)

- On considère un système dérivateur  $y(t) = dx(t)/dt$ , sa F.T. est :

$$Y(p) = \mathcal{L} \left( \frac{dx(t)}{dt} \right) = pX(p)$$

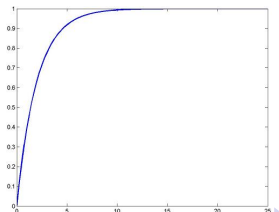
- La T.Z. du signal dérivé est :

$$Y(z) = \mathcal{Z} \left( \frac{dx(t)}{dt} \right) \simeq \mathcal{Z} \left( \frac{x^*(t) - x^*(t-T)}{T} \right) = \frac{1 - z^{-1}}{T} X(z)$$

→ On obtient  $H_d(z)$  à partir de  $H(p)$  avec le changement de variable :

$$p \sim \frac{1 - z^{-1}}{T}$$

- Exemple : On discrétise la fonction de transfert  $H(p) = \frac{1}{2p+1}$



## 6.5 Discrétisation arrière (simple)

- On considère un système dérivateur  $y(t) = dx(t)/dt$ , sa F.T. est :

$$Y(p) = \mathcal{L} \left( \frac{dx(t)}{dt} \right) = pX(p)$$

- La T.Z. du signal dérivé est :

$$Y(z) = \mathcal{Z} \left( \frac{dx(t)}{dt} \right) \simeq \mathcal{Z} \left( \frac{x^*(t) - x^*(t-T)}{T} \right) = \frac{1 - z^{-1}}{T} X(z)$$

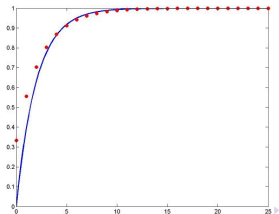
→ On obtient  $H_d(z)$  à partir de  $H(p)$  avec le changement de variable :

$$p \sim \frac{1 - z^{-1}}{T}$$

- Exemple : On discrétise la fonction de transfert  $H(p) = \frac{1}{2p+1}$

- Pour  $T = 1$  s →

$$H_d(z) = \frac{1}{2 \frac{1-z^{-1}}{1} + 1} = \frac{1}{3-2z^{-1}}$$



## 6.5 Discrétisation arrière (simple)

- On considère un système dérivateur  $y(t) = dx(t)/dt$ , sa F.T. est :

$$Y(p) = \mathcal{L} \left( \frac{dx(t)}{dt} \right) = pX(p)$$

- La T.Z. du signal dérivé est :

$$Y(z) = \mathcal{Z} \left( \frac{dx(t)}{dt} \right) \simeq \mathcal{Z} \left( \frac{x^*(t) - x^*(t-T)}{T} \right) = \frac{1 - z^{-1}}{T} X(z)$$

→ On obtient  $H_d(z)$  à partir de  $H(p)$  avec le changement de variable :

$$p \sim \frac{1 - z^{-1}}{T}$$

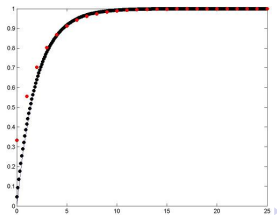
- Exemple : On discrétise la fonction de transfert  $H(p) = \frac{1}{2p+1}$

- Pour  $T = 1$  s →

$$H_d(z) = \frac{1}{2 \frac{1-z^{-1}}{1} + 1} = \frac{1}{3-2z^{-1}}$$

- Pour  $T = 0.1$  s →

$$H_d(z) = \frac{1}{2 \frac{1-z^{-1}}{0.1} + 1} = \frac{1}{21-20z^{-1}}$$



## 6.5 Discrétisation avant (simple)

- On considère un système dérivateur  $y(t) = dx(t)/dt$ , sa F.T. est :

$$Y(p) = \mathcal{L} \left( \frac{dx(t)}{dt} \right) = pX(p)$$

## 6.5 Discrétisation avant (simple)

- On considère un système dérivateur  $y(t) = dx(t)/dt$ , sa F.T. est :

$$Y(p) = \mathcal{L} \left( \frac{dx(t)}{dt} \right) = pX(p)$$

- La T.Z. du signal dérivé est :

$$Y(z) = \mathcal{Z} \left( \frac{dx(t)}{dt} \right) = \mathcal{Z} \left( \frac{x^*(t+T) - x^*(t)}{T} \right) = \frac{z-1}{T} X(z)$$



## 6.5 Discrétisation avant (simple)

- On considère un système dérivateur  $y(t) = dx(t)/dt$ , sa F.T. est :

$$Y(p) = \mathcal{L} \left( \frac{dx(t)}{dt} \right) = pX(p)$$

- La T.Z. du signal dérivé est :

$$Y(z) = \mathcal{Z} \left( \frac{dx(t)}{dt} \right) = \mathcal{Z} \left( \frac{x^*(t+T) - x^*(t)}{T} \right) = \frac{z-1}{T} X(z)$$

→ On obtient  $H_d(z)$  à partir de  $H(p)$  avec le changement de variable :

$$p \sim \frac{z-1}{T}$$

## 6.5 Discrétisation avant (simple)

- On considère un système dérivateur  $y(t) = dx(t)/dt$ , sa F.T. est :

$$Y(p) = \mathcal{L} \left( \frac{dx(t)}{dt} \right) = pX(p)$$

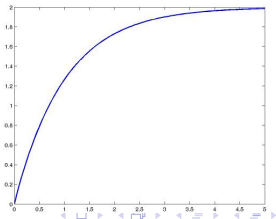
- La T.Z. du signal dérivé est :

$$Y(z) = \mathcal{Z} \left( \frac{dx(t)}{dt} \right) = \mathcal{Z} \left( \frac{x^*(t+T) - x^*(t)}{T} \right) = \frac{z-1}{T} X(z)$$

→ On obtient  $H_d(z)$  à partir de  $H(p)$  avec le changement de variable :

$$p \sim \frac{z-1}{T}$$

- Exemple : On discrétise la fonction de transfert  $H(p) = \frac{2}{p+1}$



## 6.5 Discrétisation avant (simple)

- On considère un système dérivateur  $y(t) = dx(t)/dt$ , sa F.T. est :

$$Y(p) = \mathcal{L} \left( \frac{dx(t)}{dt} \right) = pX(p)$$

- La T.Z. du signal dérivé est :

$$Y(z) = \mathcal{Z} \left( \frac{dx(t)}{dt} \right) = \mathcal{Z} \left( \frac{x^*(t+T) - x^*(t)}{T} \right) = \frac{z-1}{T} X(z)$$

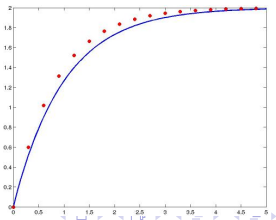
→ On obtient  $H_d(z)$  à partir de  $H(p)$  avec le changement de variable :

$$p \sim \frac{z-1}{T}$$

- Exemple : On discrétise la fonction de transfert  $H(p) = \frac{2}{p+1}$

- Pour  $T = 0.3$  s →

$$H_d(z) = \frac{2}{\frac{z-1}{0.3} + 1} = \frac{0.6}{z-0.7}$$



## 6.5 Discrétisation avant (simple)

- On considère un système dérivateur  $y(t) = dx(t)/dt$ , sa F.T. est :

$$Y(p) = \mathcal{L} \left( \frac{dx(t)}{dt} \right) = pX(p)$$

- La T.Z. du signal dérivé est :

$$Y(z) = \mathcal{Z} \left( \frac{dx(t)}{dt} \right) = \mathcal{Z} \left( \frac{x^*(t+T) - x^*(t)}{T} \right) = \frac{z-1}{T} X(z)$$

→ On obtient  $H_d(z)$  à partir de  $H(p)$  avec le changement de variable :

$$p \sim \frac{z-1}{T}$$

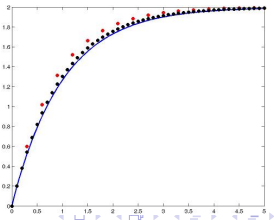
- Exemple : On discrétise la fonction de transfert  $H(p) = \frac{2}{p+1}$

- Pour  $T = 0.3$  s →

$$H_d(z) = \frac{2}{\frac{z-1}{0.3} + 1} = \frac{0.6}{z-0.7}$$

- Pour  $T = 0.1$  s →

$$H_d(z) = \frac{2}{\frac{z-1}{0.1} + 1} = \frac{0.2}{z-0.9}$$



## 6.5 Discrétisation par la méthode des trapèzes (précise)

- On considère un intégrateur :  $y(t) = \int_0^t x$  de F.T.  $Y(p) = \frac{1}{p}X(p)$

$$y(t+T) = y(t) + \int_t^{t+T} x(\tau) d\tau \simeq y(t) + \frac{x(t) + x(t+T)}{2} T$$

$$2(y(t+T) - y(t)) = T(x(t+T) + x(t))$$

$$2(z-1)Y(z) = T(z+1)X(z)$$

## 6.5 Discrétisation par la méthode des trapèzes (précise)

- On considère un intégrateur :  $y(t) = \int_0^t x$  de F.T.  $Y(p) = \frac{1}{p}X(p)$

$$y(t+T) = y(t) + \int_t^{t+T} x(\tau) d\tau \simeq y(t) + \frac{x(t) + x(t+T)}{2} T$$

$$2(y(t+T) - y(t)) = T(x(t+T) + x(t))$$

$$2(z-1)Y(z) = T(z+1)X(z)$$

→ on obtient  $H_d(z)$  à partir de  $H(p)$  avec le changement de variable

$$p \sim \frac{2(z-1)}{T(z+1)}$$

## 6.5 Discrétisation par la méthode des trapèzes (précise)

- On considère un intégrateur :  $y(t) = \int_0^t x$  de F.T.  $Y(p) = \frac{1}{p}X(p)$

$$y(t+T) = y(t) + \int_t^{t+T} x(\tau) d\tau \simeq y(t) + \frac{x(t) + x(t+T)}{2} T$$

$$2(y(t+T) - y(t)) = T(x(t+T) + x(t))$$

$$2(z-1)Y(z) = T(z+1)X(z)$$

→ on obtient  $H_d(z)$  à partir de  $H(p)$  avec le changement de variable

$$p \sim \frac{2(z-1)}{T(z+1)}$$

- Exemple : On discrétise la fonction de transfert  $H(p) = \frac{2}{0.01p^2 + 0.1p^2 + 1}$

## 6.5 Discrétisation par la méthode des trapèzes (précise)

- On considère un intégrateur :  $y(t) = \int_0^t x$  de F.T.  $Y(p) = \frac{1}{p}X(p)$

$$y(t+T) = y(t) + \int_t^{t+T} x(\tau) d\tau \simeq y(t) + \frac{x(t) + x(t+T)}{2} T$$

$$2(y(t+T) - y(t)) = T(x(t+T) + x(t))$$

$$2(z-1)Y(z) = T(z+1)X(z)$$

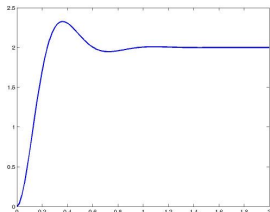
→ on obtient  $H_d(z)$  à partir de  $H(p)$  avec le changement de variable

$$p \sim \frac{2(z-1)}{T(z+1)}$$

- Exemple : On discrétise la fonction de transfert  $H(p) = \frac{2}{0.01p^2 + 0.1p + 1}$

- Pour  $T = 0.3$  s →

$$H_d(z) = \frac{0.18z^2 + 0.36z + 0.18}{0.19z^2 + 0.1z + 0.07}$$





## 6.5 Discrétisation par la méthode des trapèzes (précise)

- On considère un intégrateur :  $y(t) = \int_0^t x$  de F.T.  $Y(p) = \frac{1}{p}X(p)$

$$y(t+T) = y(t) + \int_t^{t+T} x(\tau) d\tau \simeq y(t) + \frac{x(t) + x(t+T)}{2} T$$

$$2(y(t+T) - y(t)) = T(x(t+T) + x(t))$$

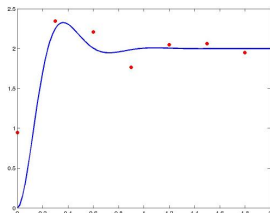
$$2(z-1)Y(z) = T(z+1)X(z)$$

→ on obtient  $H_d(z)$  à partir de  $H(p)$  avec le changement de variable

$$p \sim \frac{2(z-1)}{T(z+1)}$$

- Exemple : On discrétise la fonction de transfert  $H(p) = \frac{2}{0.01p^2 + 0.1p^2 + 1}$

- Pour  $T = 0.3$  s →  
 $H_d(z) = \frac{0.18z^2 + 0.36z + 0.18}{0.19z^2 + 0.1z + 0.07}$
- Pour  $T = 0.1$  s →  
 $H_d(z) = \frac{0.02z^2 + 0.04z + 0.02}{0.07z^2 - 0.06z + 0.03}$



## 6.5 Discrétisation par la méthode des trapèzes (précise)

- On considère un intégrateur :  $y(t) = \int_0^t x$  de F.T.  $Y(p) = \frac{1}{p}X(p)$

$$y(t+T) = y(t) + \int_t^{t+T} x(\tau) d\tau \simeq y(t) + \frac{x(t) + x(t+T)}{2} T$$

$$2(y(t+T) - y(t)) = T(x(t+T) + x(t))$$

$$2(z-1)Y(z) = T(z+1)X(z)$$

→ on obtient  $H_d(z)$  à partir de  $H(p)$  avec le changement de variable

$$p \sim \frac{2(z-1)}{T(z+1)}$$

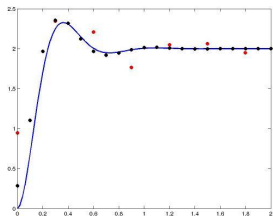
- Exemple : On discrétise la fonction de transfert  $H(p) = \frac{2}{0.01p^2 + 0.1p^2 + 1}$

- Pour  $T = 0.3$  s →

$$H_d(z) = \frac{0.18z^2 + 0.36z + 0.18}{0.19z^2 + 0.1z + 0.07}$$

- Pour  $T = 0.1$  s →

$$H_d(z) = \frac{0.02z^2 + 0.04z + 0.02}{0.07z^2 - 0.06z + 0.03}$$



## 6.6 Synthèse d'un filtre discret

- On veut filtrer un signal mesuré toutes les 10 ms afin :
  - amplifier d'au moins  $-3$  dB les pulsations entre  $0.2$  et  $5$  rad/s
  - amplifier d'au plus  $-40$  dB les pulsations  $\omega < 0.02$  ou  $\omega > 50$  rad/s

## 6.6 Synthèse d'un filtre discret

- On veut filtrer un signal mesuré toutes les 10 ms afin :
  - amplifier d'au moins  $-3$  dB les pulsations entre  $0.2$  et  $5$  rad/s
  - amplifier d'au plus  $-40$  dB les pulsations  $\omega < 0.02$  ou  $\omega > 50$  rad/s
- facteur de forme :  $\varepsilon = \sqrt{10^{A_p/10} - 1} = 1$

## 6.6 Synthèse d'un filtre discret

- On veut filtrer un signal mesuré toutes les 10 ms afin :
  - amplifier d'au moins  $-3$  dB les pulsations entre  $0.2$  et  $5$  rad/s
  - amplifier d'au plus  $-40$  dB les pulsations  $\omega < 0.02$  ou  $\omega > 50$  rad/s
- facteur de forme :  $\varepsilon = \sqrt{10^{A_p/10} - 1} = 1$
- sélectivité :  $k = \frac{\omega_{p+} - \omega_{p-}}{\omega_{a+} - \omega_{a-}} = 0.096$

## 6.6 Synthèse d'un filtre discret

- On veut filtrer un signal mesuré toutes les 10 ms afin :
  - amplifier d'au moins  $-3$  dB les pulsations entre  $0.2$  et  $5$  rad/s
  - amplifier d'au plus  $-40$  dB les pulsations  $\omega < 0.02$  ou  $\omega > 50$  rad/s
- facteur de forme :  $\varepsilon = \sqrt{10^{A_p/10} - 1} = 1$
- sélectivité :  $k = \frac{\omega_{p+} - \omega_{p-}}{\omega_{a+} - \omega_{a-}} = 0.096$
- ordre du FPBNE  $n \geq \frac{A_a - A_p}{20 \log\left(\frac{1}{k}\right)} = 1.8 \rightarrow n = 2$

## 6.6 Synthèse d'un filtre discret

- On veut filtrer un signal mesuré toutes les 10 ms afin :
  - amplifier d'au moins  $-3$  dB les pulsations entre 0.2 et 5 rad/s
  - amplifier d'au plus  $-40$  dB les pulsations  $\omega < 0.02$  ou  $\omega > 50$  rad/s
- facteur de forme :  $\varepsilon = \sqrt{10^{A_p/10} - 1} = 1$
- sélectivité :  $k = \frac{\omega_{p+} - \omega_{p-}}{\omega_{a+} - \omega_{a-}} = 0.096$
- ordre du FPBNE  $n \geq \frac{A_a - A_p}{20 \log(\frac{1}{k})} = 1.8 \rightarrow n = 2$
- filtre passe-bas normalisé équivalent :  $H_n(p_n) = \frac{1}{p_n^2 + \sqrt{2}p_n + 1}$

## 6.6 Synthèse d'un filtre discret

- On veut filtrer un signal mesuré toutes les 10 ms afin :
  - amplifier d'au moins  $-3$  dB les pulsations entre 0.2 et 5 rad/s
  - amplifier d'au plus  $-40$  dB les pulsations  $\omega < 0.02$  ou  $\omega > 50$  rad/s
- facteur de forme :  $\varepsilon = \sqrt{10^{A_p/10} - 1} = 1$
- sélectivité :  $k = \frac{\omega_{p+} - \omega_{p-}}{\omega_{a+} - \omega_{a-}} = 0.096$
- ordre du FPBNE  $n \geq \frac{A_a - A_p}{20 \log(\frac{1}{k})} = 1.8 \rightarrow n = 2$
- filtre passe-bas normalisé équivalent :  $H_n(p_n) = \frac{1}{p_n^2 + \sqrt{2}p_n + 1}$
- dénormalisation  $p_n = \frac{\omega_0}{\omega_{p+} - \omega_{p-}} \left( \frac{\omega_0}{p} + \frac{p}{\omega_0} \right) = \frac{1}{4.8} \left( p + \frac{1}{p} \right)$



## 6.6 Synthèse d'un filtre discret

- On veut filtrer un signal mesuré toutes les 10 ms afin :
  - amplifier d'au moins  $-3$  dB les pulsations entre 0.2 et 5 rad/s
  - amplifier d'au plus  $-40$  dB les pulsations  $\omega < 0.02$  ou  $\omega > 50$  rad/s
- facteur de forme :  $\varepsilon = \sqrt{10^{A_p/10} - 1} = 1$
- sélectivité :  $k = \frac{\omega_{p+} - \omega_{p-}}{\omega_{a+} - \omega_{a-}} = 0.096$
- ordre du FPBNE  $n \geq \frac{A_a - A_p}{20 \log(\frac{1}{k})} = 1.8 \rightarrow n = 2$
- filtre passe-bas normalisé équivalent :  $H_n(p_n) = \frac{1}{p_n^2 + \sqrt{2}p_n + 1}$
- dénormalisation  $p_n = \frac{\omega_0}{\omega_{p+} - \omega_{p-}} \left( \frac{\omega_0}{p} + \frac{p}{\omega_0} \right) = \frac{1}{4.8} \left( p + \frac{1}{p} \right)$
- filtre passe-bande :  $H(p) = \frac{23.04p^2}{p^4 + 6.788p^3 + 25.04p^2 + 6.788p + 1}$

## 6.6 Synthèse d'un filtre discret

- On veut filtrer un signal mesuré toutes les 10 ms afin :
  - amplifier d'au moins  $-3$  dB les pulsations entre  $0.2$  et  $5$  rad/s
  - amplifier d'au plus  $-40$  dB les pulsations  $\omega < 0.02$  ou  $\omega > 50$  rad/s
- facteur de forme :  $\varepsilon = \sqrt{10^{A_p/10} - 1} = 1$
- sélectivité :  $k = \frac{\omega_{p+} - \omega_{p-}}{\omega_{a+} - \omega_{a-}} = 0.096$
- ordre du FPBNE  $n \geq \frac{A_a - A_p}{20 \log\left(\frac{1}{k}\right)} = 1.8 \rightarrow n = 2$
- filtre passe-bas normalisé équivalent :  $H_n(p_n) = \frac{1}{p_n^2 + \sqrt{2}p_n + 1}$
- dénormalisation  $p_n = \frac{\omega_0}{\omega_{p+} - \omega_{p-}} \left( \frac{\omega_0}{p} + \frac{p}{\omega_0} \right) = \frac{1}{4.8} \left( p + \frac{1}{p} \right)$
- filtre passe-bande :  $H(p) = \frac{23.04p^2}{p^4 + 6.788p^3 + 25.04p^2 + 6.788p + 1}$
- discrétisation :  $p = \frac{2(z-1)}{0.01(z+1)}$

## 6.6 Synthèse d'un filtre discret

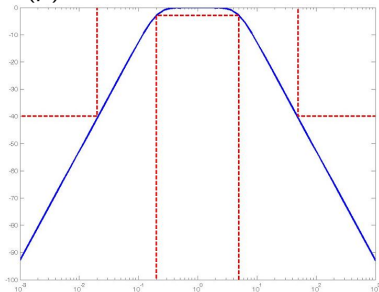
- On veut filtrer un signal mesuré toutes les 10 ms afin :
  - amplifier d'au moins  $-3$  dB les pulsations entre  $0.2$  et  $5$  rad/s
  - amplifier d'au plus  $-40$  dB les pulsations  $\omega < 0.02$  ou  $\omega > 50$  rad/s
- facteur de forme :  $\varepsilon = \sqrt{10^{A_p/10} - 1} = 1$
- sélectivité :  $k = \frac{\omega_{p+} - \omega_{p-}}{\omega_{a+} - \omega_{a-}} = 0.096$
- ordre du FPBNE  $n \geq \frac{A_a - A_p}{20 \log\left(\frac{1}{k}\right)} = 1.8 \rightarrow n = 2$
- filtre passe-bas normalisé équivalent :  $H_n(p_n) = \frac{1}{p_n^2 + \sqrt{2}p_n + 1}$
- dénormalisation  $p_n = \frac{\omega_0}{\omega_{p+} - \omega_{p-}} \left( \frac{\omega_0}{p} + \frac{p}{\omega_0} \right) = \frac{1}{4.8} \left( p + \frac{1}{p} \right)$
- filtre passe-bande :  $H(p) = \frac{23.04p^2}{p^4 + 6.788p^3 + 25.04p^2 + 6.788p + 1}$
- discrétisation :  $p = \frac{2(z-1)}{0.01(z+1)}$
- filtre passe-bande discret :  $H_d(z) = \frac{0.0005568z^4 - 0.001114z^2 + 0.0005568}{z^4 - 3.932z^3 + 5.798z^2 - 3.801z + 0.9344}$

## 6.6 Synthèse d'un filtre discret

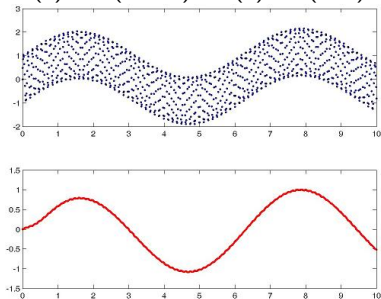
- On veut filtrer un signal mesuré toutes les 10 ms afin :
  - amplifier d'au moins  $-3$  dB les pulsations entre 0.2 et 5 rad/s
  - amplifier d'au plus  $-40$  dB les pulsations  $\omega < 0.02$  ou  $\omega > 50$  rad/s
- facteur de forme :  $\varepsilon = \sqrt{10^{A_p/10} - 1} = 1$
- sélectivité :  $k = \frac{\omega_{p+} - \omega_{p-}}{\omega_{a+} - \omega_{a-}} = 0.096$
- ordre du FPBNE  $n \geq \frac{A_a - A_p}{20 \log\left(\frac{1}{k}\right)} = 1.8 \rightarrow n = 2$
- filtre passe-bas normalisé équivalent :  $H_n(p_n) = \frac{1}{p_n^2 + \sqrt{2}p_n + 1}$
- dénormalisation  $p_n = \frac{\omega_0}{\omega_{p+} - \omega_{p-}} \left( \frac{\omega_0}{p} + \frac{p}{\omega_0} \right) = \frac{1}{4.8} \left( p + \frac{1}{p} \right)$
- filtre passe-bande :  $H(p) = \frac{23.04p^2}{p^4 + 6.788p^3 + 25.04p^2 + 6.788p + 1}$
- discrétisation :  $p = \frac{2(z-1)}{0.01(z+1)}$
- filtre passe-bande discret :  $H_d(z) = \frac{0.0005568z^4 - 0.001114z^2 + 0.0005568}{z^4 - 3.932z^3 + 5.798z^2 - 3.801z + 0.9344}$
- Récurrence :  $y^*(t) = 3.932y^*(t-T) - 5.798y^*(t-2T) + 3.801y^*(t-3T) - 0.9344y^*(t-4T) + 0.0005568x^*(t) - 0.001114x^*(t-2T) + 0.0005568x^*(t-4T)$

## 6.6 Synthèse d'un filtre discret

- Diagramme de Bode du filtre  $H(p)$



- Filtrage de  $x^*(t) = \sin(0.02t) + \sin(t) + \sin(50t)$



seule  $\sin(t)$  est en bande passante